



UNIVERSITÄTS-  
BIBLIOTHEK  
PADERBORN

# **Die Statik der Hochbau-Constructionen**

**Landsberg, Theodor**

**Stuttgart, 1899**

4. Abschnitt: Dachstühle

---

[urn:nbn:de:hbz:466:1-77733](https://nbn-resolving.org/urn:nbn:de:hbz:466:1-77733)

4. Abschnitt.

Dachstuhl.

Der vorliegende Abschnitt wird sich nur mit der Berechnung der Dachbinder beschäftigen. Die Dachbinder bilden den wesentlichsten Theil der Dachstühle; sie sind die Hauptträger der Dach-Constructionen und haben die übrigen Theile derselben, wie Pfetten, Sparren etc., zu tragen. Sie werden in bestimmten Abständen von einander angeordnet.

203.  
Dachbinder.

Was die Querschnittsermittlung der Pfetten, der Sparren, des Windverbandes etc. betrifft, so ist einerseits in den beiden vorhergehenden Abschnitten bereits das Erforderliche vorgeführt worden; andererseits wird im III. Theile dieses »Handbuches« (Band 2, Heft 4, Abchn. 2, E: Dachstuhl-Constructionen) nochmals auf diesen Gegenstand zurückgekommen werden.

Bei den meisten Dach-Constructionen ist jeder Binder unter dem Einflusse der äußeren Kräfte für sich stabil, so lange die letzteren nur in der Ebene des Binders wirken; eine Ausnahme machen die Flechtwerkdächer, welche als räumliches Fachwerk erst durch die Pfetten und die in der Dachfläche angeordneten Diagonalen stabil werden. Hierher gehören sowohl die *Schwedler'schen* Kuppeldächer und die ähnlich construirten Zeldächer, als auch die von *Foeppl* vorgeschlagenen Tonnen-Flechtwerke. Die letzteren werden in Theil III, Band 2, Heft 4 (Abth. III, Abchn. 2, E, Kap. 29, a, 7: *Foeppl'sche* Flechtwerkdächer) dieses »Handbuches« vom Verfasser eingehend besprochen werden, und daselbst ist auch die Berechnung derselben vorgeführt; deshalb wird an dieser Stelle nicht auf solche Constructionen näher eingegangen werden.

Für die Größe der Belastungen, welche der Berechnung zu Grunde zu legen sind, ist die Stellung der Binder zu einander von großer Wichtigkeit. Die Binder sind entweder einander im Grundriss parallel oder schließen von Null verschiedene Winkel mit einander ein.

Nach der Art und Weise, wie die Dachbinder unterstützt sind, lassen sich die Dächer unterscheiden als:

- 1) Balkendächer oder Dächer, deren Binder bei lothrechten Belastungen nur lothrechte Stützdrücke erleiden (Fig. 247);
- 2) Sprengwerkdächer oder Dächer, deren Binder selbst bei nur lothrechten Belastungen schiefe Stützdrücke erhalten (Fig. 248), und

Fig. 247.

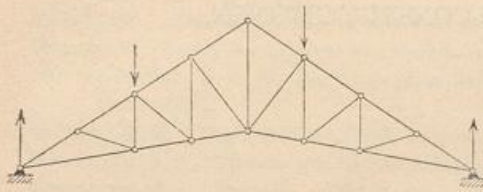
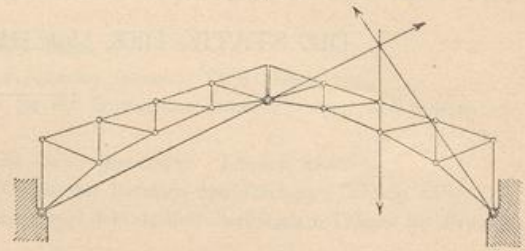


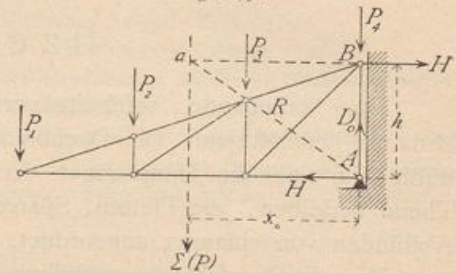
Fig. 248.



3) Ausleger- oder Kragdächer oder Dächer, auf deren Binder an den Unterstützungsstellen ein Stützendruck und ein Moment wirkt (Fig. 249).

Im Vorliegenden sollen nur diejenigen Dachbinder behandelt werden, deren Construction eine genaue Berechnung ohne Berücksichtigung der elastischen Formänderungen gestattet, also einmal nur solche mit nicht mehr als zwei Auflagern, sodann von diesen nur jene, welche ohne Rücksicht auf den Biegunswiderstand der Verbindungsstellen auch für einseitige und schiefe Belastungen stabil sind. Nicht stabil sind ohne Rücksicht auf den erwähnten Biegunswiderstand die Dächer mit liegendem Dachstuhl und die sog. Hängewerksdächer mit zwei Hängefäulen, falls, wie gewöhnlich, Diagonalen im Mittelfelde fehlen. Verzichtet man bei letzteren auf die Annahme verschieden belasteter Dachflächen, so kann die Berechnung genau so durchgeführt werden, wie in Art. 200 (S. 202) für den Trapezträger gezeigt ist.

Fig. 249.



Solche Dachbinder kommen übrigens fast nur in Holz und in solchen Spannweiten vor, für welche eine vielhundertjährige Erfahrung die Querschnittsabmessungen fest gestellt hat. Außergewöhnliche Spannweiten mit solchen Dachbindern zu überspannen, ist nicht empfehlenswerth. Eine Berechnung ist wohl unter gewissen Annahmen möglich; die Zuverlässigkeit derselben hängt aber in hohem Maße davon ab, wie weit die Annahmen zutreffen. Da aber für große Dachweiten das Eisen als vorzügliches und durchaus zuverlässiges Material zur Verfügung steht, sollte man dasselbe für solche Dachweiten stets wählen und genau berechenbare Constructionen anordnen. Demnach ist kein Bedürfnis vorhanden, die Berechnung der oben als nicht stabil bezeichneten Dachbinder hier vorzuführen. Der Verfasser wird übrigens in dem eben erwähnten Heft dieses »Handbuches« Vorschläge machen, durch deren Befolgung auch die Holzbinder als stabile Constructionen hergestellt werden können.

## 1. Kapitel.

### Belastungen und Auflagerdrücke.

#### a) Belastungen.

204.  
Knotenpunkts-  
belastungen.

Die Belastungen, welche auf die Dächer wirken und aus dem Eigengewichte, der Belastung durch Schneedruck und durch Winddruck bestehen, sind in Art. 25, 28, 29 u. 30 (S. 19 bis 23) angegeben und ausführlich besprochen. Indem auf das dort Vorgeführte verwiesen wird, möge bemerkt werden, daß die zufällige Belastung durch Arbeiter bei Berechnung der Binder und Pfetten außer Acht gelassen werden

kann; dagegen ist diese Belastung bei den schwachen Nebentheilen des Daches (z. B. den Sprossen der Glasdächer etc.) unter Umständen ausschlaggebend.

In Abschn. 1, Kap. 2 sind die Belastungen, bezogen auf das Quadr.-Meter schräger Dachfläche, bezw. die wagrechte Projection der Dachfläche angegeben; aus diesen erhält man nun leicht die auf das laufende Meter der Dachbinder wirkenden Lasten. Wird die Entfernung der parallel zu einander angeordneten Dachbinder gleich  $b$  gesetzt, so ergeben sich das Eigengewicht und die Schneelast für das laufende Meter Stützweite der Binder, wenn noch  $q'$  das Eigengewicht für 1<sup>qm</sup> Grundfläche einchl. Bindergewicht bezeichnet, zu

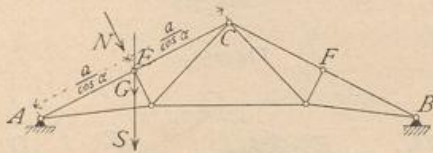
$$g = b q' \quad \text{und} \quad s = 75 b, \quad \dots \quad 288.$$

ferner der Winddruck für das laufende Meter schräger Dachlinie zu

$$n = b v \quad \dots \quad 289.$$

Sind die Dachbinder einander nicht parallel, so ist die Belastung für das laufende Meter Binder veränderlich, entsprechend der Größe der Dachfläche, die auf die einzelnen Bindertheile kommt.

Fig. 250.



Die auf die einzelnen Knotenpunkte entfallenden Lasten werden erhalten, indem man die Belastung für das laufende Meter Stützweite, bezw. schräger Dachlinie mit

derjenigen Länge multiplicirt, welche auf einen Knotenpunkt entfällt. Für den Knotenpunkt E (Fig. 250) wird demnach

$$G = a b q', \quad S = 75 a b \quad \text{und} \quad N = \frac{a}{\cos \alpha} b v \quad \dots \quad 290.$$

Man könnte die Werthe für  $G$ ,  $S$  und  $N$  auch nach der Theorie der continuirlichen Träger bestimmen, indem man  $AEC$  als continuirlichen Träger auf drei Stützen auffasst; doch empfiehlt sich das angegebene einfachere Verfahren mehr, da die Annahmen, welche der Berechnung der continuirlichen Träger zu Grunde gelegt werden, hier doch nicht genau erfüllt sind und die verwickeltere Rechnung keine entsprechend genaueren Werthe giebt.

Sämmtliche Lasten werden in den Knotenpunkten der Binder wirkend angenommen. Die Eigengewichte wirken zum allergrößten Theile in den Knotenpunkten derjenigen Gurtung, die in den Dachflächen liegt; nur ein ganz geringer Bruchtheil wirkt in den Knotenpunkten der anderen Gurtung. Meistens kann man annehmen, daß die Eigenlasten ganz in den ersteren Knotenpunkten angreifen.

Die Windbelastung kann nur einseitig wirken; denn da die Windrichtung nach der üblichen Annahme einen Winkel  $\beta = 10$  Grad mit der wagrechten Ebene einschließt, so kann der Wind beide Dachflächen nur dann treffen, wenn diese einen kleineren Winkel mit der Wagrechten bilden, als 10 Grad. Für derartig flache Dächer ist aber der Winddruck so gering, daß er ungetährlich ist. Der Winddruck ist also stets einseitig zu rechnen.

Der Schnee endlich kann das ganze Dach oder einen Theil desselben belasten. Wenn nun auch für manche Stäbe unter Umständen eine Schneebelastung über einen bestimmten Bruchtheil des Daches die ungünstigste Beanspruchung ergeben sollte, so werden wir doch diese der Berechnung nicht zu Grunde legen, weil dieselbe nur in den allerfeltesten Fällen einmal vorkommen kann; vielmehr werden wir nur volle Belastung des Daches und Belastung der einen Dachhälfte durch Schnee in das Auge

205.  
Belastungs-  
annahmen.

fassen. Wir werden später zeigen, daß die zweite Belastungsart zu Ergebnissen führt, aus denen die Spannungen für volle Schneebelastung ohne Schwierigkeit abgelesen werden können.

### b) Auflagerdrücke bei Balkendächern.

206.  
Lothrechte  
Belastungen.

Die durch lothrechte Belastungen (Eigengewicht und Schneedruck) erzeugten Stützendrücke sind, da die Dachbinder genau wie Träger auf zwei Stützen wirken, eben so zu ermitteln, wie bei den »Trägern« (Kap. 2 des vorhergehenden Abschnittes) gezeigt worden ist.

207.  
Schiefe  
Belastungen.

Sind die Auflagerdrücke zu ermitteln, welche durch die schiefen Winddruckbelastungen erzeugt werden, so sind zwei Fälle zu unterscheiden: entweder sind alle Winddrücke einander parallel, welcher Fall eintritt, wenn die vom Winde getroffene Dachfläche eine Ebene ist, oder die Winddrücke sind nicht parallel, welcher Fall eintritt, wenn die vom Winde getroffene Dachfläche sich aus mehreren Ebenen zusammensetzt.

Für beide Fälle ist zunächst klar, daß der Dachbinder nicht einfach frei auf die Stützpunkte gelagert werden darf. Denn ist  $\Sigma(N)$  die Mittelkraft aller Winddrücke (Fig. 251), so hat  $\Sigma(N)$  eine wagrechte Seitenkraft  $\Sigma(N) \sin \alpha$ . Gleichgewicht ist also nur möglich, wenn Seitens des einen der beiden Auflager eine wagrechte Kraft  $H = \Sigma(N) \sin \alpha$  auf den Binder wirkt; demnach muß das Dach in  $A$  oder  $B$  unverschieblich mit dem Auflager verbunden werden, um eine wagrechte Kraft übertragen zu können.

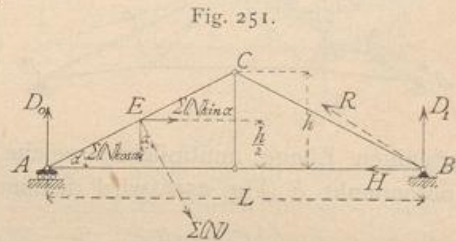


Fig. 251.

Wollte man ein eisernes Dach in beiden Punkten  $A$  und  $B$  fest mit dem Auflager verbinden, so würde dasselbe bei Aenderung der Temperatur nicht im Stande sein, sich auszudehnen, bzw. zusammenzuziehen; demnach würden durch die Temperaturveränderungen wesentliche Spannungen im Dache entstehen, bzw. die stützenden Wände würden gelockert werden. Man construirt deshalb bei eisernen Dachstühlen das eine Auflager so, daß dasselbe eine freie Ausdehnung und Zusammenziehung gestattet; das andere stellt eine feste Verbindung zwischen Träger und stützender Wand her. Wir wollen in der Folge stets ein festes und ein bewegliches Auflager, und zwar das Auflager bei  $A$  als das bewegliche, dasjenige bei  $B$  als das feste annehmen. Nehmen wir ferner an, daß das Auflager bei  $A$  eine Bewegung ohne Reibung gestattet, so kann der Stützendruck bei  $A$  nur lothrecht wirken. Diese Annahme ist nicht genau richtig, aber für die Praxis ausreichend. Der Auflagerdruck bei  $B$  dagegen kann beliebige Richtung annehmen. Es ist übrigens leicht, den Einfluss des größtmöglichen Reibungswiderstandes auf die Stabspannungen zu ermitteln, indem man denselben als äußere auf den Binder wirkende Kraft einführt. In dem mehrfach erwähnten Heft dieses »Handbuches« wird die betreffende Untersuchung durchgeführt werden.

Es ergeben sich verschiedene Auflagerdrücke, je nachdem die Windbelastung auf derjenigen Dachseite stattfindet, an welcher das bewegliche Auflager  $A$  ist, oder auf derjenigen, an welcher das feste Auflager  $B$  liegt.

208.  
Parallele  
Winddrücke.

1) Die Winddrücke sind parallel. a) Diejenige Dachhälfte ist belastet, an welcher das bewegliche Auflager liegt (Fig. 251). Die Mittel-

kraft  $\Sigma(N)$  fämmtlicher Winddrücke greife in der Mitte von  $AC$ , etwa in  $E$ , an und sei gleich der Summe aller Einzeldrücke.  $\Sigma(N)$  zerlegt sich im Punkte  $E$  in eine wagrechte und eine lothrechte Seitenkraft  $\Sigma(N) \sin \alpha$  und  $\Sigma(N) \cos \alpha$ ; in  $A$  wirkt der lothrechte Stützendruck  $D_0$ , in  $B$  der schiefe Auflagerdruck  $R$ , welcher gleichfalls in eine wagrechte Seitenkraft  $H$  und in eine lothrechte Seitenkraft  $D_1$  zerlegt wird. Die drei Unbekannten  $D_0$ ,  $D_1$  und  $H$  erhält man durch die drei Gleichgewichtsbedingungen. Es ist

$$0 = \Sigma(N) \sin \alpha - H, \text{ woraus } H = \Sigma(N) \sin \alpha; \dots 291.$$

$$D_0 L + \Sigma(N) \sin \alpha \frac{h}{2} - \Sigma(N) \cos \alpha \frac{3}{4} L = 0, \text{ woraus, da } \operatorname{tg} \alpha = \frac{2h}{L},$$

$$D_0 = \frac{\Sigma(N) \cos \alpha}{4} (3 - \operatorname{tg}^2 \alpha); \dots 292.$$

$$D_1 L - \Sigma(N) \sin \alpha \frac{h}{2} - \Sigma(N) \cos \alpha \frac{L}{4} = 0, \text{ woraus } D_1 = \frac{\Sigma(N)}{4 \cos \alpha}. 293.$$

Auf graphischem Wege geschieht die Ermittlung der Auflagerdrücke in der durch Fig. 252 veranschaulichten Weise.

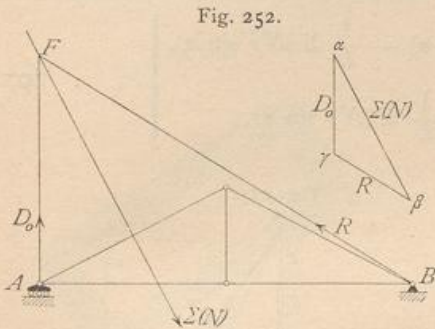


Fig. 252.

Die drei auf das Dach wirkenden Kräfte  $D_0$ ,  $R$  und  $\Sigma(N)$  halten dasselbe im Gleichgewicht, schneiden sich also in einem Punkte; die Kraft  $R$  geht fonach durch den Schnittpunkt  $F$  der Kräfte  $D_0$  und  $\Sigma(N)$ .  $R$  geht auch durch  $B$ ; also ist  $BF$  die Richtung der Kraft  $R$ . Aus dem Krätedreieck für diese Kräfte ergibt sich, wenn  $\alpha\beta = \Sigma(N)$  ist,  $R = \beta\gamma$  und  $D_0 = \gamma\alpha$ .

β) Diejenige Dachhälfte ist belastet, an welcher das feste Auflager liegt (Fig. 253). Die Mittelkraft  $\Sigma(N)$  greift in der Mitte der rechtsseitigen Dachfläche, in  $E'$ , an und zerlegt sich in eine lothrechte und eine wagrechte Seitenkraft. Wir erhalten durch Aufstellung der Gleichgewichtsbedingungen:

$$0 = H' - \Sigma(N) \sin \alpha, \text{ woraus } H' = \Sigma(N) \sin \alpha; \dots 294.$$

$$0 = D'_0 L - \Sigma(N) \sin \alpha \frac{h}{2} - \Sigma(N) \cos \alpha \frac{L}{4}, \text{ woraus } D'_0 = \frac{\Sigma(N)}{4 \cos \alpha}; 295.$$

$$0 = D'_1 L + \Sigma(N) \sin \alpha \frac{h}{2} - \Sigma(N) \cos \alpha \frac{3}{4} L,$$

woraus

$$D'_1 = \frac{\Sigma(N) \cos \alpha}{4} (3 - \operatorname{tg}^2 \alpha). \dots 296.$$

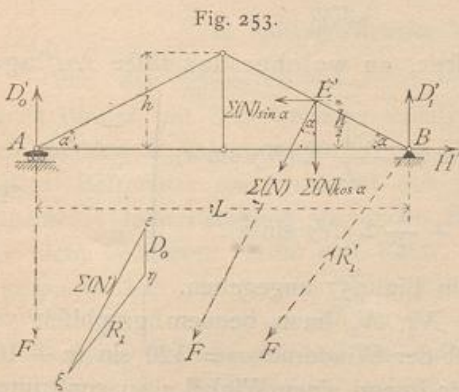


Fig. 253.

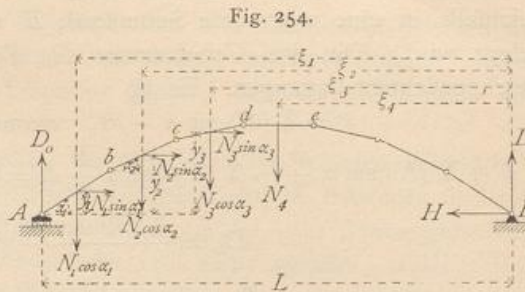
Man sieht, es ist  $D_0 = D'_1$ ,  $D_1 = D'_0$  und  $H = H'$ ; nur ist bei  $H'$  der Sinn demjenigen von  $H$  entgegengesetzt.

Durch Constraction lassen sich die Auflagerdrücke im vorliegenden Falle, wie in Fig. 253 gezeigt, ermitteln.

Die drei Kräfte  $D'_0$ ,  $\Sigma(N)$  und die Mittelkraft  $R'_1$  von  $H'$  und  $D'_1$  sind im Gleichgewichte, schneiden sich daher in einem Punkte, und zwar in demjenigen Punkte, in welchem die Richtungen von  $D'_0$  und  $\Sigma(N)$  sich schneiden, also in  $F$ . Die Verbindungslinie der beiden Punkte  $B$  und  $F$  ergibt demnach die Richtung der Kraft  $R'_1$  ist  $\Sigma(N) = \varepsilon\xi$ , so wird  $\xi\eta = R'_1$  und  $\eta\varepsilon = D'_0$ .

209.  
Nicht  
parallele  
Winddrücke.

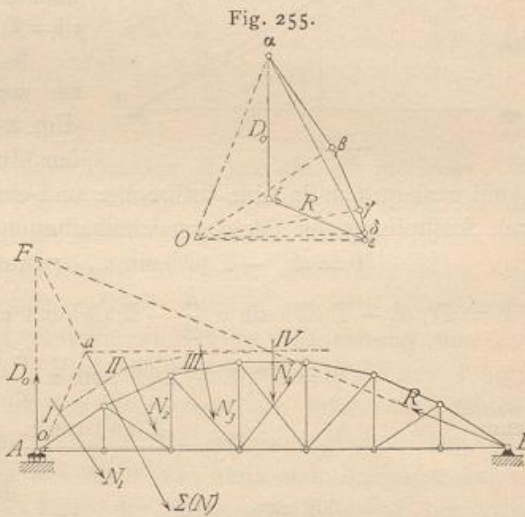
2) Die Winddrücke haben nicht parallele Richtungen.  $\alpha$ ) Diejenige Dachhälfte ist belastet, an welcher das bewegliche Auflager liegt. Bei gebrochener Dachfläche werden die Winddrücke, welche auf die einzelnen Flächen wirken, nach den Angaben in Art. 30 (S. 23) ermittelt. Bei einer cylindrischen Dachfläche genügt es, einzelne Dachtheile zusammenzufassen und für jeden dieser Theile den Winddruck unter Zugrundelegung eines mittleren Neigungswinkels  $\alpha$  zu bestimmen. Man erhält etwa  $N_1$  für die Strecke  $Ab$  (Fig. 254),  $N_2$  für  $bc$  etc. Die Zerlegung jeden Winddruckes in eine wagrechte und eine lothrechte Seitenkraft und die Aufstellung der Gleichgewichtsbedingungen ergeben die Unbekannten  $D_0$ ,  $D_1$  und  $H$ . Es wird



$$\left. \begin{aligned} H &= \Sigma (N \sin \alpha), \quad D_0 = \frac{1}{L} \Sigma (N \xi \cos \alpha) - \frac{1}{L} \Sigma (N y \sin \alpha), \\ D_1 &= \frac{1}{L} \Sigma [N (L - \xi) \cos \alpha] + \frac{1}{L} \Sigma (N y \sin \alpha). \end{aligned} \right\} \dots 297.$$

Die graphische Ermittlung der Auflagerdrücke zeigt Fig. 255.

Die einzelnen Winddrücke ( $N_1, N_2, N_3 \dots$ ) werden mittels eines Kraftpolygons  $\alpha\beta\gamma\delta\epsilon$  zu einer Mittelkraft vereinigt; hierauf wird für einen beliebigen Pol  $O$  das Seilpolygon  $OIHIIIIV$  construirt. Alsdann geht die Mittelkraft durch den Schnittpunkt  $a$  der äußersten Seilpolygonseiten und ist parallel zu  $\alpha\epsilon$ . Jetzt ersetzt  $\Sigma(N)$  alle Winddrücke, und es wirken nur noch die drei Kräfte  $D_0$ ,  $\Sigma(N)$  und  $R$ , so daß die graphische Ermittlung von  $D_0$  und  $R$  in der soeben gezeigten Weise erfolgen kann. Es ergibt sich  $\epsilon\xi = R$  und  $\xi\alpha = D_0$ .



Wenn die Dachfläche aus einzelnen ebenen Dach- und Laternenflächen sich zusammensetzt, so ist das Verfahren genau so, wie eben angegeben.

$\beta$ ) Diejenige Dachhälfte ist belastet, an welcher das feste Auflager liegt (Fig. 256). Die Berechnung ergibt

$$\left. \begin{aligned} H' &= \Sigma (N \sin \alpha), \quad D'_0 = \frac{1}{L} \Sigma (N \xi' \cos \alpha) - \frac{1}{L} \Sigma (N y \sin \alpha), \\ D'_1 &= \frac{1}{L} \Sigma [N (L - \xi') \cos \alpha] + \frac{1}{L} \Sigma (N y \sin \alpha). \end{aligned} \right\} \dots 298.$$

Die Construction von  $D'_0$  und  $R'_1$  ist in Fig. 257 angegeben.

Die Ermittlung der Werthe für  $N_1, N_2, N_3$  kann bequem graphisch vorgenommen werden. Nach Art. 30 (S. 23) ist der Winddruck  $v = 120 \sin (\alpha + 10^\circ)$  für  $1 \text{ qm}$ . Diefes  $v$  ist nach Fig. 258 leicht für irgend einen Winkel  $\alpha$  zu construiren.

Fig. 256.

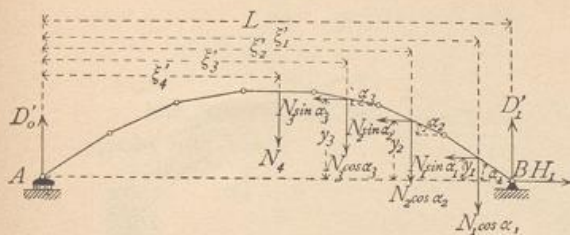
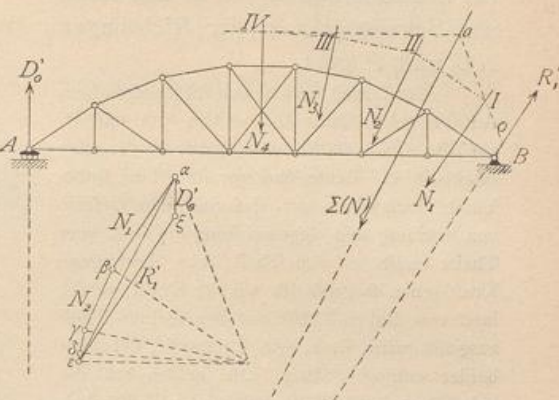


Fig. 257.



Man mache in der Dachfläche nach beliebigem Maßstabe  $ab = 120 \text{ kg}$ , lege durch  $b$  eine Linie parallel zur Windrichtung und falle auf dieselbe von  $a$  aus die Senkrechte  $ac$ ; alsdann ist

$$\overline{ac} = \overline{ab} \sin (\alpha + 10^\circ).$$

Da  $ab = 120 \text{ kg}$  ist, so ist  $\overline{ac} = 120 \sin (\alpha + 10^\circ) = v$ , d. h. der gefuchte Winddruck. Trägt man  $a c$  senkrecht zur Dachfläche ab, so erhält man die in Fig. 258 schraffierte Belastungsfläche für Winddruck.

Fig. 258.

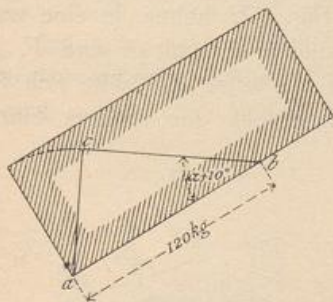


Fig. 259.

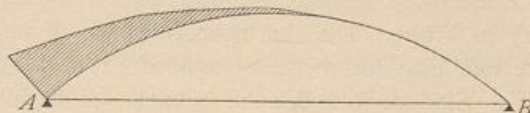
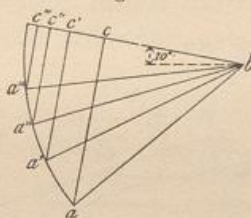


Fig. 260.



Bildet die Dachfläche eine Cylinderfläche, so wähle man eine genügend große Anzahl von Punkten aus, für welche man die gezeigte Construction vornimmt. Man erhält die in Fig. 259 gezeichnete Belastungsfläche und kann daraus leicht die Größe des Winddruckes ermitteln, welcher auf die einzelnen Knotenpunkte der Construction entfällt.

Bequemer macht man die Construction der Winddrucke in einer besonderen Zeichnung (Fig. 260) und erhält  $a c$ , bzw.  $a' c', a'' c'' \dots$

### c) Auflagerdrücke bei Sprengwerksdächern.

Von den Sprengwerksdächern sollen hier nur diejenigen behandelt werden, deren Binder mit drei Gelenken construiert sind (Fig. 261). Zwei Gelenke befinden sich an den Auflagerpunkten  $A$  und  $B$ , ein drittes  $C$  gewöhnlich in der Bindermitte. Betrachtet man zunächst den Träger selbst als gewichtslos, so ergibt sich allgemein: Jede Belastung der einen Hälfte, etwa  $CB$ , erzeugt im Auflagerpunkt der nicht belasteten Hälfte eine Kraft, deren Richtung durch den betreffenden Auflagerpunkt, hier  $A$ , und das Mittelgelenk  $C$  bestimmt ist.

Eine Last  $P$  auf der Hälfte  $BC$  erzeugt also in  $A$  einen Stützdruck  $R$  mit der Richtung  $AC$ , und da auf das System nur drei Kräfte, nämlich die Last  $P$  und die Drücke der Auflager  $A$  und  $B$ , wirken, so müssen sich dieselben in einem

210.  
Allgemeines.

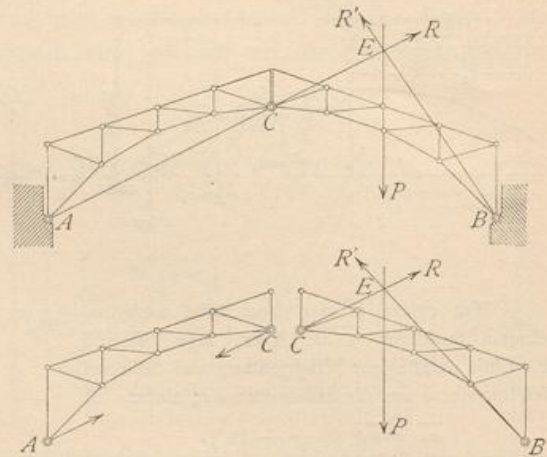


Punkte schneiden. Daraus folgt, dass der Stützendruck  $R'$  von  $B$  aus durch den Schnittpunkt  $E$  der Richtungen  $AC$  und  $P$  geht.

Der Beweis ergibt sich folgendermaßen. Auf die rechte Hälfte  $BC$  wirken  $P$ ,  $R$  und  $R'$ , auf die linke Hälfte eine Kraft in  $A$ , eine zweite in  $C$ . Beide sind vor der Hand unbekannt; doch wissen wir, dass nach dem Gesetze von Wirkung und Gegenwirkung die in  $C$  vom Theile rechts auf den Theil links übertragene Kraft genau so groß ist, wie die Kraft, welche in  $C$  vom linken Theile auf den rechten Theil ausgeübt wird, d. h. wie  $R$ ; nur ist der Sinn beider entgegengesetzt. Die beiden auf die unbelastete linke Hälfte wirkenden Kräfte halten diesen Theil im Gleichgewicht; dies ist aber nur möglich, wenn beide in dieselbe Richtung fallen, d. h. in diejenige, welche durch die beiden Angriffspunkte  $A$  und  $C$  gegeben ist, entgegengesetzten Sinn und gleiche Größe haben; der Stützendruck von  $A$  geht also durch  $C$ .

Zunächst kommen die lothrechten Belastungen (Eigengewicht und Schneedruck) in Frage. Die Auflagerdrücke in  $A$  und  $B$  (Fig. 262) haben je eine wagrechte und eine lothrechte Seitenkraft. Wir bezeichnen dieselben mit  $H$  und  $V$ ,  $H_1$  und  $V_1$ . Sind diese 4 Werthe bekannt, so ist alles auf die äußeren Kräfte sich beziehende bekannt. Wir betrachten zuerst das Gleichgewicht der rechten Hälfte

Fig. 261.



211.  
Lothrechte  
Belastungen.

Fig. 262.

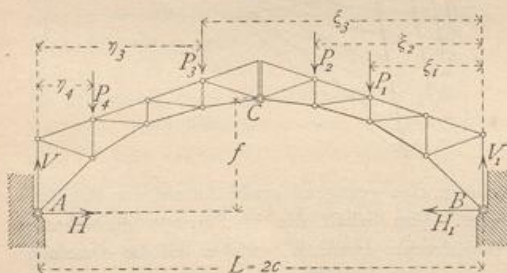
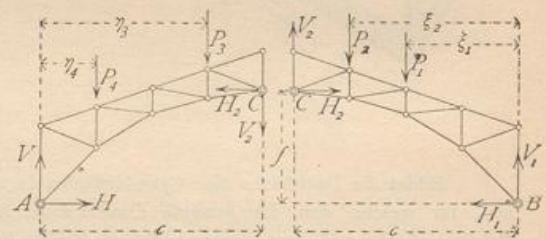


Fig. 263.



(Fig. 263). In  $C$  wirkt auf dieselbe eine Kraft, deren Seitenkräfte  $H_2$  und  $V_2$  sein mögen. Alsdann ist die Summe der statischen Momente für  $B$  als Drehpunkt gleich Null, mithin

$$H_2 f + V_2 c - \sum (P \xi) = 0.$$

Betrachtet man nun die linke Hälfte (Fig. 263), so wirkt auf diese in  $C$  eine genau so große Kraft, wie in  $C$  auf die rechte Hälfte wirkt; nur ist der Sinn entgegengesetzt. Demnach werden die Seitenkräfte derselben wiederum  $H_2$  und  $V_2$ , aber mit entgegengesetztem Sinne sein. Die Summe der statischen Momente für  $A$  als Drehpunkt ist gleich Null; mithin, wenn stets die Summen, welche sich auf die linke Hälfte beziehen, mit dem Zeiger 1 bezeichnet werden,

$$H_2 f - V_2 c - \sum_1 (P \eta) = 0.$$

Damit sind für  $H_2$  und  $V_2$  die beiden Gleichungen gefunden:

$$H_2 f + V_2 c = \sum (P \xi) \quad \text{und} \quad H_2 f - V_2 c = \sum_1 (P \eta).$$

Aus diesen beiden Gleichungen erhält man

$$H_2 = \frac{\sum (P\xi) + \sum_1 (P\eta)}{2f} \quad \text{und} \quad V_2 = \frac{\sum (P\xi) - \sum_1 (P\eta)}{L} \dots 299.$$

Die Anwendung der übrigen Gleichgewichtsbedingungen auf die beiden Hälften ergibt nun leicht

$$\left. \begin{aligned} H = H_2 = H_1 &= \frac{\sum (P\xi) + \sum_1 (P\eta)}{2f}, \\ V &= V_2 + \sum_1 (P) = \frac{\sum (P\xi) + \sum_1 (P\xi)}{L}, \\ V_1 &= \sum (P) - V_2 = \frac{\sum [P(L - \xi)] + \sum_1 [P(L - \xi)]}{L}. \end{aligned} \right\} \dots 300.$$

Die lotrechten Seitenkräfte der Lagerdrücke sind demnach genau so groß, wie bei gleicher Belastung an einem Balkenträger von der Spannweite  $L$ . Jetzt sind auch die Kräfte  $R$  und  $R_1$ , so wie ihre Winkel  $\alpha$  und  $\alpha_1$  mit der Wagrechten gefunden. Es werden

$$R = \sqrt{H^2 + V^2} \quad \text{und} \quad \text{tg } \alpha = \frac{V}{H}; \quad R_1 = \sqrt{H_1^2 + V_1^2} \quad \text{und} \quad \text{tg } \alpha_1 = \frac{V_1}{H_1} \quad 301.$$

Beispiel. 1) Die beiden Dachhälften seien gleich belastet, je mit  $g$  auf die Längeneinheit der wagrechten Projection (Fig. 264). Dann ist

$$\begin{aligned} \sum (P) &= \sum_1 (P) = gc; \quad \sum (P\xi) = \sum_1 (P\eta) = \frac{gc^2}{2}; \\ H &= \frac{gc^2}{2f}; \quad V_2 = 0; \quad V = V_2 + \sum_1 (P) = gc; \quad V_1 = \sum (P) - V_2 = gc \dots 302. \end{aligned}$$

Fig. 264.

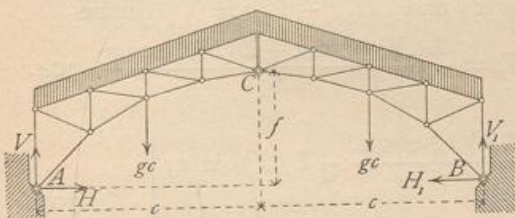
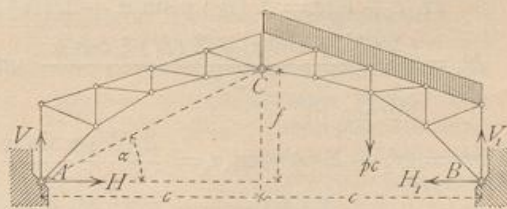


Fig. 265.



2) Die eine (rechte) Hälfte sei mit  $p$  für die Längeneinheit der wagrechten Projection belastet, die andere (linke) Hälfte sei unbelastet (Fig. 265). Alsdann ist

$$\begin{aligned} \sum (P) &= pc; \quad \sum_1 (P) = 0; \quad \sum (P\xi) = \frac{pc^2}{2}; \quad \sum_1 (P\eta) = 0; \\ H_2 = H = H_1 &= \frac{pc^2}{4f}; \quad V_2 = \frac{pc^2}{2 \cdot 2c} = \frac{pc}{4}; \quad V = \frac{pc}{4}; \quad V_1 = \frac{3pc}{4} \dots 303. \end{aligned}$$

Hier ist nach Gleichung 301:  $\text{tg } \alpha = \frac{pc \cdot 4f}{4pc^2} = \frac{f}{c}$ , d. h. die Richtung von  $R$  geht durch  $A$  und  $C$  (siehe oben).

Die graphische Ermittlung der in Rede stehenden Auflagerdrücke ist in Fig. 266 dargestellt.

Es empfiehlt sich, für beliebige Belastung zuerst nur die eine Hälfte belastet anzunehmen und für diese Belastung die Auflagerdrücke zu ermitteln, darauf die Auflagerkräfte für die Belastung nur der anderen Hälfte aufzufuchen. Die Zusammenfassung der für die einzelnen Belastungen gefundenen Kräfte ergibt alsdann die wirklichen Auflagerdrücke.

Zunächst sei nur die rechte Hälfte belastet und die Mittelkraft dieser Lasten gleich  $P_1$ ; alsdann haben  $R_1$  und  $R_2$  die in Fig. 266 a gezeichneten Richtungen, und die Größe beider ergibt sich durch das Kraftpolygon zu  $\beta\gamma = R_1$  und  $\gamma\alpha = R_2$ . In gleicher Weise erhält man für Belastung der linken Hälfte mit  $P_2$ :

$$\varepsilon\xi = R_3 \text{ und } \xi\delta = R_4.$$

Wenn nun beide Hälften mit  $P_1$ , bzw.  $P_2$  belastet sind, so wirken in A:  $R_1$  und  $R_3$ , in B:  $R_2$  und  $R_4$ . Die Größe und Richtung der gefamnten Auflagerdrücke  $R$  und  $R'$  erhält man durch Construction der Kraftpolygone

aus den bezüglichen Kräften. Ist  $\gamma\eta = R_3$ , so wird  $\beta\eta = R$ ; ist  $\vartheta\gamma \neq \xi\delta = R_4$ , so wird  $\vartheta\alpha = R'$ .

Als Controle diene, daß die wagrechten Projectionen von  $R$  und  $R'$  gleich sein müssen, da ja  $H$  im ganzen Sprengwerksträger constant ist.

Uebergehen wir nunmehr zu den vom Winddruck (durch schiefe Belastung) erzeugten Stützendrücken, so sei  $\Sigma(N)$  die Mittelkraft aller Winddrücke (Fig. 267). Wir zerlegen diese Kraft in  $\Sigma(N) \cos \alpha$  und  $\Sigma(N) \sin \alpha$  und erhalten, wie im vorhergehenden Artikel, die Gleichgewichtsbedingungen:

$$H_2 f + V_2 c = \Sigma(N) y \sin \alpha + \Sigma(N) \xi \cos \alpha \text{ und } H_2 f - V_2 c = 0, \text{ woraus}$$

$$H_2 = \frac{\Sigma(N) y \sin \alpha + \Sigma(N) \xi \cos \alpha}{2f} \text{ und } V_2 = \frac{\Sigma(N) y \sin \alpha + \Sigma(N) \xi \cos \alpha}{2c} \quad 304.$$

Ferner ist

$$\left. \begin{aligned} H_1 &= H_2 - \Sigma(N) \sin \alpha = \frac{\Sigma(N) y \sin \alpha + \Sigma(N) \xi \cos \alpha}{2f} - \Sigma(N) \sin \alpha, \\ H_1 &= H_2 = \frac{\Sigma(N) y \sin \alpha + \Sigma(N) \xi \cos \alpha}{2f}, \end{aligned} \right\} \quad 305.$$

$$\left. \begin{aligned} V_1 &= \Sigma(N) \cos \alpha - V_2 = \Sigma(N) \cos \alpha - \frac{\Sigma(N) y \sin \alpha + \Sigma(N) \xi \cos \alpha}{2c}, \\ V_1 &= V_2 = \frac{\Sigma(N) y \sin \alpha + \Sigma(N) \xi \cos \alpha}{2c}. \end{aligned} \right\} \quad 306.$$

Wenn die schiefen Belastungen einander nicht parallel sind, so bleibt das Verfahren das gleiche; nur sind statt  $\Sigma(N) y \sin \alpha$  und  $\Sigma(N) \xi \cos \alpha$  bzw.  $\Sigma(N y \sin \alpha)$  und  $\Sigma(N \xi \cos \alpha)$  in die Rechnung einzuführen.

Für die graphische Er-

Fig. 266.

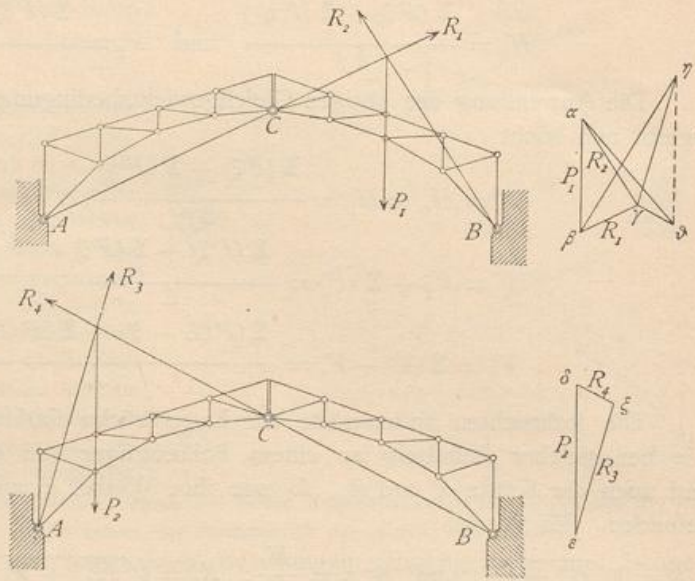
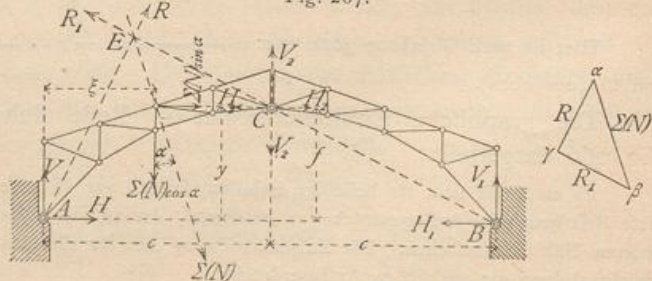


Fig. 267.



212.  
Schiefe  
Belastungen.

mittelung der fraglichen Auflagerdrücke ist die in Fig. 267 angegebene Construction ohne Weiteres verständlich, und es ergibt sich  $\beta\gamma = R_1$ ,  $\gamma\alpha = R$ .

Bei nicht parallelen Winddrücken ist für die graphische Behandlung zunächst die Mittelkraft derselben nach Größe, Richtung und Lage in bekannter Weise aufzufuchen und alsdann zu verfahren, wie in Fig. 267 dargestellt ist.

## 2. Kapitel. Balkendächer.

Indem wir nunmehr zur Ermittlung der Spannungen in den wichtigsten Dachstuhl-Constructionen übergehen, werden wir bei den diesfälligen Untersuchungen für jede Gattung von Dachbindern die verschiedenen Belastungsfälle gefondert betrachten. Wir bestimmen demnach die Spannungen, welche erzeugt werden: 1) durch das Eigengewicht, 2) durch einseitige, bzw. volle Schneebelastung, 3) durch Windbelastung, sowohl von der Seite, an der das bewegliche, wie von der Seite, an welcher das feste Auflager liegt. Indem dann diese Spannungen in einer Tabelle zusammengestellt werden, ist es leicht, für jeden Stab die ungünstigste Belastungsart und die ungünstigsten Spannungen zu bestimmen, ferner für die Querschnittsbestimmung (siehe Art. 84 u. 85, S. 60 bis 63) die Werthe  $P_0$ ,  $P_1$  und  $P_2$  zu ermitteln. Da die Dachbinder meist Gitterträger sind, so werden die im Kapitel »Träger« gezeigten Verfahren für die Spannungsermittlung hier genau, wie dort, Anwendung finden. Auch hier machen wir die Annahmen: 1) daß die Stäbe in den Knotenpunkten durch Gelenke mit einander verbunden sind, 2) daß die Lasten nur in den Knotenpunkten der Construction wirken. Die berechneten Spannungen werden desto mehr mit den wirklichen übereinstimmen, je mehr die Construction diesen Annahmen entspricht. Die zweite Annahme (Belastung nur in den Knotenpunkten) ist häufig nicht erfüllt; in diesem Falle kann man dennoch die in den folgenden Artikeln zu zeigenden Methoden anwenden, indem man annimmt, daß die zwischen je zwei Knotenpunkten befindlichen Lasten durch besondere Träger auf die Knotenpunkte übertragen werden. Die Berechnung dieser Träger hat, wie im Kapitel »Träger« gezeigt ist, zu erfolgen. Die Belastung, welche im Hauptsystem auf die Knotenpunkte übertragen wird, ist dann der Größe und Richtung nach gleich den auf die Zwischenträger wirkenden Auflagerdrücken. Der Sinn ist entgegengesetzt. In

213.  
Allgemeines.

Fig. 268.

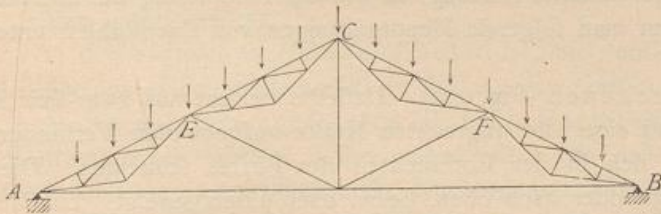


Fig. 268 z. B. sind zwischen je zwei Knotenpunkten des Hauptsystemes Pfetten, demnach Lastpunkte. Das Stück  $CE$  kann wie ein besonderer, in  $C$  und  $E$  frei aufliegender Träger aufgefaßt und berechnet werden; eben so verhält es sich mit dem Stück  $AE$ . Im Punkte  $E$  des Hauptsystemes wirken dann der linke Auflagerdruck des Balkens  $CE$  und der rechte Auflagerdruck des Balkens  $AE$  nach unten, außerdem noch die Belastung der Pfette in  $E$ . Demnach sind die Spannungen im Hauptsystem auch hier zunächst genau so zu berechnen, als wenn die Gesamtlasten nur in den Hauptknotenpunkten  $A$ ,  $C$ ,  $E$ ,  $F$  und  $B$  angriffen; zu diesen Spannungen im Hauptsystem kommen alsdann noch die in den kleinen Trägern  $AE$ ,  $EC$  etc. stattfindenden Spannungen hinzu. Die Spannungen derjenigen Stäbe der kleinen Träger, welche mit den Linien  $AE$ ,  $EC$  etc. zusammenfallen, addiren sich einfach zu den Spannungen in diesen Stäben.

Die erste Annahme (Anordnung von Gelenken in den Knotenpunkten) ist bei den hölzernen Dachbindern niemals, allein auch bei den eisernen Dachstühlen häufig nicht erfüllt; doch braucht bei den gewöhnlichen Dächern auf die hierdurch bedingten Unterschiede der wirklich auftretenden Spannungen gegenüber den berechneten keine Rücksicht genommen zu werden.

Das einfachste Dach entsteht dadurch, daß sich zwei Sparren  $AC$  und  $BC$  gegen einander lehnen (Fig. 269). Jede Belastung desselben, etwa des Sparrens  $BC$ ,

214.  
Princip der  
Balkendächer.

durch eine Last  $P$ , erzeugt nach Art. 210 in  $A$  eine Kraft  $R$ , deren Richtung mit  $AC$  zusammenfällt, in  $B$  eine Kraft  $R'$  in der Richtung  $BE$ . Die Auflagerkräfte  $R$  und  $R'$  haben die wagrechten Seitenkräfte  $H$  und  $H_1$ , und da außerdem hier keine wagrechten Kräfte auf das System wirken, so ist  $H = H_1$ . Diese Kräfte  $H$  werden von den

Seitenmauern des Gebäudes oder von den sonstigen stützenden Constructionen geleistet; umgekehrt wirken Seitens des Daches die Kräfte  $H$  auf die Seitenmauern des Gebäudes oder auf die sonstigen Stützen nach außen.

Die Standicherheit der das Dach tragenden Wände, Stützen etc. macht es in den meisten Fällen wünschenswerth, daß diese wagrechten Kräfte nicht auf dieselben übertragen werden; man verbindet deshalb die beiden Punkte  $A$  und  $B$  durch einen Stab oder eine Anzahl von Stangen, welche die Kräfte  $H$  und  $H_1$  nach einem Punkte übertragen, in welchem sie einander aufheben. Dadurch erhält man, wenigstens für lothrechte Belastungen des Daches, nur lothrechte Auflagerdrücke und lothrechten Druck auf die Wände, Stützen etc. Im einfachsten Falle besteht die Stangenverbindung aus einem einfachen Holzbalken oder einer einfachen eisernen Zugstange  $AB$ ; statt dessen werden auch zwei Stangen  $AE$  und  $EB$  (Fig. 270) angeordnet, die sowohl nach oben, wie nach unten von der wagrechten Linie abweichen können. Alsdann ist im Eckpunkte  $E$  eine weitere lothrechte Stange anzuordnen. Auch eine mehrfach gebrochene Stangenverbindung kann zur Verbindung der Punkte  $A$  und  $B$  gewählt werden. Beim Balkendach werden demnach stets die wagrechten Seitenkräfte der Auflagerdrücke, welche durch die lothrechten Belastungen entstehen, mittels der Stangenverbindung aufgehoben.

275.  
Eintheilung.

Je nach der Anordnung der eben erwähnten Stangenverbindung, bzw. je nach der Form der oberen und der unteren Gurtung, so wie der Anordnung der zwischen beiden gelegenen Stäbe kann man folgende Hauptgattungen von Dachstuhl unterscheiden<sup>34)</sup>:

a) Einfaches Dreieckdach (Fig. 270). Dasselbe besteht aus zwei sich im First stützenden Sparren und einer die wagrechten Kräfte aufhebenden Verbindung von zwei Stangen, welche sich in der Lothrechten des Firstes schneiden. Diese beiden Stangen sind wagrecht oder nach oben, bzw. nach unten geneigt. Zur Verbindung des Firstpunktes mit dem Schnittpunkte der Stangen, welche den wagrechten Schub aufnehmen, ist eine lothrechte Stange  $CE$  angeordnet.

b) Deutscher Dachstuhl (Fig. 271). Die obere Gurtung hat jederseits einen Knotenpunkt, welcher durch einen Stab mit  $E$  verbunden ist.

Fig. 271.

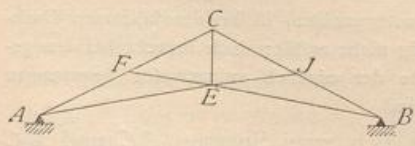
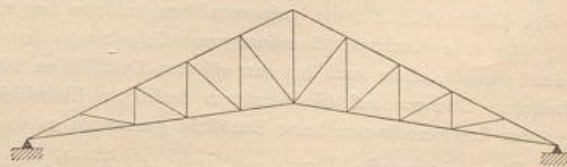


Fig. 272.



<sup>34)</sup> Vergl. auch Theil III, Band 2, Heft 4 (Art. 144 bis 149, S. 199 bis 207) dieses „Handbuchs“.

c) Englischer Dachstuhl (Fig. 272). Die obere Gurtung hat jederseits eine Anzahl von Knotenpunkten; die obere Gurtung und die den wagrechten Schub aufhebende Stangenverbindung (die untere Gurtung) sind durch Gitterwerk mit einander verbunden. Das Gitterwerk besteht aus einer Schar Pfosten und einer Schar Diagonalen oder aus zwei Scharen von Diagonalen, von denen die eine vorteilhaft senkrecht zur Dachneigung steht.

d) Französischer oder belgischer Dachstuhl, *Polonceau*-Dachstuhl oder *Wiegmann*-Dachstuhl (Fig. 273 bis 276). Er entsteht aus dem einfachen Dreieckdach, wenn in Fig. 269 die einfachen Sparren durch Dreiecksträger ersetzt werden.

Fig. 273.



Fig. 274.

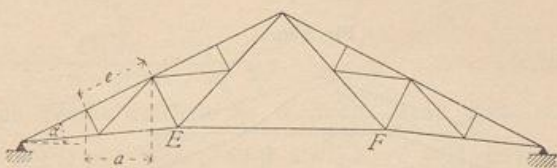


Fig. 275.

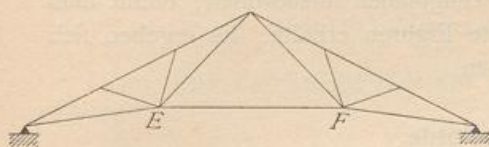
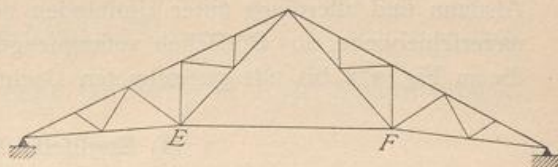


Fig. 276.



Die Form der letzteren richtet sich nach der Anzahl von Stützpunkten (Knotenpunkten), welche jederseits nöthig werden. Der wagrechte Schub wird durch eine Stange  $EF$  aufgehoben, welche die unteren Eckpunkte der beiden Dreiecksträger verbindet. In Fig. 273 bis 276 sind *Polonceau*-Dachstühle für 1, 2, 3 und 4 Lastpunkte an jeder Seite des Firses dargestellt.

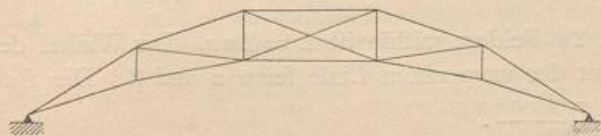
Man unterscheidet:

1) den einfachen *Polonceau*-Dachstuhl; bei demselben hat der Dreiecksträger jederseits nur einen Knotenpunkt in der unteren Gurtung (Fig. 273 u. 275);

2) den zusammengesetzten *Polonceau*-Dachstuhl; bei diesem sind in den Hauptträger noch weitere Stäbe eingeschaltet, so daß der Dreiecksträger in der unteren Gurtung jederseits mehrere Knotenpunkte hat (Fig. 274 u. 276).

Die Anzahl der Lastpunkte bestimmt sich nach der Tragweite, welche man den Sparren geben kann. Letztere heiße  $e$ ; somit ist die wagrechte Projection derselben  $e \cos \alpha = a$ , die Gesamtlängeweite des Daches  $L$ . Alsdann ergibt sich die Anzahl der Lastpunkte zu  $n = \frac{L}{e \cos \alpha} - 1 = \frac{L}{a} - 1$ ;  $e$  ist nach der Stärke der Sparren verschieden;  $n$  muß eine ganze gerade Zahl sein.

Fig. 277.



e) Sieldach (Fig. 277). Die obere und die untere Gurtung sind nach einer krummen Linie oder nach einem der krummen Linie

eingeschriebenen Vieleck gebildet; das Gitterwerk ist verschieden. Man kann hierher auch die Träger mit gekrümmter oberer und geradliniger unterer Gurtung rechnen.

Bei den vorstehend angeführten Dächern ist stets angenommen, daß die beiden Gurtungen sich über dem Auflager schneiden; die Formen sind aber auch möglich, ohne daß die Schnittpunkte der Gurtungen in den Auflager-Lothrechten liegen.

Fig. 278.

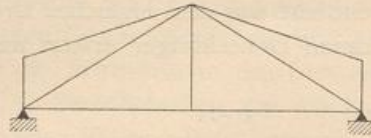


Fig. 279.

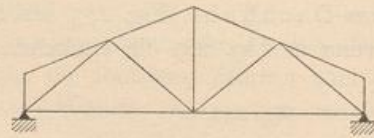
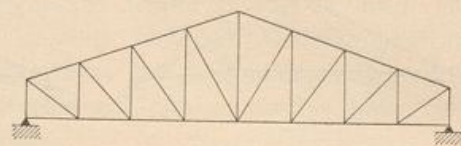


Fig. 280.



Fig. 281.



Alsdann sind allerdings unter Umständen noch Diagonalen anzuordnen, damit man unverfchiebliche, aus Dreiecken zusammengesetzte Figuren erhalte. Es ergeben sich die in Fig. 278 bis 281 gezeichneten Dachformen.

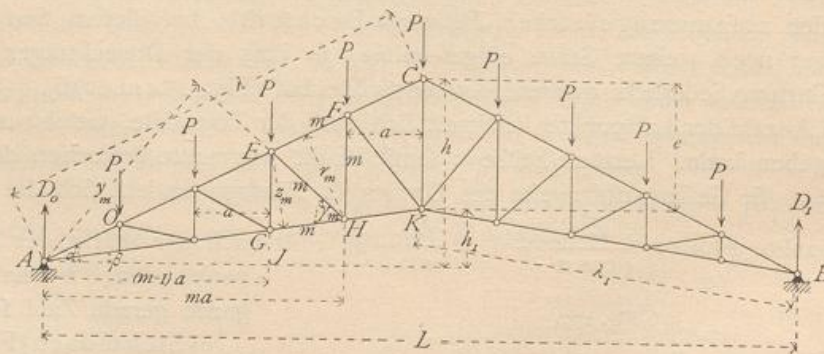
a) Englische Dachstühle.

216.  
Berechnung  
der Spannungen  
durch lothrechte  
Belastung.

Die Belastungsgefetze und Spannungsermittlungen sollen für einen Dachstuhl mit Pfosten und nach der Mitte zu fallenden Diagonalen gezeigt werden; für andere Anordnungen des Gitterwerkes ergeben sich aus dem Nachstehenden die Aenderungen ohne Schwierigkeit.

1) Berechnung der Spannungen.  $\alpha$ ) Belastung durch das Eigengewicht, bezw. volle Schneebelastung (Fig. 282). Die Belastung für den Knotenpunkt sei  $P$ , die Stützweite  $L$ , die Entfernung der Knotenpunkte, wagrecht

Fig. 282.



gemessen,  $a$ . Der Dachstuhl habe  $2n$  Felder; mithin ist  $L = 2na$ . Die Winkel der oberen, bezw. unteren Gurtung mit der wagrechten Linie seien  $\alpha$  und  $\beta$ . Die Auflagerdrücke sind  $D_0 = D_1 = \frac{(2n-1)P}{2}$ .

Für die  $m$ -te Stange  $EF$  der oberen Gurtung ist  $H$  der Momentenpunkt, also

$$0 = X_m r_m + D_0 m a - (m - 1) P \frac{m a}{2},$$

woraus

$$X_m = \frac{-\frac{(2n-1)}{2} P m a + (m-1) P \frac{m a}{2}}{r_m}.$$

Nun ist  $r_m = \overline{AH} \sin(\alpha - \beta)$  und  $\overline{AH} = \frac{m a}{\cos \beta}$ ; fönach

$$r_m = m a \frac{\sin(\alpha - \beta)}{\cos \beta} = m a \cos \alpha (\operatorname{tg} \alpha - \operatorname{tg} \beta)$$

und

$$X_m = -\frac{P(2n-m)}{2 \cos \alpha (\operatorname{tg} \alpha - \operatorname{tg} \beta)} \dots \dots \dots 307.$$

Oft ist es unbequem, mit den Winkelwerthen zu rechnen; dann giebt man der Formel folgende Gestalt. Es ist  $\operatorname{tg} \alpha = \frac{2h}{L}$ ,  $\operatorname{tg} \beta = \frac{2h_1}{L}$ ,  $h - h_1 = e$  und

$\cos \alpha = \frac{L}{2\lambda}$ ; durch Einsetzung dieser Werthe wird

$$X_m = -\frac{P\lambda(2n-m)}{2e} \dots \dots \dots 308.$$

Für die  $m$ -te Stange  $GH$  der unteren Gurtung ist  $E$  der Momentenpunkt, mithin

$$0 = D_0 (m - 1) a - P(m - 2) \frac{(m - 1) a}{2} - Z_m z_m,$$

woraus

$$Z_m = \frac{\frac{(2n-1)}{2} P(m-1) a - P(m-2)(m-1) \frac{a}{2}}{z_m}.$$

Nun ist  $z_m = \overline{AE} \sin(\alpha - \beta)$  und  $\overline{AE} = \frac{(m-1) a}{\cos \alpha}$ , demnach

$$Z_m = \frac{P(2n-m+1)}{2 \cos \beta (\operatorname{tg} \alpha - \operatorname{tg} \beta)} \dots \dots \dots 309.$$

Da  $\cos \beta = \frac{L}{2\lambda_1}$  ist und  $\operatorname{tg} \alpha$ , so wie  $\operatorname{tg} \beta$  die oben angegebenen Werthe haben, so wird auch

$$Z_m = \frac{P\lambda_1(2n-m+1)}{2e} \dots \dots \dots 310.$$

Die Gleichungen 309 u. 310 gelten nicht für die erste Stange der unteren Gurtung am Auflager; denn die Formel ist unter der Annahme entwickelt, daß als Drehpunkt für die Gleichung der statischen Momente derjenige Punkt der oberen Gurtung gewählt wird, welcher in die

Fig. 283.



$(m - 1)$ -te Verticale fällt; dies würde für  $m = 1$  der Punkt  $A$  sein, und für diesen Fall wäre die Gleichung der statischen Momente für  $A$  als Drehpunkt nicht verwendbar, weil alle Kräfte am Bruchstück dann durch  $A$  gehen, also das statische Moment Null haben. Man erhält  $Z_1$  durch Aufstellung der Gleichung der statischen Momente für irgend einen beliebigen Punkt, etwa  $O$  (Fig. 283). Es wird, wenn der Hebelsarm von  $Z_1$  in Bezug auf den Drehpunkt  $O$  gleich  $z_2$  ist,

$$Z_1 = \frac{D_0 a}{z_2} = \frac{(2n-1) P a}{2 a \cos \beta (\operatorname{tg} \alpha - \operatorname{tg} \beta)} = \frac{(2n-1) P \lambda_1}{2e} \dots \dots \dots 311.$$

Derselbe Werth ergibt sich für  $m = 2$ , d. h. für den zweiten Stab der unteren Gurtung.

217.  
Spannungen  
in den  
Gurtungen.



218.  
Spannungen  
in den  
Diagonalen.

Für die  $m$ -te Diagonale  $EH$ , wie für alle Diagonalen der linken Dachhälfte ist  $A$  der Momentenpunkt, mithin

$$0 = Y_m y_m + (m - 1) \frac{P m a}{2}, \text{ woraus } Y_m = - \frac{P m a (m - 1)}{2 y_m}.$$

Da nun  $y_m = \frac{m a \sin \gamma_m}{\cos \beta}$  ist, wird  $Y_m = - \frac{P}{2} (m - 1) \frac{\cos \beta}{\sin \gamma_m}$ .

Durch einfache Umformungen erhält man

$$Y_m = - \frac{P \sqrt{1 + [(m - 1) \operatorname{tg} \alpha - m \operatorname{tg} \beta]^2}}{2 (\operatorname{tg} \alpha - \operatorname{tg} \beta)} \dots \dots \dots 312.$$

und durch Fortschaffung der Winkelwerthe

$$Y_m = - \frac{P}{4e} \sqrt{L^2 + 4 (m e - h)^2} \dots \dots \dots 313.$$

219.  
Spannungen  
in den  
Pfoften.

Für den  $m$ -ten Pfoften  $FH$  ist der Schnitt schräg zu legen; als Momentenpunkt ergibt sich  $A$ ; mithin heisst die Gleichung der statischen Momente für  $A$  als Drehpunkt

$$0 = V_m m a - (m - 1) \frac{P m a}{2}, \text{ woraus } V_m = \frac{P (m - 1)}{2} \dots \dots 314.$$

Für  $m = 1$  ergibt diese Gleichung  $V_m = 0$ ; der erste Pfoften ist also überflüssig und kann fortbleiben.

Die Gleichung gilt nicht für den mittelften Pfoften; denn wenn bei diesem der Schnitt eben so gelegt wird, wie bei den anderen Pfoften, so werden vier Stäbe getroffen;  $A$  ist also hier nicht der conjugirte Punkt. Man bestimmt die Spannung in diesem Mittelpfoften durch Aufstellung der Gleichgewichtsbedingungen für den Firstknotenpunkt (Fig. 284). Für diesen ist, wenn die Summe der lothrechten Kräfte gleich Null gesetzt wird,

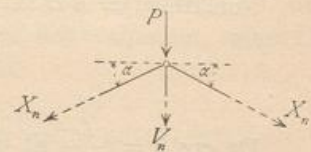
$$0 = V_n + P + 2 X_n \sin \alpha, \text{ woraus } V_n = - P - 2 X_n \sin \alpha,$$

und da nach Gleichung 307:  $X_n = - \frac{P n}{2 \cos \alpha (\operatorname{tg} \alpha - \operatorname{tg} \beta)}$  ist, so wird

$$V_n = P \left( \frac{n \operatorname{tg} \alpha}{\operatorname{tg} \alpha - \operatorname{tg} \beta} - 1 \right) \dots \dots \dots 315.$$

Die Gleichungen 307 bis 314 gelten für die Stäbe links von der Mitte; die zur Mitte symmetrisch liegenden Stäbe der anderen Dachhälfte werden in genau gleicher Weise beansprucht; die Gleichungen können sofort auch für die rechte Dachhälfte angewendet werden, wenn die  $m$  von  $B$  aus gerechnet werden.

Fig. 284.



Die Betrachtung der Gleichungen 307 bis 314 ergibt Folgendes:

a) Durch das Eigengewicht, bezw. durch gleichmäßige Belaftung des ganzen Dachbinders erhalten alle Stäbe der oberen Gurtung Druck, alle Stäbe der unteren Gurtung Zug. Wenn die Diagonalen nach der Mitte zu fallen, erhalten dieselben bei der erwähnten Belaftung Druck, die Pfoften Zug. Man sieht leicht, dass, wenn die Diagonalen nach der Mitte zu steigen, dieselben bei der gleichen Belaftung gezogen, die Pfoften gedrückt werden.

b) Je größer  $\beta$  wird, desto kleiner wird  $(\operatorname{tg} \alpha - \operatorname{tg} \beta)$  und das Product  $\cos \beta (\operatorname{tg} \alpha - \operatorname{tg} \beta)$ ; desto größer werden daher sowohl  $X_m$ , wie  $Z_m$ , da die Ausdrücke, sowohl für  $X$ , wie für  $Z$  die erwähnten Werthe im Nenner haben. Für negative Werthe von  $\beta$ , d. h. wenn die Zuggurtung nach unten von der Wagrechten abweicht, wird

$$X'_m = - \frac{P (2n - m)}{2 \cos \alpha (\operatorname{tg} \alpha + \operatorname{tg} \beta)} \text{ und } Z'_m = \frac{P (2n - m + 1)}{2 \cos \beta (\operatorname{tg} \alpha + \operatorname{tg} \beta)} \dots 316.$$

Je größer (absolut genommen) die negativen Werthe von  $\beta$  werden, desto größer werden die Nenner in den beiden Gleichungen 316, desto kleiner also  $X_m$  und  $Z_m$ . Für den Materialaufwand zu den Gurtungen ist es also günstig, das positive  $\beta$  möglichst klein, das negative  $\beta$  möglichst groß zu nehmen.

c) Für  $\beta = 0$ , d. h. wenn die untere Gurtung eine gerade Linie bildet, ist

$$X_m = -\frac{P(2n-m)}{2 \sin \alpha} \quad \text{und} \quad Z_m = \frac{P(2n-m+1)}{2 \operatorname{tg} \alpha} \quad \dots \quad 317.$$

$$Y_m = -\frac{P\sqrt{1+(m-1)^2 \operatorname{tg}^2 \alpha}}{2 \operatorname{tg} \alpha}, \quad V_m = \frac{P(m-1)}{2} \quad \text{und} \quad V_n = P(n-1) \quad 318.$$

$\beta$ ) Ungünstigste lothrechte Belastung. — a) Gurtungsstäbe. Jede lothrechte Belastung des Trägers erzeugt (nach Art. 156, S. 150) ein positives Moment in allen Querschnitten. Sind nun (Fig. 282) die in den Stäben  $EF$ , bzw.  $GH$  durch eine beliebige lothrechte Belastung erzeugten Spannungen  $X_m$ , bzw.  $Z_m$  und die Momente für die bezüglichen Momentenpunkte  $H$  und  $E$  gleich  $M_m$  und  $M_{m-1}$ , so wird

$$X_m = -\frac{M_m}{r_m} \quad \text{und} \quad Z_m = \frac{M_{m-1}}{z_m}.$$

$X_m$  und  $Z_m$  erreichen ihre Größtwerte gleichzeitig mit  $M_m$ , bzw.  $M_{m-1}$ , d. h. bei voller Belastung des Trägers. Die Belastung des ganzen Daches durch Schneedruck wird also für die Gurtungsstäbe die ungünstigste sein. Die dann sich ergebenden Spannungen folgen aus den Gleichungen 307 bis 311, indem dort statt  $P$  die Knotenpunktsbelastung durch Schnee- und Eigengewicht eingesetzt wird.

Man erhält, wenn  $b$  der Binderabstand ist und  $q'$  die Bedeutung, wie in Art. 204 (S. 206) hat,

$$P = G + S = ab(q' + 75) \text{ Kilogr.}$$

und daraus leicht  $X_m$  und  $Z_m$ .

b) Diagonalen. Wenn die Diagonalen nach der Mitte zu fallen, so erzeugt eine Last  $P$  rechts von dem durch die Diagonale gelegten lothrechten Schnitte  $II$

Fig. 285.

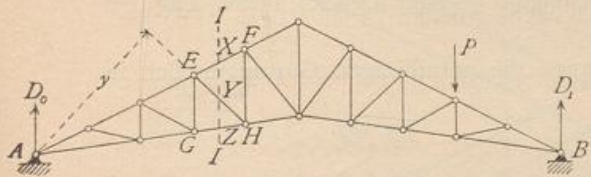
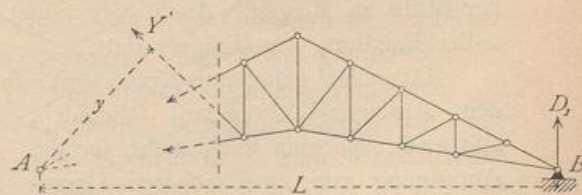


Fig. 286.



(Fig. 285) in  $A$  den Auflagerdruck  $D_0$ . Auf das Bruchstück links vom Schnitt wirken jetzt  $D_0$  und die drei Stabspannungen  $X$ ,  $Y$  und  $Z$ . Für  $Y$  ist  $A$  der Momentenpunkt, und die Gleichung der statischen Momente für  $A$  als Drehpunkt lautet  $0 = Yy$ , d. h.  $Y = 0$ .

Liegt eine Last  $P$  links vom Schnitte  $II$  und betrachtet man das Bruchstück rechts vom Schnitte (Fig. 286), so heißt die Gleichung der statischen Momente in Bezug auf den Punkt  $A$  als Drehpunkt

$$0 = Y'y + D_1 L, \quad \text{woraus} \quad Y' = -\frac{D_1 L}{y}.$$

220.  
Ungünstigste  
Belastung.

Steigen die Diagonalen nach der Mitte zu, so ergibt sich, wenn die Last rechts vom Schnitte liegt, genau wie vorhin, daß in den Diagonalen die Spannung Null entsteht. Liegt dagegen die Last links vom Schnitt, so folgt

$$Y'_1 = + \frac{D_1 L}{y'}$$

Die für die Diagonalen gefundenen Ergebnisse gelten, so lange  $A$  der Momentenpunkt der Diagonalen ist, d. h. für alle Diagonalen links der Mitte. Für die Diagonalen rechts der Mitte ist  $B$  der Momentenpunkt, und es ergibt sich in gleicher Weise, wie eben gezeigt, daß in diesen jede Belastung rechts vom Schnitte durch die betreffende Diagonale eine Druck-, bzw. Zugspannung erzeugt, je nachdem sie nach der Mitte zu fallen oder steigen; jede Belastung links vom Schnitte ruft dagegen in denselben die Spannung Null hervor.

Allgemein folgt hieraus: Jede Belastung zwischen dem durch die Diagonale gelegten lothrechten Schnitte und demjenigen Auflager, welches für die Diagonale nicht den Momentenpunkt bildet, hat auf die Spannung in der Diagonalen gar keinen Einfluß. Jede Belastung zwischen dem lothrechten Schnitt und dem Auflager, welches für die Diagonale den Momentenpunkt bildet, erzeugt in den nach der Mitte zu fallenden Diagonalen Druck, in den nach der Mitte zu steigenden Diagonalen Zug. Die ungünstigsten Belastungsarten würden also diejenigen sein, bei denen die ganze Zug-, bzw. Druckabtheilung belastet wäre. Da aber die Belastung des übrigen Trägertheiles ohne Einfluß auf die Diagonalspannung ist, so kann man auch sagen: Die ungünstigste Beanspruchung aller Diagonalen durch lothrechte Lasten findet bei voller Belastung statt, und zwar werden die nach der Mitte zu steigenden Diagonalen gezogen, die nach der Mitte zu fallenden Diagonalen gedrückt.

c) Pfosten. Für die ungünstigste Belastung der Pfosten ergibt sich durch die gleiche Beweisführung, wie bei den Diagonalen, wenn die Schnitte schräg gelegt werden: Jede Belastung zwischen dem durch einen Pfosten gelegten schrägen Schnitt und dem Auflager, welches für den Pfosten nicht den Momentenpunkt bildet, erzeugt im Pfosten die Spannung Null; jede Belastung zwischen dem Schnitte und demjenigen Auflager, welches den conjugirten Punkt bildet, erzeugt in den Pfosten Zug, wenn die Diagonalen nach der Mitte zu fallen, Druck, wenn die Diagonalen nach der Mitte zu steigen. Auch hier findet demnach größter Druck, bzw. Zug bei voller Belastung des Trägers statt.

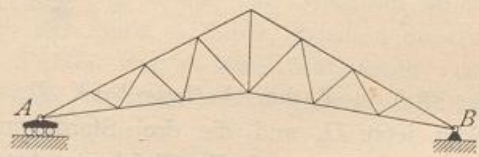
Das hier gefundene Gesetz gilt, so lange die geradlinigen Gurtungen sich in den Auflager-Lothrechten schneiden, also auch, wie man leicht sieht, für die Anordnung von zwei Scharen Diagonalen nach Fig. 287.

Demnach kann für alle Stäbe des englischen Dachstuhles die volle Belastung durch Schnee und Eigengewicht als ungünstigste lothrechte Belastung der Berechnung zu Grunde gelegt werden.

Die bezüglichlichen Größtwerte sind in Art. 217 bis 219 entwickelt.

γ) Belastung durch Winddruck. Die sämtlichen Stabspannungen sind sowohl für den Fall zu ermitteln, daß der Winddruck jene Seite belastet, an welcher das bewegliche Auflager liegt, als daß er diejenige Seite belastet, an welcher sich das feste Auflager befindet.

Fig. 287.



Man ermittelt bei diesen beiden Belastungsarten für jeden Stab den Momentenpunkt, das Biegemoment der äußeren Kräfte für diesen Punkt und daraus in bekannter Weise die Stabspannungen. Es empfiehlt sich dabei, für die Auffuchung des Biegemomentes jede Knotenpunktsbelastung in eine wagrechte und eine lothrechte Seitenkraft zu zerlegen; die Ermittlung der Hebelsarme wird dadurch wesentlich vereinfacht. In Fig. 294 u. 296 sind die wagrechten und lothrechten Seitenkräfte der Winddrücke sowohl für den Fall, daß der Wind von der Seite des beweglichen Auflagers, als auch für den Fall, daß er von der Seite des festen Auflagers kommt, angegeben.

2) Graphische Ermittlung der Spannungen. Hier empfiehlt sich die *Cremona'sche Methode* am meisten, weil für die Spannungen aller Stäbe die gleichen Belastungsarten zu Grunde gelegt werden.

a) Belastung durch das Eigengewicht und Schneedruck. Man nimmt entweder die sämtlichen Eigenlasten in den oberen Knotenpunkten vereinigt an oder berechnet die Eigengewichte, welche in den Knotenpunkten der unteren Gurtung angreifen, besonders. In beiden Fällen ist das Verfahren genau wie im Kapitel »Träger« (Art. 176, S. 172) gezeigt ist.

222.  
Graphische  
Ermittlung  
der  
Spannungen.

Fig. 288.

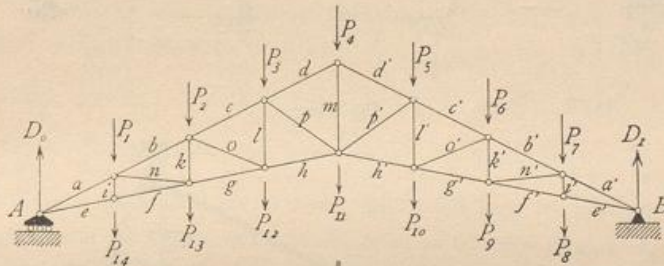
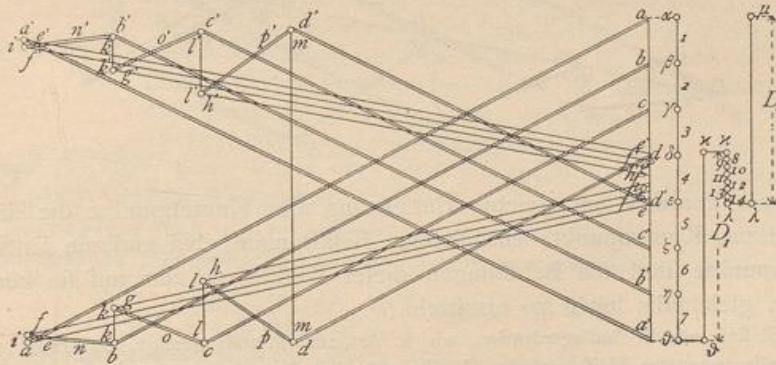


Fig. 289.



Bei der graphischen Ermittlung in Fig. 288 u. 289 ist die zweite Annahme gemacht worden; die Eigengewichte, welche auf die Auflagerpunkte *A* und *B* kommen, sind fortgelassen, weil sie unmittelbar von den Auflagern aufgenommen werden, demnach das System nicht belasten. Alsdann sind die am System wirkenden äußeren Kräfte in der Reihenfolge der Knotenpunkte aufgetragen: zuerst die Lasten der oberen Gurtung 1, 2, 3... 7; an den Endpunkt von 7 ist *D*<sub>1</sub> getragen; letzteres fällt mit der Kraftlinie 1, 2, 3... 7 zusammen, wie überhaupt alle äußeren Kräfte hier in dieselbe Kraftlinie fallen. Der größeren Deutlichkeit halber sind aber die Lasten 1 bis 7, *D*<sub>1</sub>, ferner die Lasten der unteren Gurtung

und  $D_0$  je etwas weitwärts verschoben aufgetragen. Wir erhalten  $D_1 = \delta \kappa$ ;  $\delta$  bis  $14 = \kappa \lambda$ ;  $D_0 = \lambda \mu$ .  $\mu$  fällt demnach eigentlich auf  $\alpha$ , wonach sich also das Kräftepolygon schließt.

Für die Construction des Kräfteplanes sind selbstverständlich als Grenzpunkte der einzelnen äußeren Kräfte die Punkte auf der Linie  $a a'$  einzuführen, welche mit den gezeichneten auf gleicher Höhe liegen. Der Kräfteplan ist nun genau, wie früher angegeben, in Fig. 289 construiert, worüber keine weiteren Bemerkungen nöthig sind.

Die Construction der Spannungen durch volle Schneebelastung ist in gleicher Weise vorzunehmen; dabei sind natürlich die Belastungen der unteren Knotenpunkte gleich Null.

$\beta$ ) Belastung durch Winddruck. In Fig. 291 u. 292 sind die Kräftepläne sowohl für den von der Seite des beweglichen, wie für den von der Seite des festen Auflagers kommenden Winddruck construiert. Auf den Auflagerpunkt und

Fig. 290.

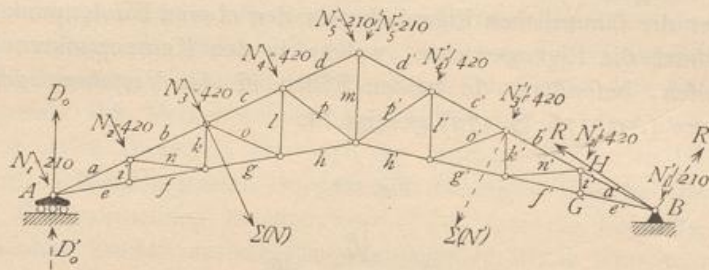
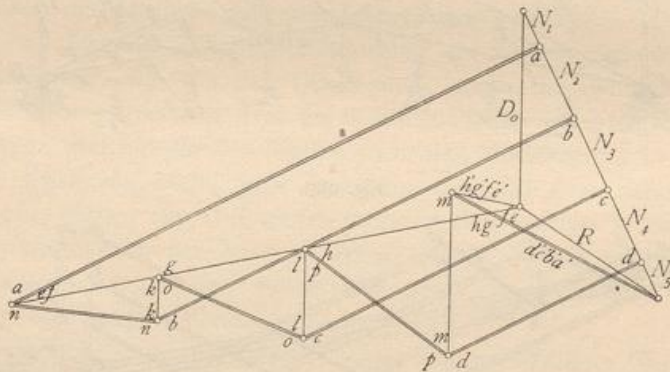


Fig. 291.



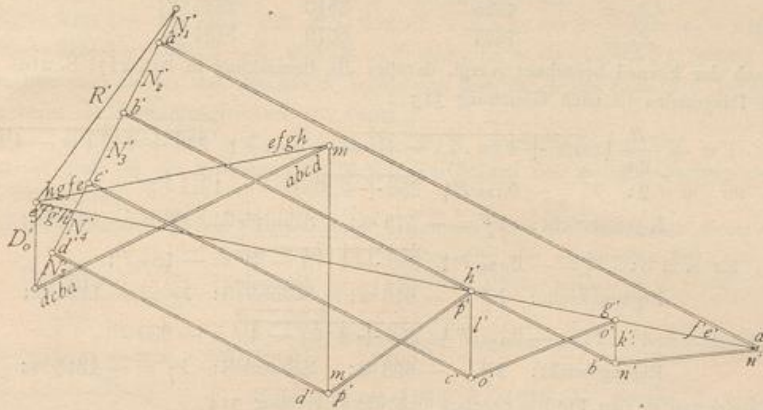
den Firstpunkt kommen bei gleicher Entfernung aller Knotenpunkte die Hälften der auf die anderen Knotenpunkte entfallenden Belastungen; bei anderen Entfernungen der Knotenpunkte sind die Belastungen dieser Punkte aus den auf sie kommenden Dachflächen gleichfalls leicht zu ermitteln.

Zunächst sind nun die Auflagerdrücke, wie in Art. 208 (S. 208) gezeigt, construiert, worauf sich der Kräfteplan in bekannter Weise ergibt. In Fig. 290 sind die äußeren Kräfte für die Belastung der linken Dachhälfte ausgezogen, für die Belastung der rechten Dachhälfte punktiert.

Es möge hier darauf aufmerksam gemacht werden, daß auf der nicht belasteten Seite sämtliche Diagonalen die Spannung Null, die oberen, so wie die unteren Gurtungsstäbe sämtlich je gleiche Spannungen erhalten. Die Richtigkeit ergibt sich aus folgender Betrachtung.

Wenn sich in einem unbelasteten Knotenpunkte (Fig. 293) drei Stäbe schneiden, von denen zwei in eine gerade Linie fallen, so ist, wenn Gleichgewicht stattfindet,  $X - X_1 + Y \cos \varphi = 0$  und  $Y \sin \varphi = 0$ , d. h.  $Y = 0$ , also auch  $X - X_1 = 0$ , d. h.  $X = X_1$ . Die Spannungen in den beiden in eine gerade Linie fallenden Stäben sind also einander gleich; die Spannung im dritten Stabe ist gleich Null.

Fig. 292.



Falls der Wind, wie in Fig. 290 durch die ausgezogenen Pfeile angedeutet ist, die linke Seite be-  
lastet, so wirkt auf den Knotenpunkt G keine äußere Kraft; mithin wird  $e' = f'$  und  $i' = 0$ . Auch auf  
H wirkt keine äußere Kraft; da nun  $i' = 0$  ist, also als nicht vorhanden zu betrachten ist, so folgt auch  
 $n' = 0$  und  $a' = b'$ . Eben so ergibt sich weiter  $a' = b' = c' = d'$ ;  $e' = f' = g' = h'$ ;  $i' = n' =$   
 $k' = o' = l' = p' = 0$ .

Beispiel. Berechnung eines englischen Dachstuhles (Fig. 294) von nachfolgenden Haupt-  
maßen: Stützweite  $L = 16$  m; Firsthöhe  $h = 4$  m;  $\frac{h}{L} = \frac{1}{4}$ ;  $a = 2$  m;  $2a = 8$ ;  $\text{tg } \alpha = \frac{4}{8} = 0,5$ ;  
 $h_1 = 1,6$  m;  $\text{tg } \beta = \frac{1,6}{8} = 0,2$ ;  $e = h - h_1 = 2,4$  m;  $\lambda = \sqrt{4^2 + 8^2} = 8,94$  m;  $\lambda_1 = \sqrt{1,6^2 + 8^2}$   
 $= 8,16$  m;  $\sin \alpha = \frac{h}{\lambda} = \frac{4}{8,94} = 0,447$  m;  $\cos \alpha = \frac{8}{8,94} = 0,895$ ;  $\sin \beta = \frac{h_1}{\lambda_1} = \frac{1,6}{8,16} = 0,196$ ;  
 $\cos \beta = \frac{8}{8,16} = 0,98$ ; die Binderweite ist 4,3 m; die Dachdeckung ist Eisenwellblech auf Winkel-  
eisen; das Gitterwerk besteht aus Pfosten und nach der Mitte zu fallenden Diagonalen.

223.  
Beispiel.

Die Belastungen ergeben sich wie folgt. Auf einen Knotenpunkt kommt eine Grundfläche von

Fig. 293.



$2 \cdot 4,3 = 8,6$  qm, eine schräge Dachfläche von  $4,3 \cdot \frac{\lambda}{4} = \frac{4,3 \cdot 8,94}{4} = 9,61$  qm.

Mithin ist nach der Tabelle auf S. 20 das Eigengewicht für 1 qm Grundfläche,  
auschl. des Bindergewichtes, gleich 23 kg. Rechnet man das Gewicht des Binders  
für 1 qm Grundfläche mit 17 kg, so wird das Eigengewicht für 1 qm Grund-  
fläche =  $23 + 17 = 40$  kg. Demnach ist die Knotenpunktsbelastung durch  
das Eigengewicht =  $8,6 \cdot 40 = 344$  kg, durch Schneedruck =  $8,6 \cdot 75 = 645$  kg,  
die senkrechte Knotenpunktsbelastung durch Winddruck =  $9,61 \cdot 72 = 692$  kg,  
wofür abgerundet  $N = 700$  kg gesetzt werden soll. Der Firstknotenpunkt und der Auflagerknotenpunkt  
erhalten nur je 350 kg senkrechte Windbelastung.

a) Spannungen durch die lothrechten Lasten. Für die obere Gurtung ergeben sich  
die Spannungen durch das Eigengewicht, bezw. volle Schneebelastung aus Gleichung 308 zu

$$X_m = - \frac{P \cdot 8,94}{2 \cdot 2,4} (8 - m) = - 1,8625 P (8 - m).$$

Wir erhalten: für Eigengewicht  $P = 344$  kg, sonach  $X_m^g = - 1,8625 \cdot 344 (8 - m) = - 640 (8 - m)$ ;

für Schneebelastung  $P = 645$  kg, mithin  $X_m^s = - 1,8625 \cdot 645 (8 - m) = - 1200 (8 - m)$ .

Für $m =$	1	2	3	4
wird $X_m^g =$	- 4480	- 3840	- 3200	- 2560 kg;
$X_m^s =$	- 8400	- 7200	- 6000	- 4800 kg.

Für die untere Gurtung ist nach Gleichung 310:  $Z_m = \frac{P \cdot 8,16}{2 \cdot 2,4} (9 - m) = 1,7 P (9 - m)$ .

Für Eigengewicht ist  $Z_m^g = 1,7 \cdot 344 (9 - m) = 585 (9 - m)$ ,

für Schneelast ist  $Z_m^s = 1,7 \cdot 645 (9 - m) = 1096,5 (9 - m)$ .

Sonach wird für	$m =$	1	2	3	4
	$Z_g =$	4095		3510	2925 kg;
	$Z_p =$	7677		6579	5481 kg.

$Z_1$  ist nicht nach der Formel berechnet (vergl. darüber die Bemerkung in Art. 217, S. 219).

Für die Diagonalen ist nach Gleichung 313

$$Y = -\frac{P}{9,6} \sqrt{16^2 + 4(m \cdot 2,4 - 4)^2} = -0,104 P \sqrt{256 + 4(2,4m - 4)^2}.$$

Wir erhalten für  $m = 2$ :  $Y_2 = -0,104 P \sqrt{256 + 4(0,8)^2} = -1,072 P$ ;

$$\text{Eigengewicht: } Y_2^g = -575 \text{ kg; } \text{Schneelast: } Y_2^p = -1079 \text{ kg;}$$

für  $m = 3$ :  $Y_3 = -0,104 P \sqrt{256 + 4(7,2 - 4)^2} = -1,79 P$ ;

$$\text{Eigengewicht: } Y_3^g = -616 \text{ kg; } \text{Schneelast: } Y_3^p = -1155 \text{ kg;}$$

für  $m = 4$ :  $Y_4 = -0,104 P \sqrt{256 + 4(9,6 - 4)^2} = -2,01 P$ ;

$$\text{Eigengewicht: } Y_4^g = -698 \text{ kg; } \text{Schneelast: } Y_4^p = -1310 \text{ kg;}$$

Die Spannungen in den Pfosten ergeben sich aus Gleichung 314

	Eigengewicht:	Schneelast:
für $m = 2$ :	$V_2^g = 172 \text{ kg;}$	$V_2^p = 323 \text{ kg;}$

" $m = 3$ :	$V_3^g = 344 \text{ kg;}$	$V_3^p = 645 \text{ kg.}$
-------------	---------------------------	---------------------------

Die Spannungen im Mittelpfosten (für  $m = 4$ ) sind nach Gleichung 315

$$V_4^g = 1950 \text{ kg, } V_4^p = 3657 \text{ kg.}$$

β) Spannungen durch Windbelastung an der Seite des beweglichen Auflagers (Fig. 294). Die lothrechte Seitenkraft der Knotenpunktbelastung ist bei den mittleren Knotenpunkten gleich

$700 \cos \alpha = 700 \cdot 0,895 = 626 \text{ kg}$ , beim First- und Auflagerknotenpunkt je gleich  $313 \text{ kg}$ ; die wagrechten Seitenkräfte sind bezw.  $700 \sin \alpha = 700 \cdot 0,447 = 312 \text{ kg}$  und  $156 \text{ kg}$ . Die lothrechten Höhen der oberen Gurtungsknotenpunkte über  $AB$  sind bezw.  $1 \text{ m}$ ,  $2 \text{ m}$ ,  $3 \text{ m}$  und  $4 \text{ m}$ ; die Knotenpunkte der unteren Gurtung liegen bezw. um  $0,4 \text{ m}$ ,  $0,8 \text{ m}$ ,  $1,2 \text{ m}$  und  $1,6 \text{ m}$  über der wagrechten Linie  $AB$ . Es ist

$$D_0 = \frac{(3 \cdot 626 + 2 \cdot 313) 12 - (3 \cdot 312 + 2 \cdot 156) 2}{16} = 1722 \text{ kg,}$$

$$D_1 = \frac{(3 \cdot 626 + 2 \cdot 313) 4 + (3 \cdot 312 + 2 \cdot 156) 2}{16} = 782 \text{ kg,}$$

$$H = 3 \cdot 312 + 2 \cdot 156 = 1248 \text{ kg.}$$

Für die Stäbe der oberen Gurtung ergeben sich die Gleichungen der statischen Momente: wenn  $E$  der Momentenpunkt ist,

$$0 = X_1 \cdot 0,6 \cos \alpha + (D_0 - 313) \cdot 2 - 156 \cdot 0,4, \text{ woraus } X_1 = -5132 \text{ kg;}$$

für den Momentenpunkt  $F$

$$0 = X_2 \cdot 1,2 \cos \alpha + (D_0 - 313) \cdot 4 - 156 \cdot 0,8 + 312 \cdot 0,2 - 626 \cdot 2, \text{ woraus } X_2 = -4023 \text{ kg;}$$

weilers eben so für die Momentenpunkte  $G$  und  $\mathcal{J}$

$$0 = X_3 \cdot 1,8 \cos \alpha + (D_0 - 313) \cdot 6 - 156 \cdot 1,2 + 2 \cdot 312 \cdot 0,3 - 2 \cdot 626 \cdot 3, \text{ woraus } X_3 = -2916 \text{ kg;}$$

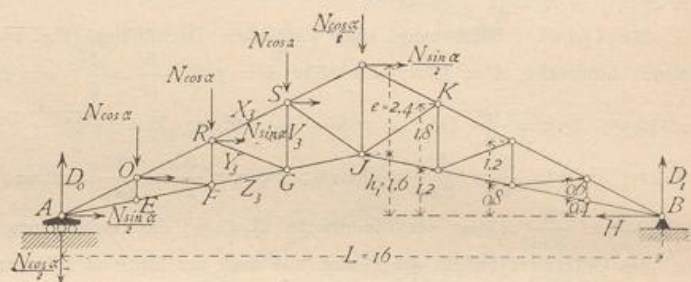
$$0 = X_4 \cdot 2,4 \cos \alpha + (D_0 - 313) \cdot 8 - 156 \cdot 1,6 + 3 \cdot 312 \cdot 0,4 - 3 \cdot 626 \cdot 4, \text{ woraus } X_4 = -1806 \text{ kg.}$$

Die Momentengleichung für den Punkt  $\mathcal{J}$  heißt, wenn das Bruchstück rechts von dem durch den Stab  $\mathcal{J}K$  gelegten lothrechten Schnitte betrachtet wird,

$$0 = H \cdot 1,6 - D_1 \cdot 8 - X_5 \cdot 2,4 \cos \alpha, \text{ woraus } X_5 = -1982 \text{ kg.}$$

Dieselbe Spannung findet in sämtlichen Stäben der oberen Gurtung rechts der Mitte statt (vergl. Art. 222, S. 224).

Fig. 294.



In ähnlicher Weise erhält man für die untere Gurtung:

$$0 = (D_0 - 313) 2 - 156 \cdot 1 - Z_1 \cdot 0,6 \cos \beta, \text{ woraus } Z_1 = 4527 \text{ kg} = Z_2;$$

$$0 = (D_0 - 313) 4 - 156 \cdot 2 - 626 \cdot 2 - 312 \cdot 1 - Z_3 \cdot 1,2 \cos \beta, \text{ woraus } Z_3 = 3197 \text{ kg};$$

$$0 = (D_0 - 313) 6 - 156 \cdot 3 - 2 \cdot 626 \cdot 3 - 2 \cdot 312 \cdot 1,5 - Z_4 \cdot 1,8 \cos \beta, \text{ woraus } Z_4 = 1857 \text{ kg}.$$

Betrachtet man wieder das Bruchstück rechts von dem durch den Stab  $\mathcal{F}K$  gelegten lothrechten Schnitte, so heisst die Momentengleichung für Punkt  $K$

$$0 = H \cdot 3 - D_1 \cdot 6 + Z_5 \cdot 1,8 \cos \beta, \text{ woraus } Z_5 = 537 \text{ kg}.$$

Eben so groß ist die Spannung in sämtlichen Stäben der unteren Gurtung rechts der Mitte (vergl. Art. 222, S. 225).

Um die Spannungen in den Diagonalen zu bestimmen, sind die Hebelsarme dieser Spannungen für den Punkt  $A$ , welcher für alle Diagonalen links der Mitte Momentenpunkt ist, konstruiert. Man erhält  $y_2 = 1,17 \text{ m}$ ,  $y_3 = 3,3 \text{ m}$  und  $y_4 = 5,8 \text{ m}$ .

Die Spannungen ergeben sich aus den Momentengleichungen, wie folgt:

$$0 = Y_2 \cdot 1,17 + 626 \cdot 2 + 312 \cdot 1, \text{ woraus } Y_2 = -1337 \text{ kg};$$

$$0 = Y_3 \cdot 3,3 + 2 \cdot 626 \cdot 3 + 2 \cdot 312 \cdot 1,5, \text{ woraus } Y_3 = -1422 \text{ kg};$$

$$0 = Y_4 \cdot 5,8 + 626 \cdot 3 \cdot 4 + 3 \cdot 312 \cdot 2, \text{ woraus } Y_4 = -1618 \text{ kg}.$$

Die Spannungen in den Diagonalen rechts der Mitte sind gleich Null (vergl. Art. 222, S. 225).

Für die Spannungen aller Pfosten links der Mitte ist  $A$  der Momentenpunkt; man erhält:

$$0 = 626 \cdot 2 + 312 \cdot 1 - V_2 \cdot 4, \text{ woraus } V_2 = +391 \text{ kg};$$

$$0 = 2 \cdot 626 \cdot 3 + 2 \cdot 312 \cdot 1,5 - V_3 \cdot 6, \text{ woraus } V_3 = +782 \text{ kg}.$$

Für die Ermittlung der Spannung im Mittelpfosten (Fig. 295) ist die Summe der lothrechten Kräfte im Firfknutenpunkt gleich Null zu setzen; sonach

$$0 = V_4 + 313 + (X_4 + X_5) \sin \alpha = V_4 + 313 - (1806 + 1982) 0,447, \text{ woraus } V_4 = 1380 \text{ kg}.$$

Die Spannungen in den Pfosten rechts der Mitte sind gleich Null (vergl. Art. 222, S. 225).

Fig. 295.

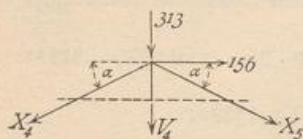
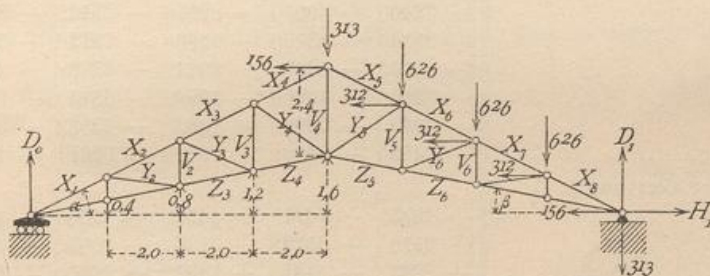


Fig. 296.



7) Spannungen durch Windbelastung von der Seite des festen Auflagers (Fig. 296). Die Belastungen der einzelnen Knotenpunkte der rechten Hälfte sind eben so groß, wie diejenigen der linken Knotenpunkte unter  $\beta$  waren. Wir erhalten

$$D_0 = \frac{(3 \cdot 626 + 2 \cdot 313) 4 + (3 \cdot 312 + 2 \cdot 156) 2}{16} = 782 \text{ kg},$$

$$D_1 = \frac{(3 \cdot 626 + 2 \cdot 313) 12 - (3 \cdot 312 + 2 \cdot 156) 2}{16} = 1722 \text{ kg},$$

$$H_1 = 3 \cdot 312 + 2 \cdot 156 = 1248 \text{ kg}.$$

In der oberen Gurtung findet man

$$0 = X_1 \cdot 0,6 \cos \alpha + D_0 \cdot 2, \text{ woraus } X_1 = -\frac{782 \cdot 2}{0,537} = -2912 \text{ kg}.$$

Derselbe Werth ergibt sich nach Art. 222 (S. 225) für  $X_2$ ,  $X_3$  und  $X_4$ . Weiters ist

$$0 = X_5 \cdot 2,4 \cos \alpha + D_0 \cdot 8 - 156 \cdot 2,4, \text{ woraus } X_5 = -2738 \text{ kg};$$

$$0 = X_6 \cdot 1,8 \cos \alpha + (D_1 - 313) 6 + (H_1 - 156) 1,2 + 2 \cdot 312 \cdot 0,3 - 2 \cdot 626 \cdot 3, \text{ woraus } X_6 = -3845 \text{ kg};$$

$$0 = X_7 \cdot 1,2 \cos \alpha + (D_1 - 313) 4 + (H_1 - 156) 0,8 + 312 \cdot 0,2 - 626 \cdot 2, \text{ woraus } X_7 = -4953 \text{ kg};$$

$$0 = X_8 \cdot 0,6 \cos \alpha + (D_1 - 313) 2 + (H_1 - 156) 0,4, \text{ woraus } X_8 = -6061 \text{ kg}.$$

In der unteren Gurtung ergibt sich

$$0 = Z_1 \cdot 0,6 \cos \beta - D_0 \cdot 2, \text{ woraus } Z_1 = 2660 \text{ kg}.$$



Dieselbe Größe haben  $Z_2$ ,  $Z_3$  und  $Z_4$ . Weiters findet man

$$0 = (D_1 - 313) 6 + (H_1 - 156) 3 - 2 \cdot 626 \cdot 3 - 2 \cdot 312 \cdot 1,5 - Z_5 \cdot 1,8 \cos \beta, \text{ woraus } Z_5 = + 3990 \text{ kg;}$$

$$0 = (D_1 - 313) 4 + (H_1 - 156) 2 - 626 \cdot 2 - 312 \cdot 1 - Z_6 \cdot 1,2 \cos \beta, \text{ woraus } Z_6 = + 5320 \text{ kg;}$$

$$0 = (D_1 - 313) 2 + (H_1 - 156) 1 - Z_7 \cdot 0,6 \cos \beta, \text{ woraus } Z_7 = + 6650 \text{ kg.}$$

Die Hebelsarme für die Ermittlung der Spannungen in den Diagonalen sind oben angegeben; hiernach findet statt

$$0 = Y_7 \cdot y_2 + 312 \cdot 1 + 626 \cdot 2, \text{ woraus } Y_7 = - 1337 \text{ kg;}$$

$$0 = Y_6 \cdot y_3 + 2 \cdot 312 \cdot 1,5 + 2 \cdot 626 \cdot 3, \text{ woraus } Y_6 = - 1422 \text{ kg;}$$

$$0 = Y_5 \cdot y_4 + 3 \cdot 312 \cdot 2 + 3 \cdot 626 \cdot 4, \text{ woraus } Y_5 = - 1618 \text{ kg.}$$

Die Spannungen in den übrigen Diagonalen sind gleich Null.

In den Pfosten sind die Spannungen  $V_1$ ,  $V_2$  und  $V_3$  gleich Null;  $V_4$  wird durch die Aufstellung der Gleichgewichtsbedingung erhalten, welche befagt, das die algebraische Summe der lothrechten, am Firstknotenpunkte wirkenden Kräfte gleich Null sein mufs, d. h. aus

$$0 = V_4 + 313 + X_4 \sin \alpha + X_5 \sin \alpha = V_4 + 313 - (2912 + 2738) \cdot 0,447 \text{ wird } V_4 = 2212 \text{ kg.}$$

Ferner ist

$$0 = V_5 \cdot 6 - 2 \cdot 626 \cdot 3 - 2 \cdot 312 \cdot 1,5, \text{ woraus } V_5 = 782 \text{ kg;}$$

$$0 = V_6 \cdot 4 - 626 \cdot 2 - 312 \cdot 1, \text{ woraus } V_6 = 391 \text{ kg.}$$

2) Zusammenstellung der Stabspannungen. Für die Querschnittsbestimmungen sind die gefundenen Spannungen in nachfolgender Tabelle zusammengestellt.

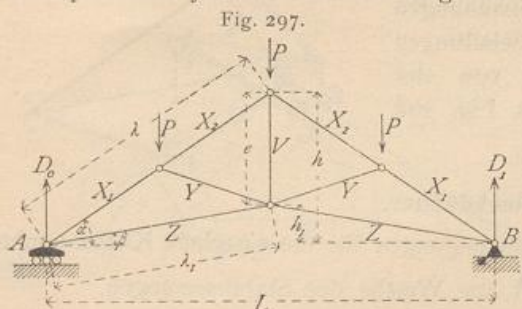
Bezeichnung des Stabes	Spannung durch				$P_0$	$P_1$
	Eigen-gewicht	Schneelast (voll be-lastet)	Wind links	Wind rechts		
Obere Gurtung:						
Stab Nr. 1 . . . . .	- 4480	- 8400	- 5132	- 2912	- 4480	- 13522
" " 2 . . . . .	- 3840	- 7200	- 4023	- 2912	- 3840	- 11223
" " 3 . . . . .	- 3200	- 6000	- 2916	- 2912	- 3200	- 8916
" " 4 . . . . .	- 2560	- 4800	- 1806	- 2912	- 2560	- 7712
" " 5 . . . . .	- 2560	- 4800	- 1982	- 2738	- 2560	- 7538
" " 6 . . . . .	- 3200	- 6000	- 1982	- 3845	- 3200	- 9845
" " 7 . . . . .	- 3840	- 7200	- 1982	- 4953	- 3840	- 12153
" " 8 . . . . .	- 4480	- 8400	- 1982	- 6061	- 4480	- 14461
Untere Gurtung:						
Stab Nr. 1 u. 2 . . . . .	+ 4095	+ 7677	+ 4527	+ 2660	+ 4095	+ 12204
" " 3 . . . . .	+ 3510	+ 6579	+ 3197	+ 2660	+ 3510	+ 9776
" " 4 . . . . .	+ 2925	+ 5481	+ 1857	+ 2660	+ 2925	+ 8141
" " 5 . . . . .	+ 2925	+ 5481	+ 537	+ 3990	+ 2925	+ 9471
" " 6 . . . . .	+ 3510	+ 6579	+ 537	+ 5320	+ 3510	+ 11899
" " 7 u. 8 . . . . .	+ 4095	+ 7677	+ 537	+ 6650	+ 4095	+ 14327
Diagonalen:						
im Felde 2 . . . . .	- 575	- 1079	- 1337	0	- 575	- 2416
" " 3 . . . . .	- 616	- 1155	- 1422	0	- 616	- 2577
" " 4 . . . . .	- 698	- 1310	- 1618	0	- 698	- 2928
" " 5 . . . . .	- 698	- 1310	0	- 1618	- 698	- 2928
" " 6 . . . . .	- 616	- 1155	0	- 1422	- 616	- 2577
" " 7 . . . . .	- 575	- 1079	0	- 1337	- 575	- 2416
Pfosten:						
zwischen Feld 2 u. 3 . . . . .	+ 172	+ 323	+ 391	0	+ 172	+ 714
" " 3 u. 4 . . . . .	+ 344	+ 645	+ 782	0	+ 344	+ 1427
Mittelpfosten . . . . .	+ 1950	+ 3657	+ 1380	+ 2212	+ 1950	+ 5869
zwischen Feld 5 u. 6 . . . . .	+ 344	+ 645	0	+ 782	+ 344	+ 1427
" " 6 u. 7 . . . . .	+ 172	+ 323	0	+ 391	+ 172	+ 714

Kilogramm

b) Deutsche Dachstuhl.

Der deutsche Dachstuhl kann als ein englischer Dachstuhl mit nur einem Knotenpunkt in jeder Dachhälfte aufgefasst werden (Fig. 297); man wird demnach

224.  
Ermittlung  
der  
Spannungen.



die in demselben durch Eigenlast und volle Schneelast entstehenden Spannungen aus den Formeln für den englischen Dachstuhl ableiten können.

Für die obere Gurtung ist in die Gleichungen 307 u. 308 statt  $2n$  die Zahl 4 einzufsetzen und für  $m$  der Reihe nach 1 und 2; alsdann erhält man

$$\left. \begin{aligned} X_1 &= -\frac{3P}{2 \cos \alpha (\operatorname{tg} \alpha - \operatorname{tg} \beta)} = -\frac{3P\lambda}{2e} \\ X_2 &= -\frac{P}{\cos \alpha (\operatorname{tg} \alpha - \operatorname{tg} \beta)} = -\frac{P\lambda}{e} \end{aligned} \right\} \dots \dots \dots 319.$$

Die allgemeine Gleichung 309, bezw. 310 für die untere Gurtung gilt nicht für  $m = 1$  (siehe Art. 217, S. 219). Für  $m = 2$  und  $2n = 4$  übergeht Gleichung 309, bezw. 310 in

$$Z = \frac{3P}{2 \cos \beta (\operatorname{tg} \alpha - \operatorname{tg} \beta)} \quad \text{und} \quad Z = \frac{3P\lambda_1}{2e} \dots \dots \dots 320.$$

Für die Diagonalen giebt die Gleichung 313 für  $m = 2$

$$Y = -\frac{P}{4e} \sqrt{L^2 + 4(2e - h)^2} \dots \dots \dots 321.$$

Für den Pfosten ist Gleichung 315 anzuwenden, und es ergibt sich für  $n = 2$

$$V = P \left( \frac{2 \operatorname{tg} \alpha}{\operatorname{tg} \alpha - \operatorname{tg} \beta} - 1 \right) = P \left( 2 \frac{2h}{2h - 2h_1} - 1 \right) = P \frac{h + h_1}{e} \dots \dots \dots 322.$$

Fig. 298.

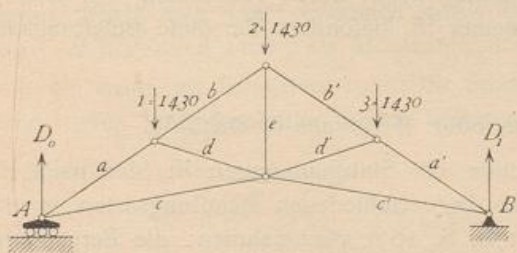


Fig. 299.

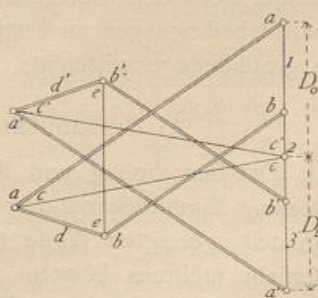


Fig. 300.

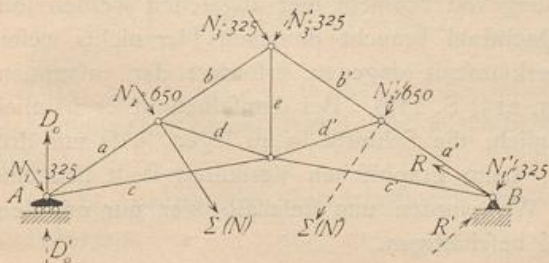
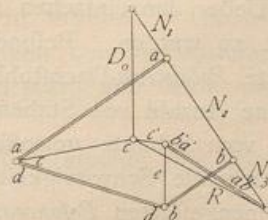


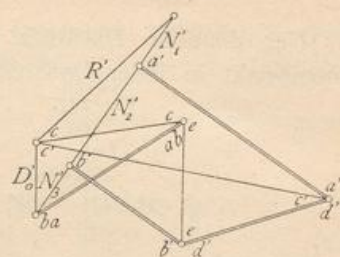
Fig. 301.



Für schiefe Belastungen durch Winddruck sind die Spannungen, wie beim englischen Dachstuhl gezeigt, zu ermitteln.

Die graphische Ermittlung der Spannungen im deutschen Dachstuhl für die Belastungen durch Eigengewicht und Winddruck von der einen, bzw. der anderen Seite zeigen Fig. 298 bis 302.

Fig. 302.



c) Dreieckdächer.

225.  
Ermittlung  
der  
Spannungen.

Die Aufstellung der Gleichgewichtsbedingungen für die einzelnen Knotenpunkte ergibt (Fig. 303), da  $D_0 = D_1 = \frac{P}{2}$  ist, die Werthe der Stabspannungen.

Es ist  $0 = X \cos \alpha + Z \cos \beta$  und  $0 = D_0 + X \sin \alpha + Z \sin \beta$ , woraus

$$\left. \begin{aligned} X &= -\frac{P}{2 \cos \alpha (\operatorname{tg} \alpha - \operatorname{tg} \beta)} = -\frac{P \lambda}{2 e} \\ Z &= +\frac{P}{2 \cos \beta (\operatorname{tg} \alpha - \operatorname{tg} \beta)} = \frac{P \lambda_1}{2 e} \end{aligned} \right\} \cdot 323.$$

Sowohl  $X$ , wie  $Z$  nehmen mit wachsendem  $e$  ab; für den Materialverbrauch ist also ein möglichst großes  $e$  günstig.

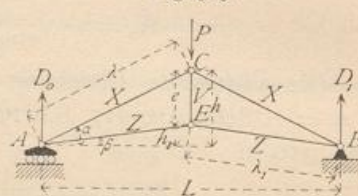
Ferner ist  $P + V + 2 X \sin \alpha = 0$ , woraus

$$V = P \frac{\operatorname{tg} \beta}{\operatorname{tg} \alpha - \operatorname{tg} \beta} = \frac{P h_1}{h - h_1} = \frac{P h_1}{e} \dots \dots \dots 324.$$

So lange  $h_1$  positiv ist, d. h.  $E$  über der Wagrechten  $AB$  liegt, ist auch  $V$  positiv, d. h. Zug; für  $h_1 = 0$  ist auch  $V = 0$ , d. h. wenn  $AEB$  eine gerade Linie ist, hat die Stange  $CE$  keine Spannung; wird  $h_1$  negativ, d. h. liegt  $E$  unter der Linie  $AB$ , so ist  $V$  negativ, d. h. Druck.

Die Spannungen durch Windbelastung sind, wie beim englischen Dachstuhl gezeigt, vermittels der Ritter'schen Methode, bzw. durch Aufstellung der Gleichgewichtsbedingungen zu ermitteln. Bequemer ist, besonders für diese Belastungsart, die graphische Ermittlung.

Fig. 303.



d) Französische, Polonceau- oder Wiegmann-Dachstühle.

226.  
Einfacher  
Polonceau-  
Dachstuhl.

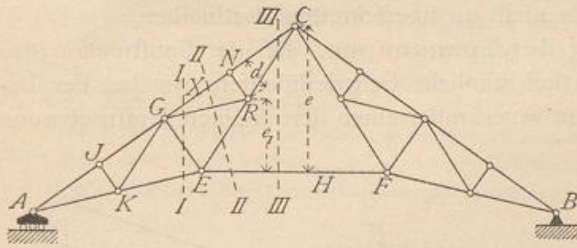
Die Berechnung und die Construction der Stabspannungen ist hier nach Ermittlung sämtlicher äußerer Kräfte für die verschiedenen Belastungsarten in der allgemein gezeigten Weise (siehe Art. 170, S. 169) vorzunehmen; die Berechnung geschieht meistens bequem vermittels der Momentenmethode, die graphische Ermittlung nach Cremona. Die Formeln für die einzelnen Stabspannungen werden nicht einfach, so das von der Aufstellung von Formeln hier abgesehen werden soll.

227.  
Zusammen-  
gesetzter  
Polonceau-  
Dachstuhl.

Ueber den einfachen Polonceau-Dachstuhl braucht demnach hier nichts weiter gefagt zu werden. Besondere Aufmerksamkeit dagegen erfordert der zusammengesetzte Polonceau-Dachstuhl (siehe Art. 215, S. 217). Bei demselben ist es nämlich für eine Anzahl von Stäben nicht möglich, die Schnitte so zu legen, das nur drei Stäbe vom Schnitte getroffen werden; beim graphischen Verfahren stellt sich eine entsprechende Schwierigkeit heraus. Wir werden uns deshalb hier nur mit dem zusammengesetzten Polonceau-Dachstuhl beschäftigen.

1) Berechnung der Spannungen. Bei der Momentenmethode ist der Momentenpunkt  $fo$  zu wählen, daß für denselben alle unbekanntene Kräfte mit Ausnahme einer einzigen das Moment Null haben, mithin nur eine Unbekannte in der Gleichung verbleibt. Ist es möglich, den Schnitt  $fo$  zu legen, daß mit Ausnahme einer einzigen sämtliche Stabrichtungen sich in einem Punkte schneiden, so ist dieser Punkt als Momentenpunkt für die Ermittlung der Spannungen in demjenigen Stabe zu wählen, der nicht durch diesen Punkt geht. Trifft aber

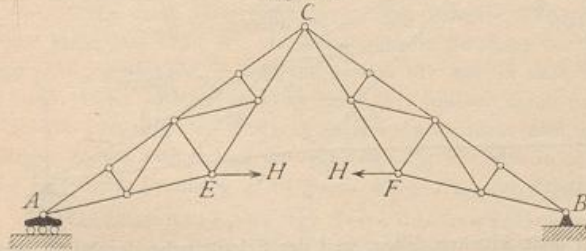
Fig. 304.



der Schnitt vier oder mehr Stäbe, von welchen sich nicht alle mit Ausnahme eines einzigen in einem Punkte schneiden, so muß man eine Reihe von Stabspannungen vorher bestimmen, um diese nicht mehr als Unbekannte in der Momentengleichung zu haben. Man ermittle also zunächst die Spannungen jener Stäbe, bei denen Schnitte möglich sind, die nur drei Stäbe treffen; diese Spannungen werden dann als Bekannte eingeführt, und in den Momentengleichungen bleiben nur noch die gesuchten Unbekannten. Um z. B. die Spannungen in  $GN$ ,  $GR$ ,  $RE$  und  $EF$ , welche Stäbe durch den Schnitt  $II II$  getroffen werden, zu finden, ermittle man zunächst diejenige in  $EF$ . Man schneide nach  $III III$ ; alsdann ist für  $EF$  der Firstpunkt  $C$  der Momentenpunkt und demnach die Spannung  $H$  in  $EF$  leicht zu finden. Es ist  $H = \frac{M}{e}$ , wenn  $M$  das Biegemoment der äußeren Kräfte für  $C$  ist. Nun sind für den Schnitt  $II II$  nur noch drei Unbekannte vorhanden. Um die Spannung  $X$  in  $GN$  zu bestimmen, dient die Momentengleichung für Punkt  $R$ , in welcher nur  $X$  als Unbekannte verbleibt; für die Spannung in  $GR$  ist  $C$ , für diejenige in  $RE$  ist  $G$  der conjugirte Punkt. Nachdem diese Spannungen ermittelt sind, ist für Schnitt  $II II$  nur noch die Spannung in  $GE$  unbekannt, da auch diejenige in  $KE$  leicht gefunden wird; man kann demnach einen beliebigen, nicht auf der Richtungslinie von  $GE$  liegenden Punkt als Momentenpunkt annehmen.

Es empfiehlt sich, stets zuerst die Spannung  $H$  im Stabe  $EF$  zu ermitteln und dann diesen Stab durch die beiden äußeren Kräfte  $H$  in  $E$  und  $F$  (nach Fig. 305)

Fig. 305.



zu ersetzen. Natürlich sind für jede geänderte Belastung andere Werthe für  $H$  auszurechnen und einzuführen; alsdann werden nur noch drei Stäbe mit unbekanntene Spannungen getroffen, so daß sich die Momentenpunkte leicht ergeben. Die Schnitte können beliebig krumm sein; das allgemeine Gesetz (vergl. Art. 4, S. 6) bleibt dabei gültig und damit auch das Verfahren.

Die vorstehenden Entwicklungen gelten sowohl für lothrechte, wie für schiefe Belastungen.

Es ist möglich, den Schnitt  $fo$  zu legen, daß mit Ausnahme einer einzigen sämtliche Stabrichtungen sich in einem Punkte schneiden, so ist dieser Punkt als Momentenpunkt für die Ermittlung der Spannungen in demjenigen Stabe zu wählen, der nicht durch diesen Punkt geht. Trifft aber

der Schnitt vier oder mehr Stäbe, von welchen sich nicht alle mit Ausnahme eines einzigen in einem Punkte schneiden, so muß man eine Reihe von Stabspannungen vorher bestimmen, um diese nicht mehr als Unbekannte in der Momentengleichung zu haben. Man ermittle also zunächst die Spannungen jener Stäbe, bei denen Schnitte möglich sind, die nur drei Stäbe treffen; diese Spannungen werden dann als Bekannte eingeführt, und in den Momentengleichungen bleiben nur noch die gesuchten Unbekannten. Um z. B. die Spannungen in  $GN$ ,  $GR$ ,  $RE$  und  $EF$ , welche Stäbe durch den Schnitt  $II II$  getroffen werden, zu finden, ermittle man zunächst diejenige in  $EF$ . Man schneide nach  $III III$ ; alsdann ist für  $EF$  der Firstpunkt  $C$  der Momentenpunkt und demnach die Spannung  $H$  in  $EF$  leicht zu finden. Es ist  $H = \frac{M}{e}$ , wenn  $M$  das Biegemoment der äußeren Kräfte für  $C$  ist. Nun sind für den Schnitt  $II II$  nur noch drei Unbekannte vorhanden. Um die Spannung  $X$  in  $GN$  zu bestimmen, dient die Momentengleichung für Punkt  $R$ , in welcher nur  $X$  als Unbekannte verbleibt; für die Spannung in  $GR$  ist  $C$ , für diejenige in  $RE$  ist  $G$  der conjugirte Punkt. Nachdem diese Spannungen ermittelt sind, ist für Schnitt  $II II$  nur noch die Spannung in  $GE$  unbekannt, da auch diejenige in  $KE$  leicht gefunden wird; man kann demnach einen beliebigen, nicht auf der Richtungslinie von  $GE$  liegenden Punkt als Momentenpunkt annehmen.

Es empfiehlt sich, stets zuerst die Spannung  $H$  im Stabe  $EF$  zu ermitteln und dann diesen Stab durch die beiden äußeren Kräfte  $H$  in  $E$  und  $F$  (nach Fig. 305)

zu ersetzen. Natürlich sind für jede geänderte Belastung andere Werthe für  $H$  auszurechnen und einzuführen; alsdann werden nur noch drei Stäbe mit unbekanntene Spannungen getroffen, so daß sich die Momentenpunkte leicht ergeben. Die Schnitte können beliebig krumm sein;

das allgemeine Gesetz (vergl. Art. 4, S. 6) bleibt dabei gültig und damit auch das Verfahren.

Die vorstehenden Entwicklungen gelten sowohl für lothrechte, wie für schiefe Belastungen.

Bei lothrechten Belastungen ergeben sich ferner die vollen Belastungen des ganzen Binders wiederum als die ungünstigsten; für die Diagonalen allerdings in demselben Sinne, wie oben beim englischen Dache nachgewiesen, nämlich dafs bei voller Belastung auch diejenigen Punkte belastet sind, deren Belastung in den Diagonalen die Spannung Null erzeugt. Der Nachweis ist leicht zu führen, soll aber hier, um den verfügbaren Raum nicht zu überschreiten, fortbleiben.

2) Graphische Ermittlung der Spannungen. Bei der Construction des Cremona'schen Kräfteplanes ergeben sich ähnliche Schwierigkeiten, wie bei der Berechnung. Wenn man nämlich beim Aneinanderreihen der kleinen Kraftpolygone bis zum Knotenpunkt *E*

(Fig. 306) gekommen ist, so sind an diesem drei Stäbe mit nicht bekannten Spannungen; das Verfahren ist also nicht ohne Weiteres anwendbar. Die Schwierigkeit wird, ganz wie oben, dadurch beseitigt, dafs man zuerst die Spannung *H* des Stabes

*EF* bestimmt und dieselbe als in *E*, bezw. *F* wirkende äufserer Kraft einführt. Dadurch erreicht man auch, dafs die Stäbe zwischen *E* und *C*, so wie zwischen *C* und *F* zu Randstäben werden. Bevor demnach für den zusammengesetzten Polonceau-Dachstuhl der Kräfteplan gezeichnet werden kann, ist *H* zu ermitteln. Diese Ermittlung erfolgt entweder auf dem Wege der Rechnung, wie oben gezeigt, oder auch, wenn doch alles Uebrige construirt wird, mittels Zeichnung. Wir werden das einzuschlagende Verfahren für die verschiedenen Belastungsarten zeigen.

α) Belastung durch das Eigengewicht, bezw. volle Schneelast. Man kann *H* mittels der Schnittmethode bestimmen, indem man das Seilpolygon der äufseren Kräfte für einen beliebigen Pol construirt, einen Schnitt so durch den Träger legt, dafs aufser *EF* nur noch zwei Stäbe getroffen werden, den Angriffspunkt der Querkraft für diesen Schnitt sucht und nun, wie oben in Art. 175 (S. 171)

Fig. 306.

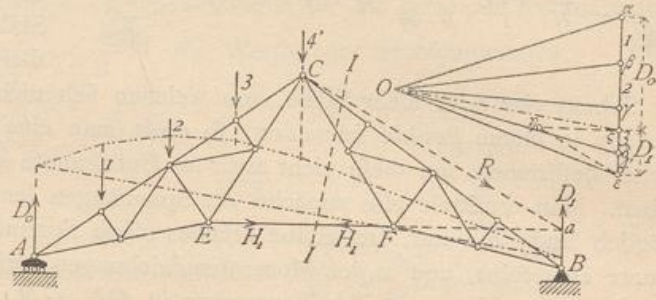
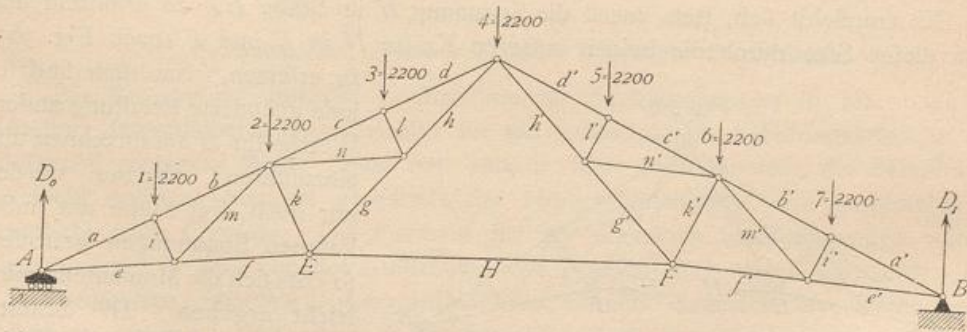


Fig. 307.



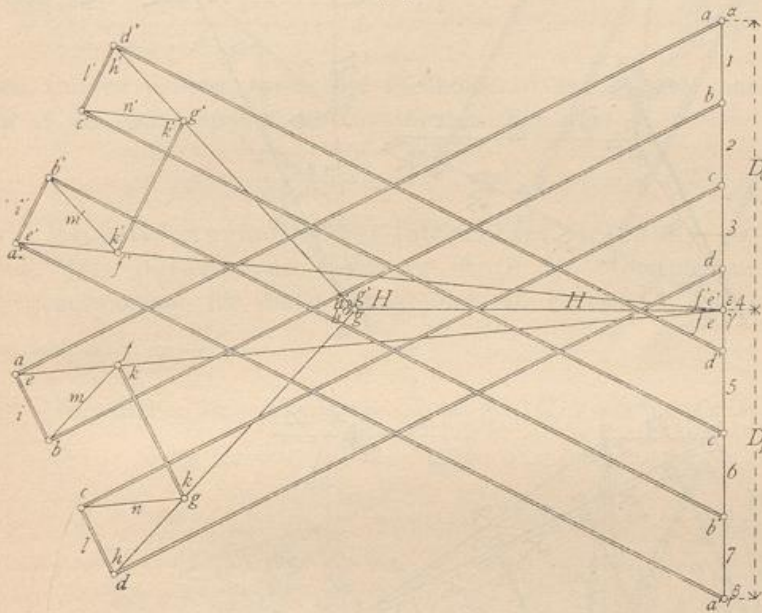
gezeigt, zerlegt. Die Kraft *Q* wird dann sehr weit seitwärts fallen, weil der Schnitt nahe der Mitte liegt, und wenn man sich auch durch Hilfsconstructionen helfen kann, so dürfte doch die folgende Construction empfehlenswerther sein.

Die Spannung *H* im Stabe *EF* (Fig. 306) ist bei voller Belastung (und der hier vorausgesetzten zur Mitte symmetrischen Dachform) offenbar genau doppelt so groß, als die Spannung *H*<sub>1</sub>, welche in *EF* bei Belastung nur der einen Dachhälfte stattfindet. Die Größe dieser Spannung *H*<sub>1</sub> wird nun folgender-

maßen ermittelt. Man legt einen Schnitt  $II$  durch das Dach derart, daß an der einen (hier der rechten) Seite desselben gar keine Lasten liegen; alsdann wirken auf den Theil rechts vom Schnitte nur die Spannungen der drei durchschnittenen Stäbe und der Auflagerdruck  $D_1$ . Zwei von diesen Stäben schneiden sich im Firstpunkte; die in ihnen wirkenden Spannungen können also durch eine Mittelkraft  $R$  ersetzt werden, welche durch den Firstpunkt  $C$  geht; demnach halten die drei auf das Bruchstück wirkenden Kräfte  $D_1$ ,  $H_1$  und die Mittelkraft  $R$  der beiden Stabspannungen dasselbe im Gleichgewicht, schneiden sich also in einem Punkte. Durch den Schnittpunkt  $a$  von  $H_1$  und  $D_1$  geht also auch  $R$ ;  $R$  geht aber auch durch  $C$ ; die Kraft  $R$  hat demnach die Richtung  $Ca$ . Nun können wir  $D_1$  nach den beiden bekannten Richtungen von  $H_1$  und  $R$  zerlegen;  $D_1$  wird mit Hilfe des Seilpolygons construirt und ist (Fig. 306) gleich  $\varepsilon \zeta$ . Man erhält  $H_1 = \zeta \eta$  und  $R = \eta \varepsilon$ .

Die Kraft  $H$ , welche der Belastung des ganzen Daches entspricht, ist dann gleich  $2 \times \zeta \eta$ . Es bedarf wohl kaum der Erwähnung, daß in obiger Construction als Belastung des Firstknotenpunktes nur die Hälfte der anderen Knotenpunktsbelastungen einzuführen ist. Die Last im Firstknotenpunkte ist deshalb hier mit  $4'$  bezeichnet.

Fig. 308.



Der Kräfteplan

ist nun zu construiren, indem statt des Stabes  $EF$  die äußeren Kräfte  $H$  in den Punkten  $E$  und  $F$  wirkend eingeführt werden. Man trage die Lasten  $1, 2, \dots, 6, 7$  an einander (Fig. 308); auf 7 folgt  $D_1 = \beta \gamma$ , dann die Kraft  $H$  im Punkte  $F$  gleich  $\gamma \delta$  und  $H$  im Punkte  $E$  gleich  $\delta \varepsilon$ ;  $\varepsilon$  fällt mit  $\gamma$  zusammen. Endlich ist an  $\varepsilon$  der Auflagerdruck  $D_0 = \gamma \alpha$  anzutragen, womit sich das Kraftpolygon schließt. Nun ist der Kräfteplan nach dem

in Art. 176 (S. 172) angegebenen Verfahren in Fig. 308 construirt, wobei vom Knotenpunkt  $A$  ausgegangen ist.

Für die Belastung nur der einen Dachhälfte mit Schnee ist  $H_1$ , wie oben gezeigt, zu ermitteln und alsdann der Kräfteplan ohne Schwierigkeit zu verzeichnen.

Wenn der Dachbinder unsymmetrisch ist, so kann das gezeigte Verfahren mit geringen Abänderungen gleichfalls Verwendung finden. Die Kraft  $H$  im Stabe  $EF$  ist die Summe der Spannungen  $H_I$  und  $H_{II}$ , welche durch links bzw. rechts vom Schnitte  $II$  liegende Lasten hervorgerufen werden. Man ermittle zuerst den Theil  $H_I$ , welcher durch die Belastung nur der Knotenpunkte links vom Schnitt  $II$  erzeugt wird, genau wie in Fig. 306 gezeigt ist; nur ist auch im Firstknotenpunkte die volle Belastung einzusetzen. Dann bestimme man den Theil  $H_{II}$ , welcher durch die Belastung nur der Knotenpunkte rechts vom Schnitt hervorgerufen wird; zu diesem Zweck suche man den durch diese Belastung erzeugten Auflagerdruck  $D_0$  auf und zerlege ihn, wie oben  $D_1$ , hier also in  $H_{II}$  und eine durch  $C$  gehende Kraft. Die in  $EF$  auftretende Spannung  $H$  ist gleich  $H_I + H_{II}$ ; der Kräfteplan kann nun leicht gezeichnet werden.

β) Windbelastung von der Seite des beweglichen Auflagers. Die Ermittlung der Auflagerdrücke wird, wie in Art. 208 (S. 208) gezeigt, vorgenommen; die Größe der Kraft  $H$  (im Stabe  $EF$ , Fig. 309) ergibt sich wieder durch Betrachtung des Trägertheiles an derjenigen Seite des Schnittes  $II$ , an welcher die Winddrücke nicht wirken. Nachdem sodann die  $H$  als äußere Kräfte eingeführt sind, ist der Kräfteplan in gewöhnlicher Weise zu zeichnen. Die Construction ist in Fig. 309 vorgenommen.

γ) Winddruck von der Seite des festen Auflagers. Fig. 310 zeigt die Construction des Kräfteplanes für diesen Fall; nach dem Vorstehenden ist er ohne besondere Erklärung verständlich.

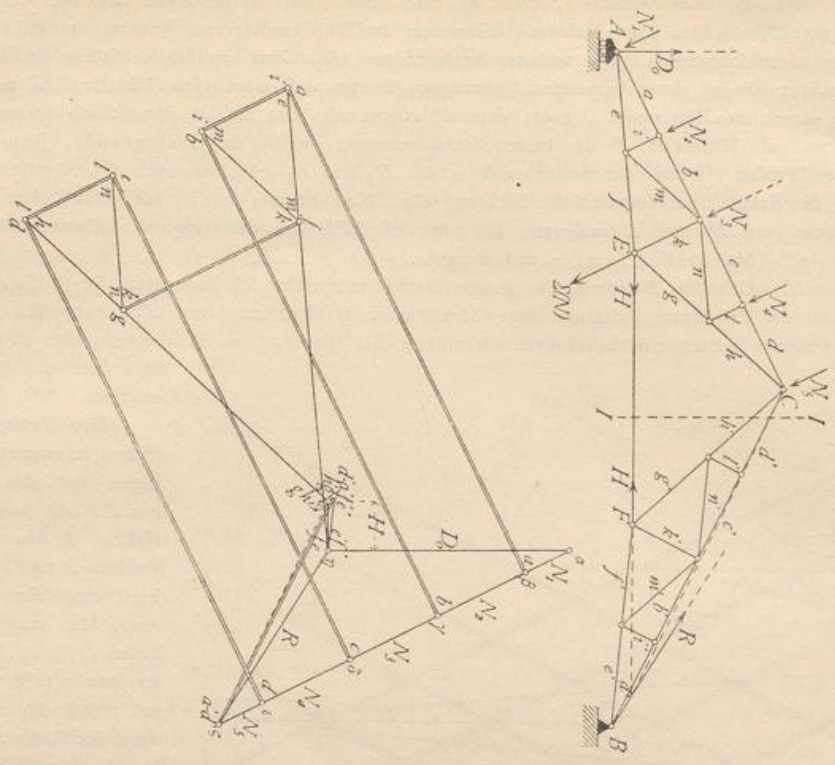


Fig. 309.

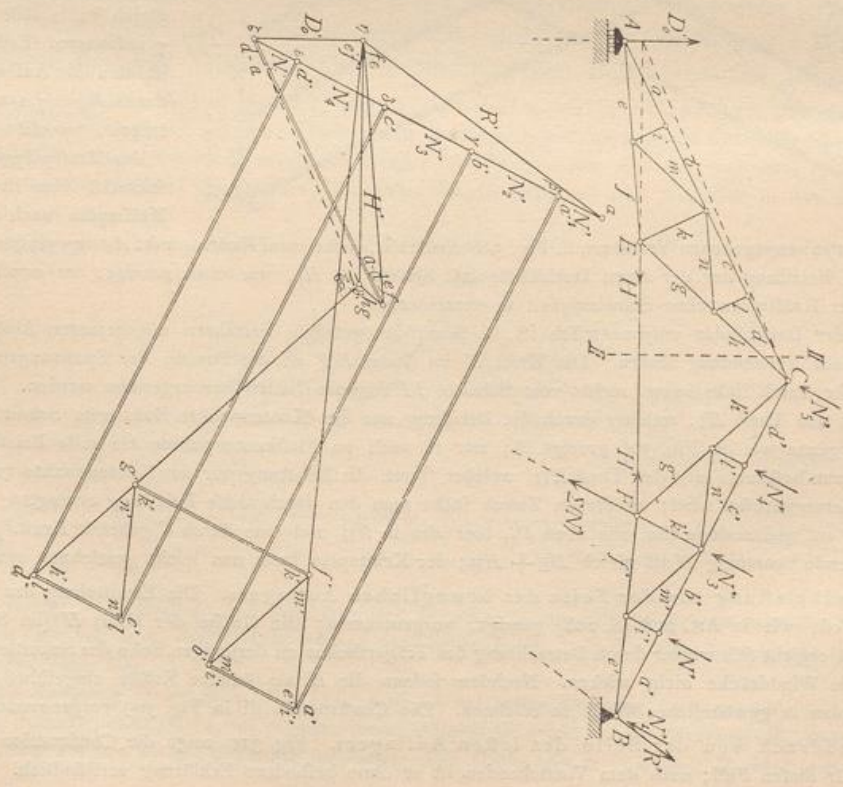


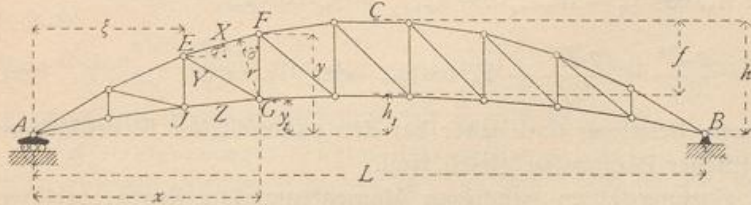
Fig. 310.

e) Sieldächer.

Die Gurtungen können bei den Sieldächern nach beliebigen krummen Linien geformt sein; gewöhnlich sind beide Gurtungen Vielecke, welche Parabeln oder Kreifen eingeschrieben sind. Die Bestimmung der Auflagerdrücke ist im Vorhergehenden gezeigt worden; die Stabspannungen ergeben sich durch Rechnung oder Construction ohne Schwierigkeit. Hier soll nur die Gefetzmäßigkeit der Spannungsänderungen für das parabolische Sieldach und für lothrechte Belastungen gezeigt werden.

228.  
Form  
der  
Dachbinder.

Fig. 311.



Die Gleichungen der beiden Curven heißen, wenn die Pfeilhöhen  $h$  und  $h_1$  sind, nach Art. 189 (S. 191) für  $A$  als Anfangspunkt der Coordinaten (Fig. 311)

$$y = \frac{4h}{L^2} (Lx - x^2) \quad \text{und} \quad y_1 = \frac{4h_1}{L^2} (Lx - x^2) \quad \dots \quad 325.$$

1) Stabspannungen bei lothrechter Belastung. a) Für den Stab  $EF$  (Fig. 311) der oberen Gurtung ist  $G$  der Momentenpunkt, und wenn das Biegemoment für diesen Punkt mit  $M_x$  bezeichnet wird, ist  $Xr + M_x = 0$ , woraus  $X = -\frac{M_x}{r}$ .

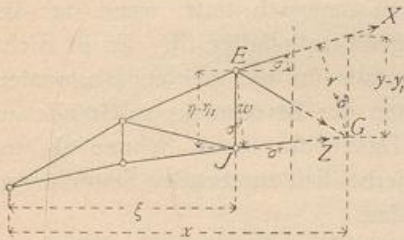
229.  
Ermittlung  
der  
Spannungen  
durch lothrechte  
Belastung.

Nun ist  $r = (y - y_1) \cos \sigma = \frac{4}{L^2} (h - h_1) (Lx - x^2) \cos \sigma = \frac{4}{L^2} f (Lx - x^2) \cos \sigma$ ;

Fig. 312.

also

$$X \cos \sigma = -\frac{M_x L^2}{4f (Lx - x^2)} \quad \dots \quad 326.$$



Für den Stab  $JG$  der unteren Gurtung (Fig. 312) ist  $E$  der Momentenpunkt, und wenn das Biegemoment für diesen Punkt mit  $M_\xi$  bezeichnet wird, so ist  $Z = \frac{M_\xi}{w}$ .

Nun ist

$$w = (\eta - \eta_1) \cos \sigma' = \frac{4}{L^2} f (L\xi - \xi^2) \cos \sigma',$$

d. h.

$$Z \cos \sigma' = \frac{M_\xi L^2}{4f (L\xi - \xi^2)} \quad \dots \quad 327.$$

Aus den Gleichungen 326 u. 327 folgt:

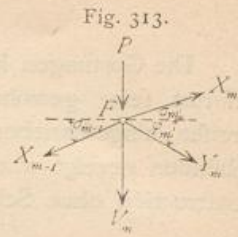
a) Für volle, gleichmäßig über die wagrechte Projection vertheilte Belastung  $p$  auf die Längeneinheit ist  $M_x = \frac{p}{2} (Lx - x^2)$  und  $M_\xi = \frac{p}{2} (L\xi - \xi^2)$ , also

$$X \cos \sigma = -\frac{p L^2}{8f} \quad \text{und} \quad Z \cos \sigma' = \frac{p L^2}{8f}, \quad \dots \quad 328.$$

d. h. die wagrechten Seitenkräfte der Gurtungsspannungen sind bei der angegebenen Belastungsart in beiden Gurtungen constant, und zwar gleich dem Größtmomente,



dividirt durch die Mittenhöhe der Sichel. Bei der Parabel sind innerhalb der Grenzen, welche bei den Dächern vorkommen,  $\cos \sigma$  und  $\cos \sigma'$  nahezu constant. Das soeben gefundene Ergebniss stimmt mit dem in Art. 190 (S. 191) für die Parabelträger ermittelten überein. Durch Aufstellung der Gleichgewichtsbedingung für einen Knotenpunkt der oberen Gurtung, etwa  $F$ , ergibt sich ferner (Fig. 313)



$$0 = X_m \cos \sigma_m - X_{m-1} \cos \sigma_{m-1} + Y_m \cos \varphi_m,$$

d. h.

$$0 = -\frac{p L^2}{8f} + \frac{p L^2}{8f} + Y_m \cos \varphi_m \text{ oder } Y_m = 0 \dots \dots \dots 329.$$

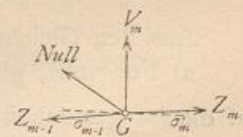
Für die angegebene Belaftung sind daher bei den parabolischen Sieldächern die Spannungen sämmtlicher Diagonalen gleich Null.

b) Alle zu den Gurtungsstäben gehörigen Momentenpunkte liegen zwischen den lothrechten Linien der Auflager  $A$  und  $B$  (Fig. 311); für alle diese Punkte sind die Biegemomente bei lothrechter Belaftung positiv (siehe Art. 156, S. 150); mithin erzeugt jede lothrechte Belaftung in den Stäben der oberen Gurtung Druck, in denjenigen der unteren Gurtung Zug. Größter Druck, bezw. Zug für lothrechte Belaftung wird demnach in allen Stäben bei voller Belaftung des ganzen Dachbinders stattfinden.

β) Für die Spannungen in den Diagonalen ergibt sich nach demselben Verfahren, welches in Art. 191 (S. 192) angewendet ist, um die Beanspruchungsart der Diagonalen des Parabelträgers zu ermitteln: Jede Belaftung zwischen dem durch eine Diagonale gelegten lothrechten Schnitte und jenem Auflager, nach welchem die Diagonale zu fällt, erzeugt Zug in derselben; jede Belaftung zwischen dem Schnitte und demjenigen Auflager, nach welchem die Diagonale steigt, erzeugt in derselben Druck. Größter Druck, bezw. Zug finden demnach statt, wenn nur die Druck-, bezw. Zugabtheilung der betreffenden Diagonalen belaftet ist. Es ist nicht nöthig, bei einem Dache diese verschiedenen, jedenfalls für die meisten Diagonalen überhaupt wohl nicht vorkommenden Belaftungsarten der Berechnung zu Grunde zu legen; es genügt eine Belaftung nur der einen Dachhälfte durch Schnee als ungünstigste lothrechte Belaftung einzuführen. Die hierbei sich ergebenden Spannungen sind mittels der Ritter'schen Methode leicht zu finden.

γ) Bezüglich der Spannungen in den Pfosten ergibt sich, wie oben, folgendes Gesetz: Größter Druck, bezw. Zug findet in einem Pfosten bei der Belaftung statt, welche in derjenigen Diagonalen den größten Zug, bezw. Druck erzeugt, die mit dem Pfosten in einem Knotenpunkt der nicht belafteten Gurtung zusammentrifft. Auch hier genügt es, als zufällige lothrechte Belaftungen nur die Belaftung des ganzen Daches und diejenige der einen Dachhälfte anzunehmen.

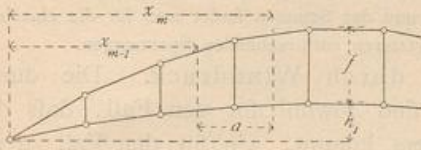
Fig. 314.



Bei Belaftung des ganzen Dachbinders mit der gleichmäÙig über die wagrechte Projection vertheilten Belaftung  $p$  ergibt sich die Spannung aller Pfosten durch Aufstellung der Gleichgewichtsbedingung für einen Knotenpunkt der unteren Gurtung. Es ist (Fig. 314), da die Spannung in der Diagonalen alsdann gleich Null ist,

$$0 = V_m + Z_m \sin \sigma'_m - Z_{m-1} \sin \sigma'_{m-1} \quad \text{und} \quad 0 = V + \frac{p L^2}{8f} (\text{tg } \sigma'_m - \text{tg } \sigma'_{m-1}).$$

Fig. 315.



Wird (mit geringem Fehler) die Curve als stetig gekrümmt angesehen und werden die Richtungen der Stäbe als parallel zu den in den Mitten der unteren Gurtungsstäbe an die Parabel gelegten Tangenten eingeführt, so ist

$$\operatorname{tg} \sigma'_m = \frac{4 h_1}{L^2} (L - 2 x_m) \quad \text{und} \quad \operatorname{tg} \sigma'_{(m-1)} = \frac{4 h_1}{L^2} (L - 2 x_{m-1}),$$

folglich

$$0 = V + \frac{\rho L^2}{8 f} \frac{4 h_1}{L^2} 2 (x_{m-1} - x_m) = V - \frac{\rho h_1}{f} a, \quad \text{woraus} \quad V = \frac{\rho h_1 a}{f}. \quad 330.$$

$V$  nimmt ab, wenn  $h_1$  abnimmt; für  $h_1 = 0$  ist  $V = 0$ .

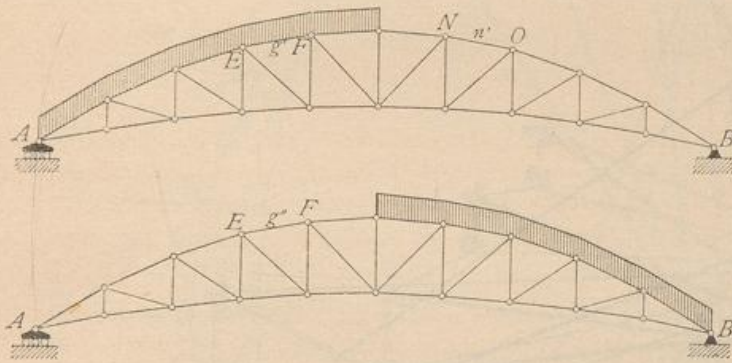
2) Stabspannungen bei einseitiger Schneebelastung. Bezüglich der Belastung durch einseitige Schneelast ist Folgendes zu beachten. Man braucht nicht für beide Belastungsarten, diejenige des ganzen Daches und diejenige der einen Dachhälfte, die Spannungen zu berechnen; vielmehr genügt für symmetrisch zur mittleren Lothrechten angeordnete Construction die Kenntniss der Spannungen bei einseitiger Belastung, um diejenigen zu erhalten, welche bei voller Belastung stattfinden, und gleichzeitig zu ermitteln, welche Belastungsart die gefährlichere ist. Die Belastung der linken Dachhälfte erzeugt etwa (Fig. 316) im Stabe  $EF$  die Spannung  $g'$ ; die Belastung der rechten Dachhälfte erzeugt in demselben Stabe die Spannung  $g''$ . Die volle Belastung hat offenbar im Stabe  $EF$  die Spannung  $g' + g''$  zur Folge. Liegt nun  $NO$  genau symmetrisch mit  $EF$ , so wird die Spannung  $n'$  in  $NO$  bei der ersteren Belastungsart genau so groß sein, wie  $g''$ . Es ist aber

$$g_{\text{total}} = g' + g'' = g' + n'.$$

Die durch die Belastung des ganzen Daches in einem Stabe entstehende Spannung ist also gleich der Summe derjenigen Spannungen, die durch Belastung der einen Dachhälfte in dem betrachteten Stabe und in dem symmetrisch zur Mitte liegenden Stabe entstehen. Wenn die symmetrisch zur Mitte liegenden Stäbe bei der Belastung einer Dachhälfte in gleichem Sinne beansprucht werden, also beide Zug oder beide Druck erhalten,

so ist die Summe dieser Spannungen größer, als jede einzelne, d. h. die volle Belastung des Daches ist ungünstiger, als die einseitige. Werden beide Stäbe in entgegengesetztem Sinne beansprucht, so ist die Summe beider kleiner, als die größere von beiden, demnach die einseitige Belastung als ungünstigere einzuführen. Dabei ist

Fig. 316.



zu beachten, dass in letzterem Falle beide Stabspannungen als ungünstige einzuführen sind, da nicht nur die Maximal-, sondern auch die Minimalspannungen von Wichtigkeit sind. Wenn ein Mittelfeld mit zwei sich kreuzenden Zugdiagonalen vorhanden ist, so gilt die vortehende Entwicklung ebenfalls; jedoch ist stets nur diejenige Diagonale des Mittelfeldes als vorhanden zu betrachten, welche bei der betreffenden Belastung Zug erleidet.

Was soeben vom Sieldach angegeben wurde, gilt selbstverständlich von jedem aus zwei symmetrischen Hälften zusammengesetzten Dachstuhl.

Falls der Binder nicht symmetrisch zur lothrechten, durch den Firft gelegten Linie angeordnet ist, so ermittle man nach einander die Spannungen, welche in sämtlichen Stäben durch einseitige Schneebelastung der links vom Firft gelegenen Dachseite hervorgerufen werden, sodann diejenigen, welche durch einseitige Schneebelastung der rechts vom Firft gelegenen Dachseite erzeugt werden. Die durch volle

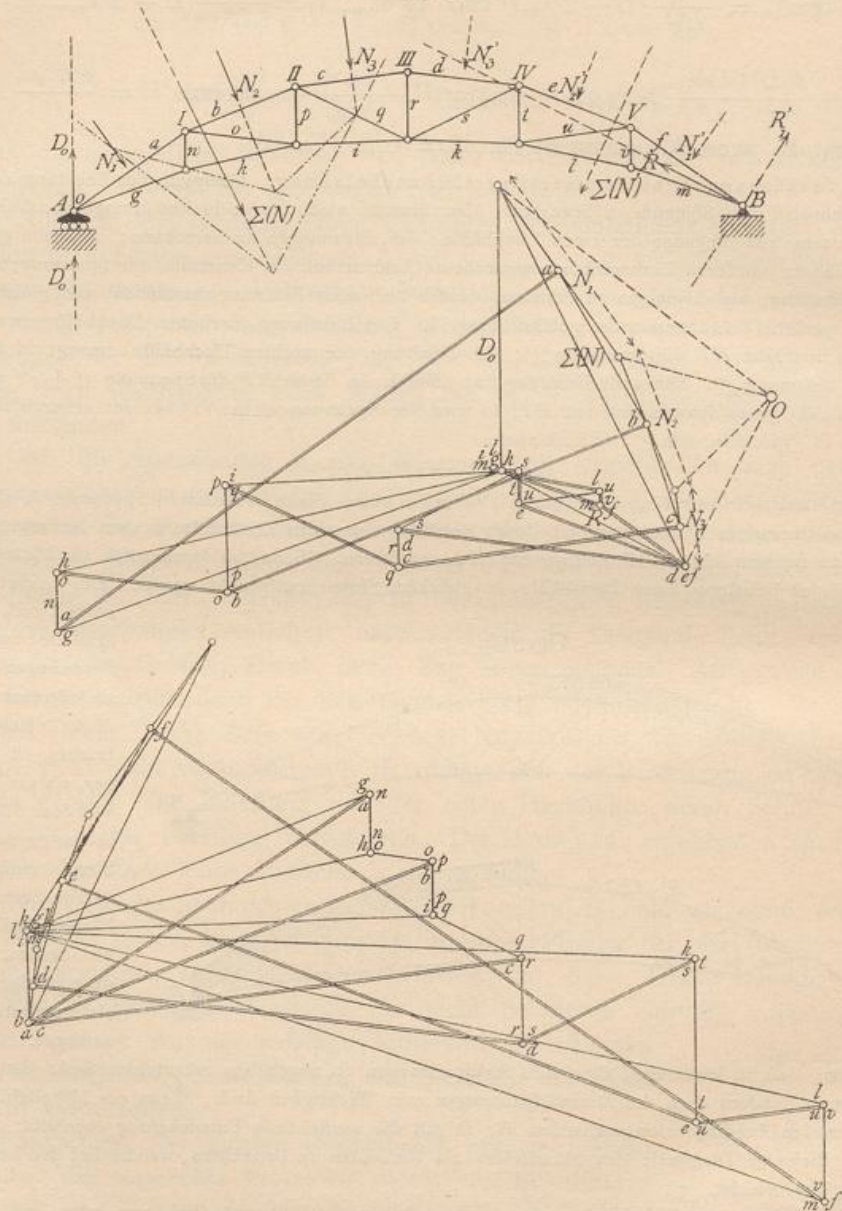
230.  
Ermittlung  
der  
Spannungen  
durch einseitige  
Schneelast.

Schneebelastung des ganzen Daches hervorgerufenen Spannungen sind gleich den Summen der bezüglichen Einzelspannungen. Durch Vergleich der Einzelspannungen und der Summen findet man für die einzelnen Stäbe leicht die ungünstigsten Schneebelastungen und die letzteren entsprechenden Spannungen.

231.  
Ermittlung  
der  
Spannungen  
durch  
Winddruck.

3) Stabspannungen bei Belastung durch Winddruck. Die durch Windbelastung entstehenden Stabspannungen sind sowohl für den Fall, daß der Wind von der Seite des beweglichen Auflagers kommt, wie für den Fall zu er-

Fig. 317.



mitteln, daß der Wind von der Seite kommt, an welcher das feste Auflager liegt. Die Berechnung ist nach Früherem leicht durchzuführen.

232.  
Gegen-  
diagonalen.

4) Gegendiagonalen. Aus dem Belastungsgesetz für die Diagonalen geht hervor, daß jede Diagonale sowohl Zug, wie Druck erhalten kann; will man dies

Fig. 319.

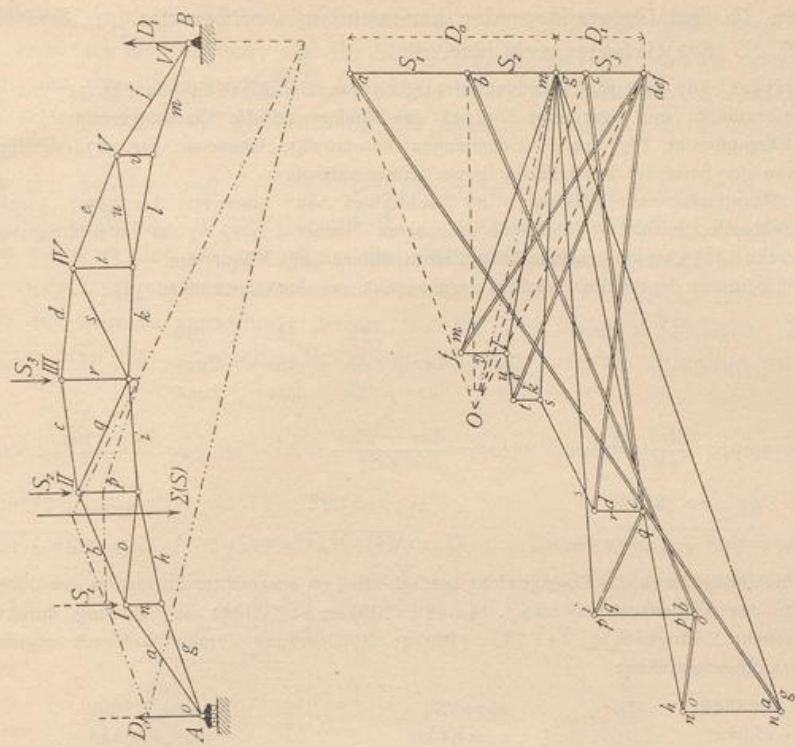
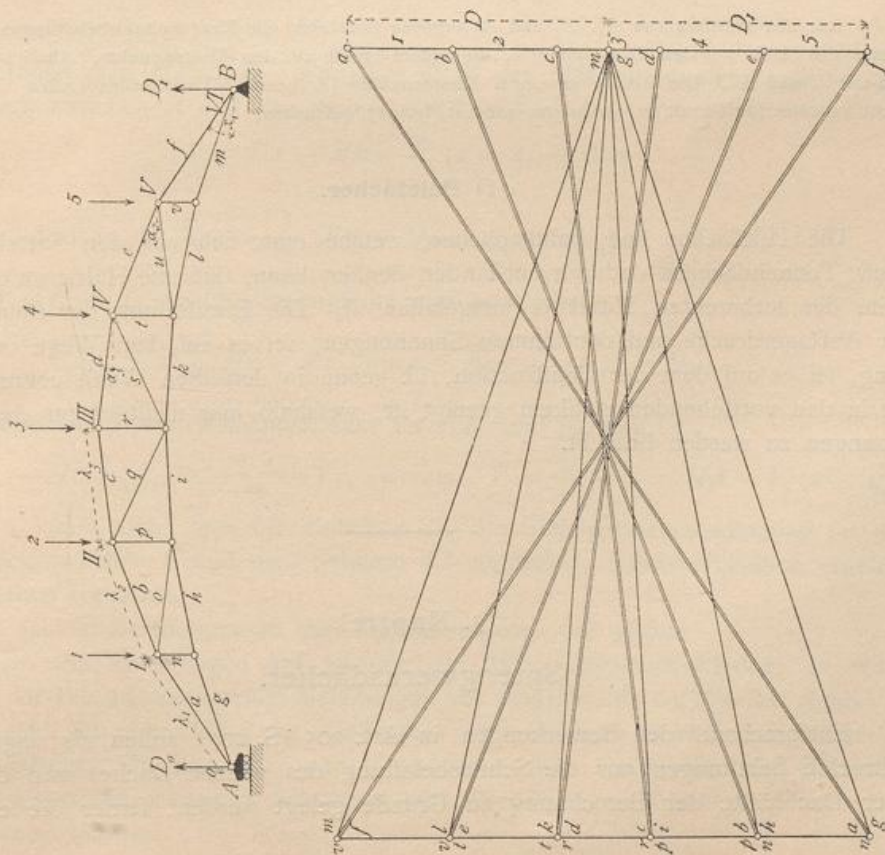


Fig. 318.



vermeiden, so sind Gegendiagonalen anzuwenden, worüber das im Kapitel »Träger« (Art. 186, S. 187) Gefagte auch hier gilt.

233.  
Beispiel.

Beispiel. Für das nachstehend näher beschriebene Sieldach sind in Fig. 317 bis 319 die Stabspannungen ermittelt, und zwar zeigt Fig. 318 den Binder und die Spannungsermittlung für Belastung durch das Eigengewicht, Fig. 319 die Spannungen für einseitige Schneelast, Fig. 317 diejenigen für Windbelastung von der Seite des beweglichen, bezw. festen Auflagers.

Die Hauptmaße und Belastungen des Dachstuhles sind: Stützweite  $Z = 24\text{ m}$ ; Anzahl der Felder gleich 6; Feldweite gleich  $4\text{ m}$ ; Pfeilhöhe der oberen Parabel  $h = 4,8\text{ m}$ , der unteren Parabel  $h_1 = 2,4\text{ m}$ ; die Binderweite ist  $4,2\text{ m}$ ; die Dachdeckung Eisenwellblech auf Eisenpfetten.

Die Ordinaten der beiden Parabeln ergeben sich aus den Gleichungen 325:

$$\begin{array}{cccccc} \text{für } x = & 4 & 8 & 12 & 16 & 20\text{ m} \\ \text{ist } y = & 2,67 & 4,27 & 4,8 & 4,27 & 2,67\text{ m}, \\ y_1 = & 1,33 & 2,13 & 2,4 & 2,13 & 1,33\text{ m}. \end{array}$$

$$\text{Ferner ist } \operatorname{tg} \alpha_1 = \frac{2,67}{4} = 0,6675, \quad \operatorname{tg} \alpha_2 = \frac{4,27 - 2,67}{4} = 0,4, \quad \operatorname{tg} \alpha_3 = \frac{4,8 - 4,27}{4} = 0,1325;$$

$$\alpha_1 = \approx 33^\circ 40', \quad \alpha_2 = \approx 22^\circ, \quad \alpha_3 = \approx 7^\circ 30';$$

$$\lambda_1 = \sqrt{4^2 + 2,67^2} = 4,81\text{ m}, \quad \lambda_2 = \sqrt{4^2 + 1,6^2} = 4,31\text{ m}, \quad \lambda_3 = \sqrt{4^2 + 0,53^2} = 4,04\text{ m}.$$

Die Belastung durch das Eigengewicht beträgt für  $1\text{ qm}$  wagrechter Projection der Dachfläche  $42\text{ kg}$ , demnach für den Knotenpunkt  $G = 4,0 \cdot 4,2 \cdot 42 = 705,6 = \approx 700\text{ kg}$ ; die Belastung durch Schnee für den Knotenpunkt  $S$  ist gleich  $4 \cdot 4,2 \cdot 75 = 1260\text{ kg}$ ; die Belastung durch Winddruck ergibt sich nach Gleichung 7 folgendermaßen:

$$\begin{array}{lll} \text{für } \alpha_1 = 33^\circ 40', & \alpha_2 = 22^\circ, & \alpha_3 = 7^\circ 30' \\ v = 83\text{ kg}, & v = 64\text{ kg}, & v = 36\text{ kg}, \\ N = 4,2 \lambda_1 \cdot 83 = \approx 1680\text{ kg}, & N_2 = 4,2 \lambda_2 \cdot 64 = \approx 1160\text{ kg}, & N_3 = 4,2 \lambda_3 \cdot 36 = \approx 610\text{ kg}. \end{array}$$

Aus den Werthen von  $N_1$ ,  $N_2$  und  $N_3$  ergeben sich leicht die Knotenpunktsbelastungen. Von  $N_1$  kommt die Hälfte auf den Knotenpunkt  $\sigma$ , die andere Hälfte auf den Knotenpunkt  $I$ ; ähnlich verhält es sich mit  $II$  und  $III$ . Die beiden in einem Knotenpunkte ( $I$ , bezw.  $II$ ) wirkenden Lasten sind alsdann leicht zu einer Mittelkraft zu vereinigen, wie in Fig. 317 geschehen.

### f) Pultdächer.

234.  
Spannungen.

Die Pultdächer sind Balkendächer, welche man sich aus den Satteldächern, bezw. Tonnendächern dadurch entstanden denken kann, daß die Hälfte an der einen Seite der lothrechten Mittelaxe fortgelassen ist. Die Ermittlung der Belastungen, der Auflagerdrücke und der inneren Spannungen, sei es auf dem Wege der Rechnung, sei es auf dem der Construction, ist genau in derselben Weise vorzunehmen, die in den vorstehenden Artikeln gezeigt ist, weshalb hier nicht weiter darauf eingegangen zu werden braucht.

## 3. Kapitel.

### Sprengwerksdächer.

235.  
Ungünstigste  
Belastung.

Entsprechend den Bemerkungen in Art. 205 (S. 207) sollen als ungünstigste lothrechte Belastungen nur die Schneebelastung des ganzen Daches und diejenige einer Dachhälfte der Berechnung zu Grunde gelegt werden, ferner die einseitige

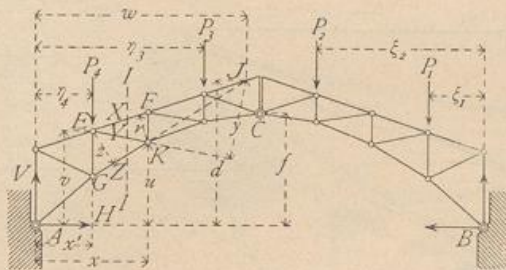
Windbelastung als ungünstigste schiefe Belastung. Bei der Schneebelastung ist sodann für jeden Stab zu untersuchen, ob die Belastung des ganzen Daches oder diejenige der einen oder der anderen Hälfte die ungünstigere ist. Zu diesem Zwecke genügt nach Art. 230 (S. 237) die Bestimmung der Stabspannungen bei einseitiger Schneebelastung.

Aus der Größe und Art der Beanspruchungen sämtlicher Stäbe bei dieser Belastung sind alsdann, wie dort gezeigt ist, die ungünstigsten lothrechten Belastungen, so wie die Größen der ungünstigsten Spannungen leicht zu ermitteln.

Die Berechnung der Spannungen erfolgt, wenn die Auflagerkräfte ermittelt sind, nach der Momentenmethode genau, wie bei den anderen Dächern. Es handle sich für eine beliebige lothrechte Belastung (Fig. 320) um die Spannungen  $X$ ,  $Y$ ,  $Z$

236.  
Berechnung  
der  
Spannungen.

Fig. 320.



in den Stäben  $EF$ ,  $EK$ ,  $GK$ . Für  $EF$  ist  $K$  der Momentenpunkt, und für das Trägerstück zwischen  $A$  und dem Schnitte  $II$  wird

$$0 = Vx - Hu - P_4(x - \eta_4) + Xr,$$

woraus

$$X = -\frac{1}{r} [Vx - Hu - P_4(x - \eta_4)].$$

Für  $GK$  ist  $E$  der Momentenpunkt, und es wird

$$0 = Vx' - Hv - Zz, \text{ woraus } Z = \frac{1}{z} (Vx' - Hv).$$

Endlich ist  $\mathcal{F}$  der Momentenpunkt für  $EK$ , und es wird

$$0 = Vw - Hd - P_4(w - \eta_4) - Yy, \text{ woraus } Y = \frac{1}{y} [Vw - Hd - P_4(w - \eta_4)].$$

Man kann auch, was oft einfacher ist, die Gleichgewichtsbedingung für das Trägerstück zwischen  $C$  und dem Schnitte  $II$  aufstellen; selbstverständlich ergeben sich dieselben Resultate.

Für schiefe Belastungen ist das Verfahren genau das gleiche.

Sollen die Spannungen auf graphischem Wege ermittelt werden, so wird, nachdem für die angenommenen Belastungen die Lagerkräfte der Punkte  $A$  und  $B$  ermittelt sind, für jede Hälfte der Kräfteplan nach *Cremona* in mehrfach erörterter Weise konstruiert. In Fig. 321, 322 u. 323 sind diese Kräftepläne für Belastung durch Eigengewicht, einseitige Schneelast und Winddruck konstruiert.

237.  
Graphische  
Ermittlung  
der  
Spannungen.

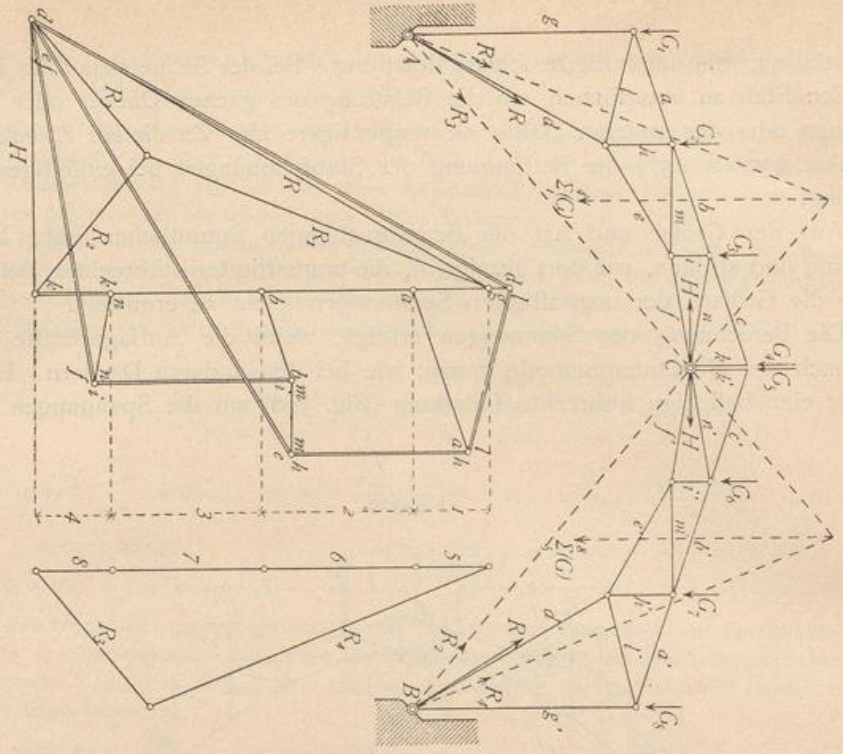


Fig. 321.

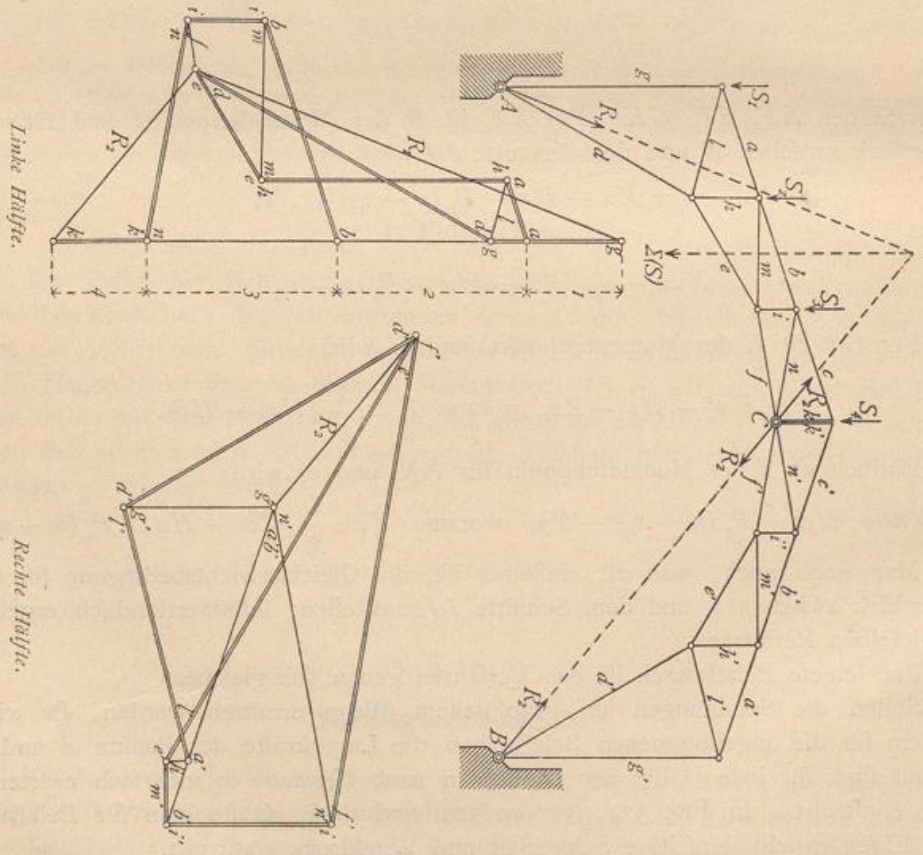
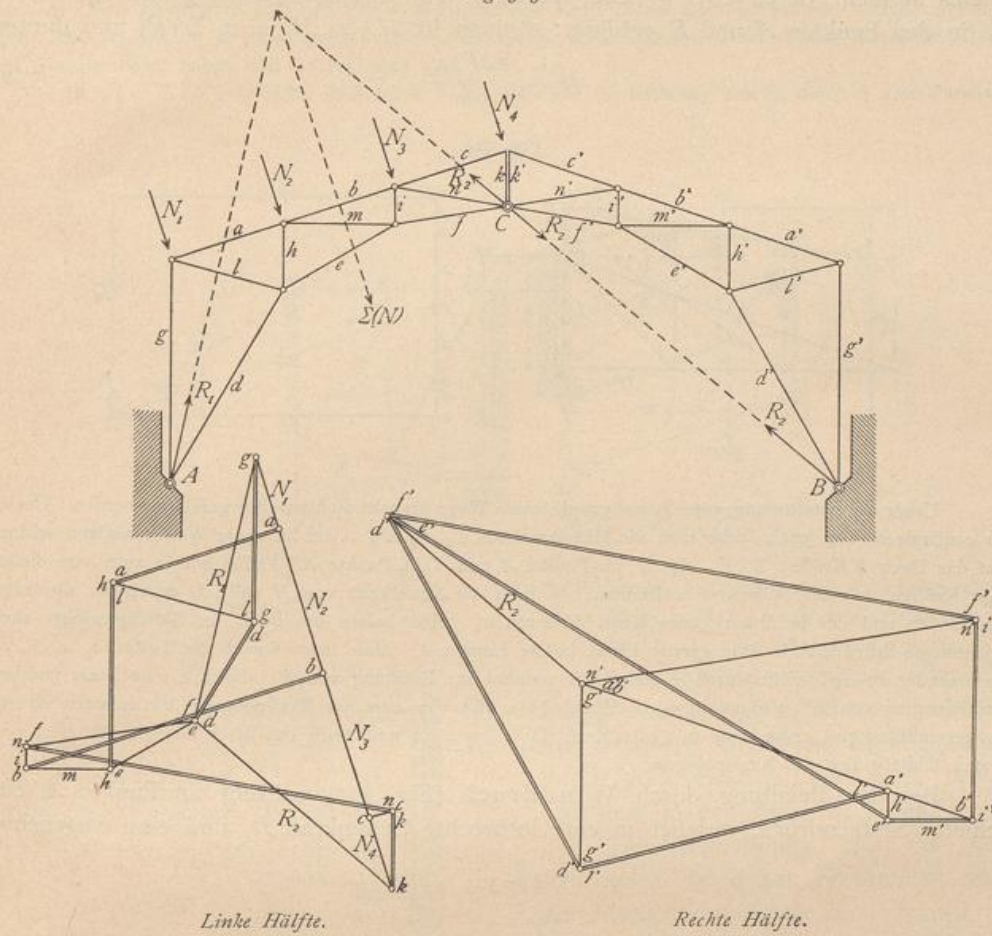


Fig. 322.

Linke Hälfte.

Rechte Hälfte.

Fig. 323.



4. Kapitel.

Ausleger- oder Kragdächer.

Die Ausleger- oder Kragdächer sind Dächer, welche, wie die Ausleger- oder Kragträger (siehe Art. 158 bis 161, S. 151 bis 154), an ihrem einen Ende unterstützt sind, am anderen Ende frei schweben. Demnach muß auch hier, falls Gleichgewicht stattfinden soll, Seitens der Wand, an welcher das Auslegerdach befestigt ist, ein Auflagerdruck und ein Moment geleistet werden.

238.  
Auflager-  
drücke.

1) Auflagerdrücke. Für lothrechte Belastungen ist der Auflagerdruck im Punkte A (Fig. 324)

$$D_0 = \Sigma (P) \dots \dots \dots 331.$$

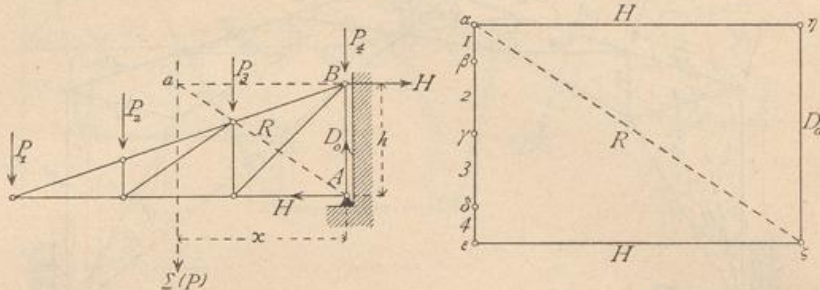
Das Seitens der Wand zu leistende Moment muß dem resultirenden Momente der äußeren Kräfte, d. h. demjenigen von  $\Sigma (P)$  und A genau gleich sein und entgegengesetzte Drehrichtung haben. Da  $D_0 = \Sigma (P)$  ist und beide Kräfte einander parallel sind, so bilden sie ein Kräftepaar mit dem Momente  $M_0 = x \Sigma (P)$ . Dieselbe GröÙe hat also das von der Mauer zu leistende Moment. Wir denken uns



dieses Moment durch zwei gleiche, parallele und entgegengesetzt gerichtete Kräfte  $H$  in den Punkten  $A$  und  $B$  gebildet; alsdann ist  $Hh = M_0 = x_0 \Sigma(P)$  und daraus

$$H = \frac{\Sigma(P)x_0}{h} \dots \dots \dots 332.$$

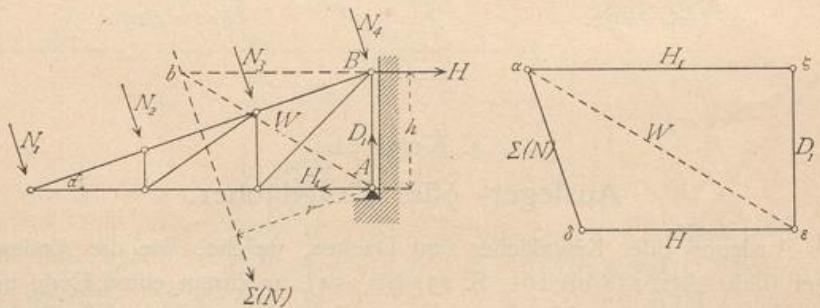
Fig. 324.



Ueber die Ermittlung von  $D_0$  auf graphischem Wege braucht nichts weiter gefagt zu werden. Um  $H$  zu construiren (Fig. 324), suche man die Mittelkraft von  $P_1, P_2, P_3 \dots$  auf bekannte Weise; alsdann wirken auf das Dach 4 Kräfte:  $\Sigma(P), D_0, H$  im Punkte  $A$  und  $H$  im Punkte  $B$ . Fassen wir je zwei von diesen vier Kräfte zu einer Mittelkraft zusammen, so geht die Mittelkraft von  $H$  und  $D_0$  durch  $A$ , diejenige von  $\Sigma(P)$  und der in  $B$  wirkenden Kraft  $H$  durch  $a$ ; beide halten das Dach im Gleichgewicht; ihre Richtungen fallen also in eine gerade Linie, in die Linie  $aA$ . Man trage sonach die Lasten  $1, 2, 3 \dots$  an einander zu  $\alpha\epsilon$ , ziehe durch  $\alpha$  eine Linie parallel zur Richtung von  $R$ , durch  $\epsilon$  eine Linie parallel zur Richtung von  $H$ ; alsdann ist  $\epsilon\zeta = H$  und  $\zeta\alpha = R$ . Um nun das Kraftpolygon der äußeren Kräfte zu vervollständigen, trage man an  $\zeta$  die Kraft  $D_0 = \zeta\eta = \alpha\epsilon$  und an  $\eta$  das in  $A$  angreifende  $H = \eta\alpha$ . Damit schließt sich das Kraftpolygon.

Bei der Belastung durch Winddruck (Fig. 325) entsteht im Punkte  $A$  ein schiefer Stützendruck, welcher in eine lothrechte Seitenkraft  $D_1$  und eine wagrechte

Fig. 325.



Seitenkraft  $H_1$  zerlegt werden kann. Außerdem muß von der Wand ein Moment geleistet werden, welches in Bezug auf  $A$  als Momentenpunkt demjenigen der Windlasten gleich, der Drehrichtung nach entgegengesetzt ist. Um dieses Moment zu erzeugen, bringen wir in  $B$  eine Kraft  $H$  an, welche sich aus der Bedingung bestimmt

$$0 = Hh - \Sigma(N)r, \text{ woraus } H = \frac{r}{h} \Sigma(N).$$

Ferner wird

$$D_1 = \Sigma(N) \cos \alpha \text{ und } H_1 = H + \Sigma(N) \sin \alpha = \Sigma(N) \left( \frac{r}{h} + \sin \alpha \right)$$

333.

Die Construction der Kräfte  $H_1$ ,  $D_1$  und  $H$  erfolgt in ähnlicher Weise, wie bei lothrechter Belastung. Man vereinigt  $\Sigma(N)$  und die in  $B$  angreifende Kraft  $H$  zu einer Mittelkraft, welche durch  $\delta$  geht, und  $H_1$  mit  $D_1$  zu einer zweiten Mittelkraft, welche durch  $A$  geht. Beide Kräfte halten das Dach im Gleichgewicht, haben also die Richtung  $\delta A$ , bezw.  $A\delta$ .

Ist  $\alpha\delta = \Sigma(N)$ , so ziehe man durch  $\delta$  eine Parallele zur Richtung von  $H$ , durch  $\alpha$  eine Parallele

Fig. 326.

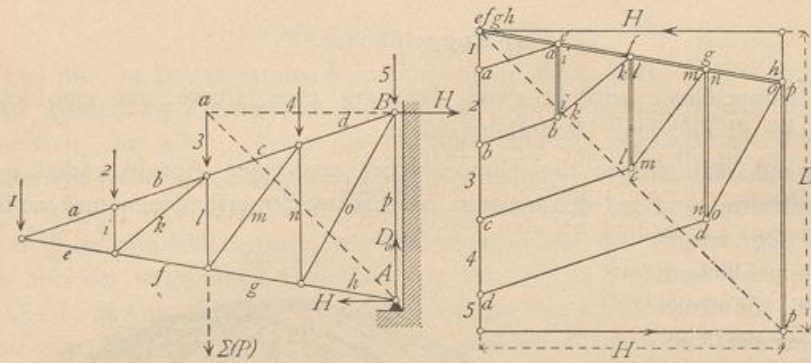
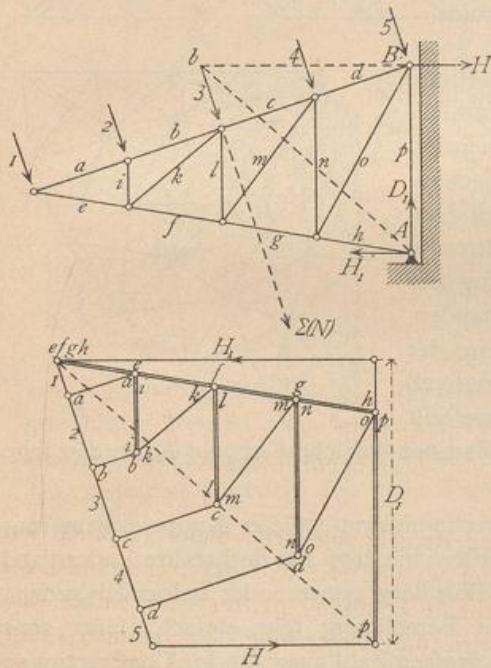


Fig. 327.



zur Richtung von  $H$ ; man erhält als Schnittpunkt  $\varepsilon$ , und es ist  $\delta\varepsilon = H$ ,  $\varepsilon\alpha = W$ . Nun zerlege man  $\varepsilon\alpha$  in  $D_1$  und  $H_1$ , so wird  $\varepsilon\zeta = D_1$ ,  $\zeta\alpha = H_1$ .

2) Stabspannungen. Um die Stabspannungen zu ermitteln, sind hier nur Belastung durch das Eigengewicht, durch volle Schnee- und volle Windbelastung in das Auge zu fassen.

Die Berechnung für die verschiedenen möglichen Formen ist nach der Momentenmethode ohne Schwierigkeit durchzuführen, und zwar sowohl wenn die Lasten lothrecht, als wenn sie senkrecht zur Dachfläche gerichtet sind; es braucht darauf hier nicht weiter eingegangen zu werden.

Das graphische Verfahren ist in Fig. 326 u. 327 für einen Ausleger-Dachstuhl, und zwar für Belastung durch Eigengewicht und durch Winddruck, durchgeführt. Zuerst sind die äußeren Kräfte, wie oben gezeigt, ermittelt, in der Reihenfolge der Knotenpunkte an einander getragen, und dann ist der Kräfteplan verzeichnet, der ohne Weiteres verständlich ist.

239.  
Stab-  
spannungen.

## 5. Kapitel.

## Kuppel-, Zelt- und Thurmdächer.

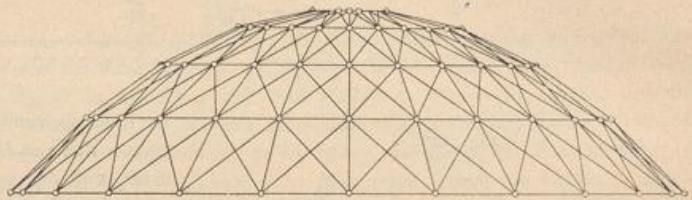
## a) Kuppeldächer.

240.  
Allgemeines.

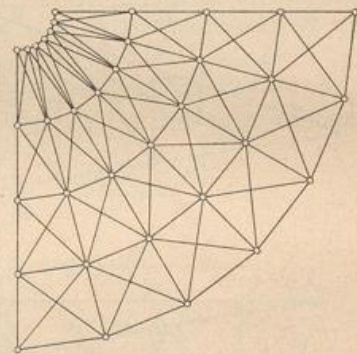
Die Kuppelfläche entsteht durch Drehung einer Curve um eine lothrechte Mittelaxe; sie ist also eine Umdrehungsfläche.

Während man früher die Kuppeldächer aus einer Anzahl radial gestellter Binder construirte, sind bei den neueren, von *Schwedler* erfundenen und vielfach mit bestem Erfolg ausgeführten Kuppeldächern sämmtliche Constructionstheile in die Kuppelfläche verlegt. Eine Anzahl von Sparren wird in der Richtung der Meridiane der Kuppelfläche angeordnet

Fig. 328.



und in verschiedenen Höhen durch wagrechte Ringe mit einander verbunden; letztere sind den Parallelkreisen der Kuppelfläche eingeschriebene Vielecke. In den so entstehenden Vierecken sind alsdann, wegen der ungleichmäßigen Belastung, noch Diagonalen angeordnet, und zwar meistens gekreuzte Zugdiagonalen. Gewöhnlich ist eine Belastung der Kuppelmitte durch eine fog. Laterne vorhanden. Die ganze Construction bildet demnach ein der Kuppelfläche eingeschriebenes Polyeder; in Fig. 328 sind Ansicht und Grundriß derselben dargestellt (letzterer nur für ein Viertel der Kuppel). Man nennt solche Kuppeln *Schwedler'sche* oder Flechtwerkkuppeln.



Die von *Schwedler*<sup>35)</sup> angegebene Berechnungsweise dieser Kuppeln kann nur als eine Annäherungsrechnung betrachtet werden: sie legt nur lothrechte Lasten und der Hauptfläche nach gleichförmig vertheilte Belastung ganzer oder halber Ringzonen zu Grunde. Bei diesen Annahmen wird die Berechnung sehr einfach, führt aber trotzdem zu Ergebnissen, welche sich in einer großen Zahl ausgeführter Constructionen seit einer längeren Reihe von Jahren vollauf bewährt und allen Kräfteangriffen gewachsen gezeigt haben. Deshalb soll diese Berechnungsweise, welche in den allermeisten Fällen für die Praxis genügt, nachstehend vorgeführt werden (Art. 241 bis 245).

Eine neuere, auf der Theorie des Raumfachwerkes beruhende Berechnungs-

<sup>35)</sup> In: Die Construction der Kuppeldächer. Zeitschr. f. Bauw. 1866, S. 7.

weise der Flechtwerkkuppeln, und zwar für ganz beliebige Belastungen, ist von Müller-Breslau<sup>36)</sup> aufgestellt worden.

Nach Vorführung der Schwedler'schen Berechnungsweise sollen in Art. 246 bis 249 die Grundlagen derjenigen von Müller-Breslau angegeben werden.

### 1) Berechnungsweise von Schwedler.

#### a) Belastungen und Auflagerdrücke.

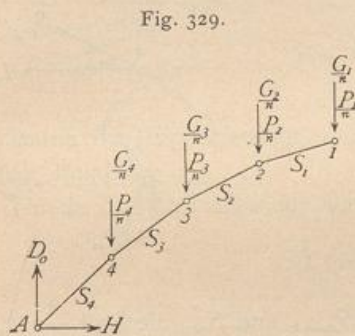
Die hier zu betrachtenden Kuppeln sind so flach, daß der Winddruck nur von geringer Bedeutung ist; derselbe soll deshalb, unter Zugrundelegung einer mittleren Dachneigung, in allen Theilen der Kuppel constant angenommen werden. Hier wird nur die lothrechte Seitenkraft  $\nu$  (vergl. Art. 30, S. 23) des Winddruckes berücksichtigt; die in die Dachfläche fallende Seitenkraft kann vernachlässigt werden. Endlich ist es empfehlenswerth, alle Belastungen auf das Quadr.-Meter der Grundfläche, also der wagrechten Projection des Daches, zu beziehen.

Die Lasten greifen in den Knotenpunkten der Construction an; demnach sind die auf die einzelnen Knotenpunkte entfallenden Flächen zu berechnen und mit diesen die Belastungen für die Einheit der Grundfläche zu multipliciren.

Wären keine Ringe angeordnet, so würden die einzelnen Sparren schiefe Drücke auf die Auflager ausüben und von diesen erleiden; durch einen Ring, gegen

241.  
Belastungen.

242.  
Auflager-  
drücke.



welchen sich sämtliche Sparrenfüße setzen, den fog. Mauerring oder Fußring, werden die wagrechten Seitenkräfte der in den untersten Sparrenstäben ( $S_4$  in Fig. 329) vorhandenen Spannungen aufgehoben, so daß bei den angenommenen Belastungen als Auflagerdrücke nur lothrechte Kräfte wirken. Entsprechend den im folgenden Artikel vorzuführenden Annahmen braucht die Berechnung der Auflagerdrücke nur für Belastungen vorgenommen zu werden, bei welchen ganze Ringzonen belastet sind. Wenn der Grundriß der Kuppel

ein regelmäßiges  $n$ -Eck ist, und demnach  $n$  Sparren vorhanden sind, so kann angenommen werden, daß bei den erwähnten Belastungen alle Sparren gleiche Lasten tragen. Die Kuppel trage eine Laterne, deren Gewicht im Eigengewicht der ersten Ringzone mit enthalten sei. Die Eigengewichte der ganzen Ringzonen seien bezw. (Fig. 329)  $G_1, G_2, G_3, G_4 \dots$  und die zufälligen Lasten der ganzen Ringzonen  $P_1, P_2, P_3, P_4 \dots$ ; alsdann ist, wenn der Stützendruck auf jeden Sparren  $D_0$  beträgt, für volle Belastung der ganzen Dachfläche

$$nD_0 = G_1 + G_2 + G_3 + G_4 + \dots + P_1 + P_2 + P_3 + P_4 + \dots = \Sigma(G) + \Sigma(P).$$

Wenn etwa nur die drei obersten Zonen voll belastet sind, so wird

$$nD_0' = G_1 + G_2 + G_3 + G_4 + \dots + P_1 + P_2 + P_3$$

sein. Auf diese Art sind die Auflagerdrücke leicht zu ermitteln.

<sup>36)</sup> In: Beitrag zur Theorie des räumlichen Fachwerks. Centralbl. d. Bauverw. 1892, S. 207. (Auch als Sonderabdruck erschienen.) — Vergl. auch:

KOFAHL. Beitrag zur Theorie der Kuppeldächer. Zeitschr. d. Ver. deutsch. Ing. 1896, S. 1133; 1898, S. 713.

HÜBNER. Bemerkungen über das räumliche Fachwerk. Ebendaf. 1897, S. 477, 632, 634.

MÜLLER-BRESLAU, H. Beitrag zur Theorie der Kuppel- und Thurmdächer etc. Ebendaf. 1898, S. 1205, 1233.

β) Stabspannungen.

243.  
Berechnung  
der Stab-  
spannungen.

2) Ungünstigste Beanspruchung der einzelnen Stäbe. Es sollen, nach *Schwedler*, für die Grenzen der Spannungen die folgenden vereinfachenden Annahmen gemacht werden:

a) die Sparren erhalten den größten Druck, wenn die ganze Kuppel voll belastet ist;

b) ein Ring erhält seinen größten Zug, wenn der innerhalb desselben befindliche Kuppeltheil voll belastet, der Ring selbst mit seiner Zone aber unbelastet ist; bei der entgegengesetzten Belastungsart treten die entgegengesetzten Grenzen ein;

c) die Diagonalen zwischen zwei Sparren erhalten ihren größten Zug, wenn die halbe Kuppel auf einer Seite des durch die Mitte der Diagonalen gehenden Durchmessers voll, die andere halbe Kuppel nur durch das Eigengewicht belastet ist.

3) Spannungen in den Sparren. Wir betrachten nur zwei Belastungsarten, nämlich die Belastung der ganzen Kuppel durch zufällige Last und die Belastung der Kuppel durch Eigengewicht. Die zweite Belastungsart ergibt die Minimalspannungen. Die Maximalspannungen der Sparren sind die Summen der bei den beiden angeführten Belastungsarten sich ergebenden Spannungen. Die Formeln für beide Belastungsarten unterscheiden sich nur durch die Größe der Lasten.

Was zunächst die zufällige Belastung betrifft, so sind im  $m$ -ten Knotenpunkte (vom Laternenringe an gerechnet) in  $E$  (Fig. 330 u. 331) folgende

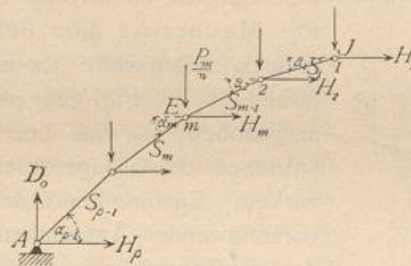


Fig. 330.

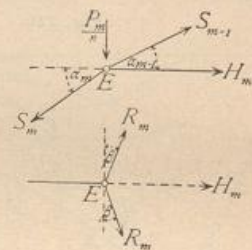


Fig. 331.

Kräfte im Gleichgewicht: die Spannungen der Sparren  $S_{m-1}$  und  $S_m$ , die Last  $\frac{1}{n} P_m$ , endlich die beiden Ringspannungen  $R_m$ . Letztere sind einander, der Symmetrie wegen, gleich und haben in der wagrechten Ebene des  $m$ -ten Ringes die Mittelkraft  $H_m$ . Die algebraische Summe der lothrechten Kräfte für den Punkt  $E$  ist gleich Null; mithin

$$0 = \frac{1}{n} P_m + S_m \sin \alpha_m - S_{m-1} \sin \alpha_{m-1},$$

woraus

$$S_m = \frac{S_{m-1} \sin \alpha_{m-1}}{\sin \alpha_m} - \frac{1}{n} \frac{P_m}{\sin \alpha_m}.$$

Für den ersten Knotenpunkt, den Knotenpunkt am Laternenringe, für  $\mathcal{F}$ , ist  $S_{m-1} = 0$ ; mithin folgt der Reihe nach für  $m = 1, 2, 3 \dots$

$$S_1 = -\frac{1}{n} \frac{P_1}{\sin \alpha_1}; \quad S_2 = -\frac{1}{n} \frac{P_1 \sin \alpha_1}{\sin \alpha_1 \sin \alpha_2} - \frac{1}{n} \frac{P_2}{\sin \alpha_2} = -\frac{P_1 + P_2}{n \sin \alpha_2};$$

$$S_3 = -\frac{P_1 + P_2}{n \sin \alpha_2} \frac{\sin \alpha_2}{\sin \alpha_3} - \frac{1}{n} \frac{P_3}{\sin \alpha_3} = -\frac{P_1 + P_2 + P_3}{n \sin \alpha_3};$$

oder allgemein

$$S_m = - \frac{1}{n \sin \alpha_m} \sum_1^m (P) \dots \dots \dots 334.$$

Eben so ergibt sich die Spannung in den Sparren für eine Belaftung durch das Eigengewicht zu

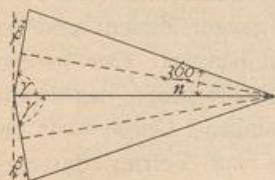
$$S_1' = - \frac{G_1}{n \sin \alpha_1}; \quad S_2' = - \frac{(G_1 + G_2)}{n \sin \alpha_2}; \quad \dots \quad S_m' = - \frac{\sum_1^m (G)}{n \sin \alpha_m} \quad \dots \quad 335.$$

© Spannungen in den Ringen. Die Gleichgewichtsbedingung, nach welcher die algebraische Summe der wagrechten Kräfte im Punkte *E* gleich Null ist, lautet (Fig. 331):

$$0 = H_m + S_{m-1} \cos \alpha_{m-1} - S_m \cos \alpha_m, \text{ woraus } H_m = S_m \cos \alpha_m - S_{m-1} \cos \alpha_{m-1}.$$

Da  $H_m$  die Mittelkraft der beiden Ringspannungen  $R_m$  ist, so ergibt sich  $H_m = 2 R_m \sin \beta$ , woraus  $R_m = \frac{H_m}{2 \sin \beta}$ . Nun ist (Fig. 332)  $\beta = \frac{360^\circ}{2n} = \frac{\pi}{n}$ ,

Fig. 332.



sonach  $R_m = \frac{H_m}{2 \sin \frac{\pi}{n}}$ . Wird in diese Gleichung der

für  $H_m$  gefundene Werth eingesetzt, so folgt

$$R_m = \frac{S_m \cos \alpha_m - S_{m-1} \cos \alpha_{m-1}}{2 \sin \frac{\pi}{n}} \quad \dots \quad 336.$$

Wir bestimmen nach Gleichung 336 die Ringspannung durch das Eigengewicht und die Maximal- und Minimal-Ringspannung durch zufällige Belaftung.

Durch das Eigengewicht wird

$$R_m^g = \frac{- \frac{\sum_1^m (G) \cos \alpha_m}{n \sin \alpha_m} + \frac{\sum_1^{m-1} (G) \cos \alpha_{m-1}}{n \sin \alpha_{m-1}}}{2 \sin \frac{\pi}{n}},$$

$$R_m^g = - \frac{\sum_1^m (G) \cotg \alpha_m - \sum_1^{m-1} (G) \cotg \alpha_{m-1}}{2 n \sin \frac{\pi}{n}} \quad \dots \quad 337.$$

Man erhält

für den Laternenring ( $m = 1$ ): $R_1^g = - \frac{G_1 \cotg \alpha_1}{2 n \sin \frac{\pi}{n}}$ ;	}	338.
für den Ring 2 ( $m = 2$ ): $R_2^g = - \frac{(G_1 + G_2) \cotg \alpha_2 - G_1 \cotg \alpha_1}{2 n \sin \frac{\pi}{n}}$ ;		
für den Ring 3 ( $m = 3$ ): $R_3^g = - \frac{(G_1 + G_2 + G_3) \cotg \alpha_3 - (G_1 + G_2) \cotg \alpha_2}{2 n \sin \frac{\pi}{n}}$ ;		
etc.		

Für den Mauerring ist  $S_m$ , also das erste Glied im Zähler gleich Null; mithin, wenn für den Auflagerpunkt  $m = \rho$  ist,

$$R_\rho^s = \frac{\sum_1^{\rho-1} (G) \cotg \alpha_{\rho-1}}{2n \sin \frac{\pi}{n}} = \frac{(G_1 + G_2 + \dots + G_{\rho-1}) \cotg \alpha_{\rho-1}}{2n \sin \frac{\pi}{n}} \quad \dots \quad 339.$$

Um die durch zufällige Belastung erzeugten Ringspannungen zu ermitteln, setzen wir in die Gleichung 336 die Werthe für  $S_m$  und  $S_{m-1}$  ein. Es soll  $\mathfrak{S}_1^m(P)$  die zwischen den Knotenpunkten 1 und  $m$  befindlichen zufälligen Lasten bezeichnen, wobei  $\mathfrak{S}$  ausdrückt, dass nicht alle Knotenpunkte 1 —  $m$  belastet zu sein brauchen; im Gegensatz dazu soll  $\sum_1^m (P)$  andeuten, dass alle Knotenpunkte von 1 bis  $m$  belastet sind. Man erhält demnach allgemein für zufällige Belastung aus Gleichung 336

$$R_m = - \frac{\mathfrak{S}_1^m(P) \cotg \alpha_m - \mathfrak{S}_1^{m-1}(P) \cotg \alpha_{m-1}}{2n \sin \frac{\pi}{n}} \quad \dots \quad 340.$$

Diese Gleichung ermöglicht die Feststellung der für die einzelnen Ringe ungünstigsten Belastungen (unter Voraussetzung der Belastung ganzer Zonen) und die Ermittlung der größten Druck- und Zugspannungen in den Ringen. Der größte Druck wird stattfinden, wenn im Zähler das erste Glied möglichst groß, das zweite Glied möglichst klein ist. Jede Belastung eines der Knotenpunkte 1 bis  $(m-1)$  hat sowohl ein Wachsen des ersten, wie des zweiten Gliedes zur Folge; da aber  $\cotg \alpha_{m-1}$  stets größer ist, als  $\cotg \alpha_m$ , so wächst das zweite Glied mehr, als das erste, d. h. jede Belastung des Knotenpunktes 1 bis  $(m-1)$  verringert den Druck, vergrößert also den Zug. Die Belastung des Knotenpunktes  $m$  vergrößert nur das erste Glied, also den Druck. Die Belastung der außerhalb des  $m$ -ten Ringes liegenden Ringe ist nach der Gleichung ohne Einfluss auf die Spannung im  $m$ -ten Ringe. Daraus folgt, dass in den Stäben eines Ringes (des  $m$ -ten) der größte Druck stattfindet, wenn die Knotenpunkte 1 bis  $(m-1)$  unbelastet, die zum Ringe gehörigen Knotenpunkte dagegen belastet sind. Da die Belastung der äußeren Ringe ohne Einfluss ist, so kann man sagen: Größter Druck findet statt, wenn der innere Kuppeltheil unbelastet, der äußere Kuppeltheil, einschliesslich des betrachteten Ringes, belastet ist. Daraus folgt dann weiter, dass größter Zug in den Stäben des  $m$ -ten Ringes auftritt, wenn nur der innere Kuppeltheil, ausschliesslich der Zone, zu welcher der  $m$ -te Ring gehört, belastet ist. Die hier gefundenen Ergebnisse stimmen demnach mit den in Art. 243 (S. 248) gemachten Annahmen über die ungünstigsten Belastungen überein.

Man erhält

$$R_m^{\text{min}} = - \frac{P_m \cotg \alpha_m}{2n \sin \frac{\pi}{n}} \quad \text{und} \quad R_m^{\text{max}} = \frac{\sum_1^{m-1} (P) (\cotg \alpha_{m-1} - \cotg \alpha_m)}{2n \sin \frac{\pi}{n}} \quad \dots \quad 341.$$

Es ergibt sich

$$\left. \begin{aligned} \text{für den Laternenring } (m=1): R_1^{\ell_{min}} &= -\frac{P_1 \cotg \alpha_1}{2n \sin \frac{\pi}{n}} \quad \text{und} \quad R_1^{\ell_{max}} = 0; \\ \text{für } m=2: R_2^{\ell_{min}} &= -\frac{P_2 \cotg \alpha_2}{2n \sin \frac{\pi}{n}} \quad \text{und} \quad R_2^{\ell_{max}} = \frac{P_1 (\cotg \alpha_1 - \cotg \alpha_2)}{2n \sin \frac{\pi}{n}}; \\ \text{für } m=3: R_3^{\ell_{min}} &= -\frac{P_3 \cotg \alpha_3}{2n \sin \frac{\pi}{n}} \quad \text{und} \quad R_3^{\ell_{max}} = \frac{(P_1 + P_2) (\cotg \alpha_2 - \cotg \alpha_3)}{2n \sin \frac{\pi}{n}}, \end{aligned} \right\} 342.$$

etc.

$$\text{für den Mauerring: } R_p^{\ell_{min}} = 0 \quad \text{und} \quad R_p^{\ell_{max}} = \frac{(P_1 + P_2 + \dots + P_{p-1}) \cotg \alpha_{p-1}}{2n \sin \frac{\pi}{n}}. \quad 343.$$

ⓓ) Spannungen in den Diagonalen. Neben dem Durchmesser, welcher für die ungünstigste Diagonalenbelastung die belastete und unbelastete Kuppelhälfte trennt, liegt ein belasteter und ein unbelasteter Sparren. Nehmen wir nun an, daß die Spannung im ersteren so groß ist, als wenn die ganze Kuppel voll belastet wäre, im zweiten so groß, als wenn die ganze Kuppel nur durch das Eigengewicht belastet wäre, und machen wir die im Knotenpunkte anschließende Diagonale stark genug, um den ganzen Spannungsunterschied zu übertragen, so wird dieselbe jedenfalls zu stark, ist also als ausreichend zu betrachten.

Im obersten Sparrenstück sind die größten und kleinsten Druckspannungen bezw.

$$S_{1max} = -\frac{P_1 + G_1}{n \sin \alpha_1} \quad \text{und} \quad S_{1min} = -\frac{G_1}{n \sin \alpha_1}.$$

Die Differenz beider Spannungen ist  $\Delta_1 = -\frac{P_1}{n \sin \alpha_1}$ . Dieselbe soll durch die Diagonale übertragen werden. Bezeichnet man die wirkliche Länge der Diagonale und des Sparrens bezw. mit  $d$  und  $s$ , so ist allgemein

$$Y = -\Delta \frac{d}{s};$$

mithin

$$\left. \begin{aligned} Y_1 &= \frac{P_1}{n \sin \alpha_1} \cdot \frac{d_1}{s_1}, & Y_2 &= \frac{P_1 + P_2}{n \sin \alpha_2} \cdot \frac{d_2}{s_2}, \\ Y_3 &= \frac{P_1 + P_2 + P_3}{n \sin \alpha_3} \cdot \frac{d_3}{s_3}, & Y_4 &= \frac{P_1 + P_2 + P_3 + P_4}{n \sin \alpha_4} \cdot \frac{d_4}{s_4}, \end{aligned} \right\} \dots 344.$$

Auf graphischem Wege lassen sich die Spannungen in den einzelnen Stäben einer Kuppel in folgender Weise ermitteln.

a) Sparrenspannungen durch das Eigengewicht. Die Lasten in den einzelnen Knotenpunkten seien  $1, 2, 3, 4, 5$  (Fig. 333); man trage dieselben zu einem Kraftpolygon  $\alpha \beta \gamma \delta \varepsilon \zeta$  an einander. Im Knotenpunkte  $\gamma$  wirken  $1$ , die Sparrenspannung  $S_1$  und die Mittelkraft  $H_1$  der Ringspannungen  $R_1$ . Die Zerlegung der Kraft  $1$  nach den beiden Richtungen von  $S_1$  und  $H_1$  ergibt  $\beta \omega = S_1$ ,  $\omega \alpha = H_1$ . Am Knotenpunkt  $F$  wirken nun  $2, S_1, S_2$  und  $H_2$ ; bekannt sind jetzt  $2$  und  $S_1$ ; man erhält  $\gamma \eta = S_2$ ,  $\eta \omega = H_2$ . Eben so ergeben sich die übrigen Sparrenspannungen.

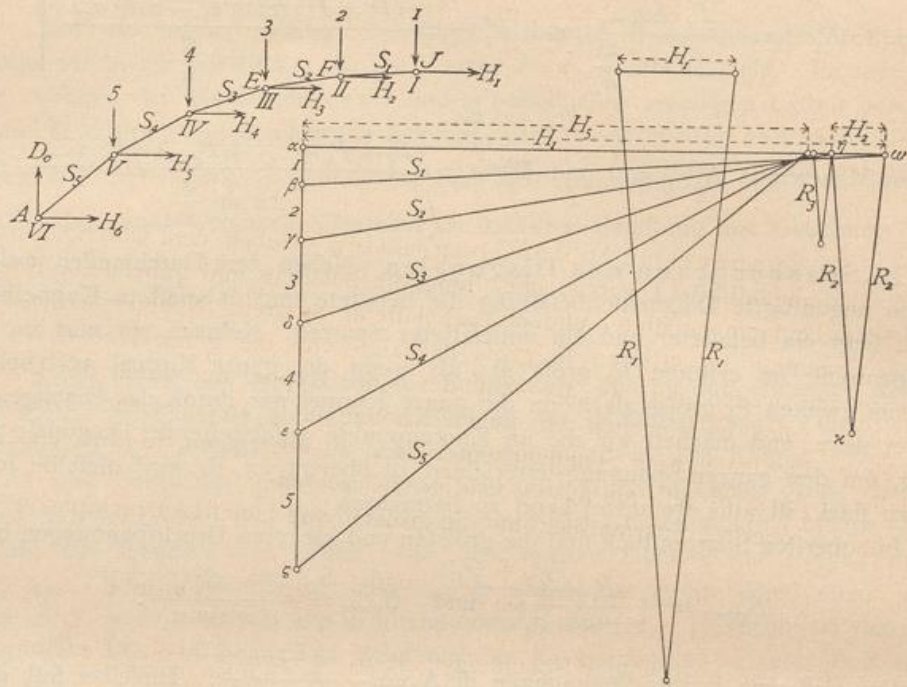
b) Spannungen in den Sparren durch zufällige Belastung. Die Construction ist in gleicher Weise, wie unter a vorzunehmen, nachdem die in den einzelnen Knotenpunkten wirkenden zufälligen Lasten genau wie oben aufgetragen und behandelt sind.

244.  
Graphische  
Ermittelung  
der Stab-  
spannungen.



c) Ringspannungen durch das Eigengewicht. Die Zerlegung der für diese Belastung gefundenen Werthe von  $H$  ergibt ohne Schwierigkeit die Werthe für  $R_1^g, R_2^g, \dots$ , wie in Fig. 333 gezeichnet. Die Construction empfiehlt sich für die vorliegende Ermittlung nicht sehr, weil sie der spitzen Schnittwinkel wegen nur ungenaue Resultate giebt, die Schnittpunkte vielfach nicht mehr auf die Zeichen-

Fig. 333.



fläche fallen. So ist  $H_1$  in Fig. 333 im fünfmal verkleinerten Maßstabe aufgetragen, um  $R_1$  zu construieren.

b) Ringspannungen durch zufällige Belastung. Maximalspannung im Ringe II findet statt, wenn nur die Ringzone I belastet ist. Es sei (Fig. 334 a)  $ab = \frac{P_1}{n}$ ; alsdann wird  $bf = S_1 = H_1$ .

Im Knotenpunkt  $F$  (Fig. 335) sind  $S_1, S_2$  und  $H_2$  im Gleichgewicht, d. h. das Kräfte-dreieck für Punkt  $F$  wird  $bgf$ . Darin ist  $H_2 = gf$  und  $gi = if = R_2^g \max$ .

Im Ringe III ist Maximalspannung, wenn die Zonen zu den Ringen I und II belastet sind; alsdann wirken in  $F$  die Kräfte  $S_1 = fb$ ,  $z = bc = \frac{P_2}{n}$ ,  $S_2'$  und  $H_2'$ . Man erhält leicht  $H_2' = hf$ ,  $S_2' = ch$ . In  $E$  sind dann  $S_2', S_3$  und  $H_3$  im Gleichgewicht und  $H_3 = kh$ , woraus  $R_3^g \max = kl = lh$ . Eben so wird  $R_4^g \max = on = mo$  etc.

Minimalspannung im Ringe I findet bei voller Kuppelbelastung statt; alsdann wirkt in  $F$  die Kraft  $i = \frac{P_1}{n}$ , und es wird, wenn (Fig. 334 b)  $ab = i$  ist,  $ia = H_1$ . Die Zerlegung in die beiden Ringspannungen ist dann in gleicher Weise wie oben vorzunehmen. Für Ring II findet Minimalspannung bei einer Belastung der Zonen II, III, IV statt; I ist unbelastet; mithin ist  $S_1$  alsdann gleich Null (siehe Gleichung 334). Ist  $bc = \frac{P_2}{n} = z$ , so wird  $hb = H_2$ . Eben so wird weiter für die Minimalbelastungen der einzelnen Ringe  $H_3 = kc$ ,  $H_4 = md$ ,  $H_5 = ne$ .

e) Die Construction der Spannungen in den Diagonalen ist so einfach, daß dieselbe nicht weiter gezeigt zu werden braucht.

Fig. 334.

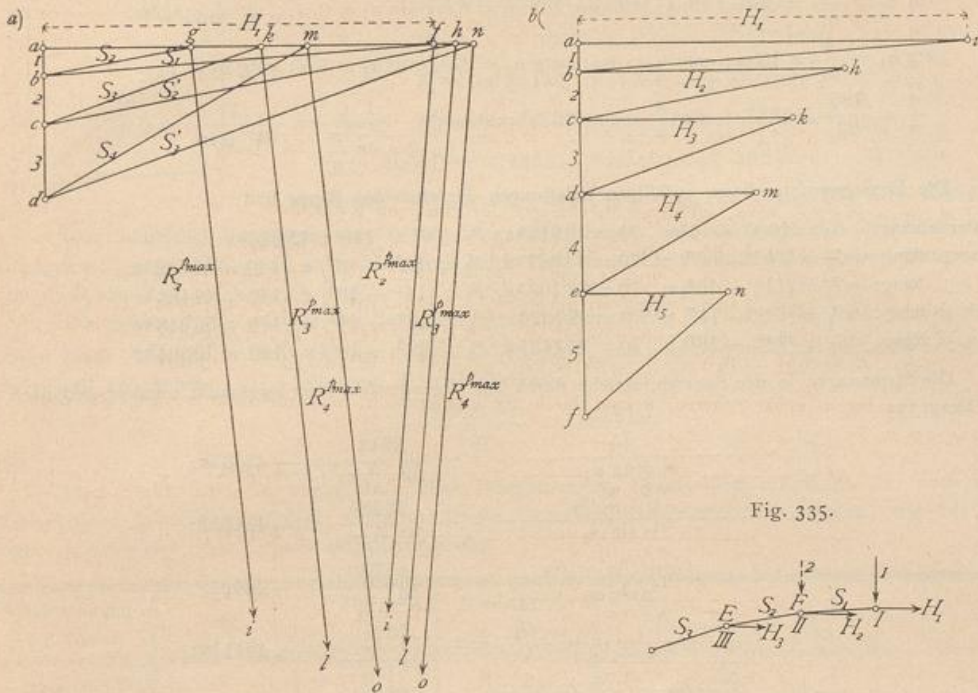
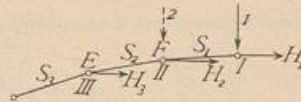


Fig. 335.



Beispiel. Ein Kuppeldach von nachfolgenden Hauptmaßen und Belastungen ist zu konstruieren: Durchmesser des zu überdachenden kreisförmigen Raumes gleich 47 m, demnach der Durchmesser des dem Mauerring umschriebenen Parallelkreises  $2L = 48\text{ m}$ ; Scheitelhöhe der Kuppel  $h = 8\text{ m}$ ; es sind 6 Ringe mit den Halbmessern 4, 8, 12, 16, 20 und 24 m und  $n = 32$  Sparren anzuordnen. Das Eigengewicht ist zu 70 kg für 1 qm Grundfläche anzunehmen; als mittlere Dachneigung ist  $\frac{h}{2L} = \frac{8}{48} = \frac{1}{6}$  einzuführen, und es ergibt sich hieraus nach Art. 28 (S. 21 ff.) als Belastung durch Schnee für 1 qm Grundfläche

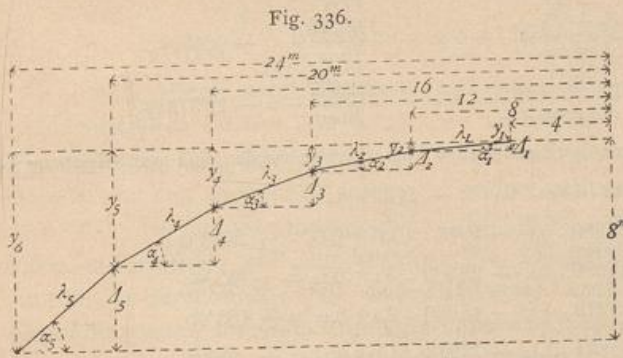
245.  
Beispiel.

75 kg, als Belastung durch Winddruck (siehe Art. 30, S. 23) für 1 qm Grundfläche  $v = 64\text{ kg}$ , so dass die gefamnte zufällige Belastung für 1 qm Grundfläche abgerundet 140 kg beträgt; die Laterne wiegt 2000 kg.

Die Kuppelfläche sei durch Umdrehung einer cubischen Parabel der Gleichung

$$y = \frac{hx^3}{r^3} = \frac{8}{24^3} x^3 = 0,00038 x^3$$

entstanden. Man erhält für die verschiedenen, durch die Ringe vorgeschriebenen Eckpunkte des Vieleckes (Fig. 336):



$x =$	4	8	12	16	20	24 m
$y =$	0,04	0,30	1,00	2,38	4,64	8,0
$h - y = z =$	7,96	7,70	7,00	5,62	3,36	0

Ferner ist

$$\Delta_1 = y_2 - y_1 = 0,26\text{ m}; \Delta_2 = y_3 - y_2 = 0,7\text{ m}; \Delta_3 = y_4 - y_3 = 1,38\text{ m}; \Delta_4 = y_5 - y_4 = 2,26\text{ m}; \Delta_5 = y_6 - y_5 = 3,36\text{ m}.$$

$$\lambda_1 = \sqrt{4^2 + \Delta_1^2} = 4,01 \text{ m}; \lambda_2 = 4,06 \text{ m}; \lambda_3 = 4,23 \text{ m}; \lambda_4 = 4,59 \text{ m}; \lambda_5 = 5,22 \text{ m}.$$

$$\sin \alpha_1 = \frac{\Delta_1}{\lambda_1} = 0,0648; \sin \alpha_2 = 0,1724; \sin \alpha_3 = 0,32; \sin \alpha_4 = 0,492; \sin \alpha_5 = 0,644.$$

$$\cotg \alpha_1 = \frac{4}{\Delta_1} = 15,38; \cotg \alpha_2 = 5,7; \cotg \alpha_3 = 2,9; \cotg \alpha_4 = 1,77; \cotg \alpha_5 = 1,19.$$

$$\frac{\pi}{n} = \frac{180}{32} = 5^{\circ}37,5'; \sin \frac{\pi}{n} = \sin 5^{\circ}37,5' = 0,098; \frac{1}{2n \sin \frac{\pi}{n}} = \frac{1}{64 \cdot 0,098} = 0,16.$$

Die Eigengewichte, bzw. zufälligen Belastungen der einzelnen Ringe sind:

Laternenring:  $G_1 = 2000 + 6^2 \pi \cdot 70 = 9913 \text{ kg}, P_1 = 6^2 \pi \cdot 140 = 15826 \text{ kg};$   
 2. Ring:  $G_2 = (10^2 - 6^2) \pi \cdot 70 = 14067 \text{ kg}, P_2 = (10^2 - 6^2) \pi \cdot 140 = 28122 \text{ kg};$   
 3. Ring:  $G_3 = (14^2 - 10^2) \pi \cdot 70 = 21100 \text{ kg}, P_3 = (14^2 - 10^2) \pi \cdot 140 = 42186 \text{ kg};$   
 4. Ring:  $G_4 = (18^2 - 14^2) \pi \cdot 70 = 28133 \text{ kg}, P_4 = (18^2 - 14^2) \pi \cdot 140 = 56243 \text{ kg};$   
 5. Ring:  $G_5 = (22^2 - 18^2) \pi \cdot 70 = 35168 \text{ kg}, P_5 = (22^2 - 18^2) \pi \cdot 140 = 70304 \text{ kg}.$

Die Spannungen in den Sparren, welche durch das Eigengewicht hervorgebracht werden, sind nach Gleichung 335:

$$S_1^g = - \frac{G_1}{n \sin \alpha_1} = - \frac{9913}{32 \cdot 0,065} = - 4766 \text{ kg};$$

$$S_2^g = - \frac{G_1 + G_2}{n \sin \alpha_2} = - \frac{23980}{32 \cdot 0,1724} = - 4346 \text{ kg};$$

$$S_3^g = - \frac{G_1 + G_2 + G_3}{n \sin \alpha_3} = - \frac{45080}{32 \cdot 0,32} = - 4402 \text{ kg};$$

$$S_4^g = - \frac{G_1 + G_2 + G_3 + G_4}{n \sin \alpha_4} = - \frac{73213}{32 \cdot 0,492} = - 4651 \text{ kg};$$

$$S_5^g = - \frac{G_1 + G_2 + G_3 + G_4 + G_5}{n \sin \alpha_5} = - \frac{108381}{32 \cdot 0,644} = - 5258 \text{ kg}.$$

Die durch zufällige Belastung erzeugten Sparrenspannungen betragen:

$$S_1^p = - \frac{P_1}{n \sin \alpha_1} = - \frac{15826}{2,08} = - 7608 \text{ kg};$$

$$S_2^p = - \frac{P_1 + P_2}{n \sin \alpha_2} = - \frac{43948}{5,517} = - 7966 \text{ kg};$$

$$S_3^p = - \frac{P_1 + P_2 + P_3}{n \sin \alpha_3} = - \frac{86130}{10,24} = - 8400 \text{ kg};$$

$$S_4^p = - \frac{P_1 + P_2 + P_3 + P_4}{n \sin \alpha_4} = - \frac{142373}{15,74} = - 9045 \text{ kg};$$

$$S_5^p = - \frac{P_1 + P_2 + P_3 + P_4 + P_5}{n \sin \alpha_5} = - \frac{212677}{20,61} = - 10319 \text{ kg}.$$

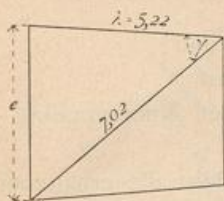
Die Ringspannungen, welche durch das Eigengewicht hervorgerufen werden, sind nach Gleichung 338:

Laternenring:  $R_1^g = - 9913 \cdot 15,38 \cdot 0,16 = - 24396 \text{ kg};$   
 2. Ring:  $R_2^g = - (23980 \cdot 5,7 - 9913 \cdot 15,38) \cdot 0,16 = + 2524 \text{ kg};$   
 3. Ring:  $R_3^g = - (45080 \cdot 2,9 - 23980 \cdot 5,7) \cdot 0,16 = + 953 \text{ kg};$   
 4. Ring:  $R_4^g = - (73213 \cdot 1,77 - 45080 \cdot 2,9) \cdot 0,16 = + 183 \text{ kg};$   
 5. Ring:  $R_5^g = - (108381 \cdot 1,19 - 73213 \cdot 1,77) \cdot 0,16 = + 98 \text{ kg};$   
 Mauerring:  $R_6^g = 108381 \cdot 1,19 \cdot 0,16 = 20636 \text{ kg}.$

Die Maximal- und Minimalspannungen in den Ringen, durch zufällige Belastung erzeugt, betragen nach Gleichung 342:

Laternenring:  $R_1^p \text{ min} = - 15826 \cdot 15,38 \cdot 0,16 = - 38932 \text{ kg}$  und  $R_1^p \text{ max} = 0;$   
 2. Ring:  $R_2^p \text{ min} = - 28122 \cdot 5,7 \cdot 0,16 = - 25647 \text{ kg},$   
 $R_2^p \text{ max} = 15826 (15,38 - 5,7) \cdot 0,16 = + 24514 \text{ kg};$

Fig. 337.



- 3. Ring:  $R_2^{f_{min}} = -42182 \cdot 2,9 \cdot 0,16 = -19572 \text{ kg}$ ,  
 $R_2^{f_{max}} = 43948 \cdot 2,8 \cdot 0,16 = +19689 \text{ kg}$ ;
- 4. Ring:  $R_3^{f_{min}} = -56243 \cdot 1,77 \cdot 0,16 = -15926 \text{ kg}$ ,  
 $R_3^{f_{max}} = 86130 \cdot 1,13 \cdot 0,16 = +15589 \text{ kg}$ ;
- 5. Ring:  $R_4^{f_{min}} = -70304 \cdot 1,19 \cdot 0,16 = -13386 \text{ kg}$ ,  
 $R_4^{f_{max}} = 142373 \cdot 0,58 \cdot 0,16 = +13212 \text{ kg}$ ;

Mauerring:  $R_5^{f_{min}} = 0$  und  $R_5^{f_{max}} = 212677 \cdot 1,19 \cdot 0,16 = +40494 \text{ kg}$ .

Was schließlich die Spannungen in den Diagonalen betrifft, so braucht nur die am stärksten beanspruchte Diagonale berechnet zu werden, weil selbst diese noch sehr schwach wird. Gewöhnlich macht man dann alle Diagonalen gleich stark.

Die größte durch zufällige Belastung erzeugte Sparrenspannung ist durch die Diagonale zu übertragen (siehe Art. 243, S. 251); dieselbe ist  $S_5^f = -10319 \text{ kg}$ , und eine Diagonale hat demnach höchstens diese Kraft aufzunehmen. Die Spannung in den Diagonalen wird daher

$$Y_5 = \frac{10319 \cdot 7,02}{5,22} = 13877 \text{ kg}$$

fein.

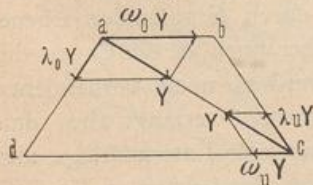
Man könnte noch für einige der oberen Diagonalen die Spannungen auffuchen, was nach dem Vorstehenden keine Schwierigkeit macht. Für die Querschnittsbestimmungen kann nun, wie bei den früheren Beispielen, eine Tabelle aufgestellt werden.

Bezeichnung des Stabes	$P_0$	$P_1$	Bezeichnung des Stabes	$P_0$	$P_1$	$P_2$
Sparren:			Ringe:			
$S_1$	-4766	-7608	$R_1$	-24396	-38932	0
$S_2$	-4346	-7966	$R_2$	+2524	+24514	-25647
$S_3$	-4402	-8400	$R_3$	+953	+19689	-19572
$S_4$	-4651	-9045	$R_4$	+183	+15589	-15926
$S_5$	-5258	-10319	$R_5$	+98	+13212	-13386
Diagonalen:			$R_6$	+20636	+40494	0
$Y$	0	13877				
	Kilogramm			Kilogramm		

### 2) Verfahren von Müller-Breslau.

In jedem durch zwei Sparren- und zwei Ringstäbe gebildeten Trapez des Kuppelflechtwerkes sei nur eine Diagonale vorhanden, welche sowohl Zug wie Druck aufnehmen kann. Handelt es sich um eine Construction mit gekreuzten Diagonalen, deren jede nur Zug aufnehmen kann, so nimmt man genau, wie in Art. 186 (S. 187) bei den Trägern mit Gegendiagonalen gezeigt ist, zunächst nur eine, die bei der betreffenden Belastung auf Zug beanspruchte, Diagonale als vorhanden an. Ergiebt sich durch die Berechnung, dass diese Diagonale Druck erhält, so tritt an ihre Stelle die Gegendiagonale, und das Ergebnis kann durch eine Verbesserungsrechnung leicht richtig gestellt werden.

Fig. 338.



Die in der Diagonale  $ac$  auftretende Spannung  $Y$  (Fig. 338) wird in der Ebene des betreffenden Feldes in jedem der beiden Knotenpunkte in zwei Seitenkräfte zerlegt, welche bezw. in die Richtung des anschließenden Ringstabes und diejenige des anschließenden Sparrenstabes fallen. Diese Seitenkräfte stehen in ganz bestimmtem,

246.  
Vor-  
bemerkungen.

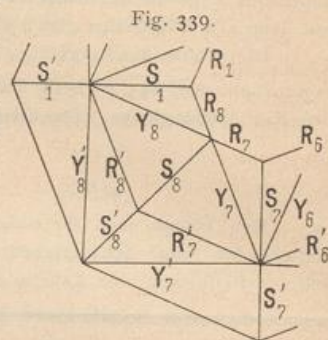
durch die Form des Trapezes vorgeschriebenem Verhältnifs zu  $Y$ . Im oberen Knotenpunkte  $a$  zerlegt sich  $Y$  in die Seitenkräfte:

- $\omega_0 Y$ , welche in die Richtung des Ringstabes  $ab$ , und
- $\lambda_0 Y$ , welche in die Richtung des Sparrenstabes  $ad$

fällt. Eben so bezeichnen wir die Seitenkräfte von  $Y$  am unteren Knotenpunkte  $c$  mit  $\omega_n Y$ , bezw.  $\lambda_n Y$ .

Verfährt man in dieser Weise mit jeder Diagonale und addirt die erhaltenen Seitenkräfte zu den in den Ring-, bezw. Sparrenstäben wirkenden Spannungen  $R_1, R_2 \dots, S_1, S_2 \dots$ , so hat man bei den Untersuchungen, zunächst wenigstens, nur mit Kräften in den Ring- und Sparrenstäben zu thun; die Diagonale sind vorläufig ausgeschaltet. Die Summenspannungen in den Sparrenstäben sollen mit  $\mathfrak{S}$ , diejenigen in den Ringstäben mit  $\mathfrak{R}$  bezeichnet werden, wobei die Zeiger die gleichen sind, wie bei den mit lateinischen Buchstaben bezeichneten Spannungen. Demnach ist (Fig. 339)

$$\left. \begin{aligned} \mathfrak{S}_8 &= S_8 + \lambda_0 Y_8 + \lambda_0 Y_7 \\ \mathfrak{S}'_8 &= S'_8 + \lambda'_n Y'_8 + \lambda'_n Y'_7 \\ \mathfrak{R}_8 &= R_8 + \omega_0 Y_8 \\ \mathfrak{R}'_8 &= R'_8 + \omega_n Y_8 + \omega'_n Y'_8 \end{aligned} \right\} \dots 345.$$



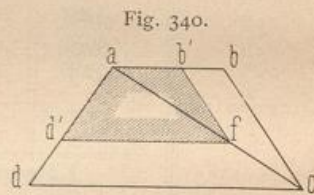
Die Werthe von  $\omega$  und  $\lambda$  kann man leicht durch Rechnung oder Zeichnung finden; graphisch, indem man das Trapezfeld in wahrer Gröfse aufzeichnet, auf der Diagonale eine beliebige Länge für  $Y$  abträgt (etwa  $\overline{af}$  in Fig. 340) und das dem Felde ähnliche Trapez  $ad'fb'$  mit  $\overline{af}$  als Diagonale konstruirt; alsdann sind seine Seiten:

$$ab' = \omega_n Y, \quad fd' = \omega_0 Y, \quad d'a = \lambda_0 Y$$

und

$$b'f = \lambda_n Y,$$

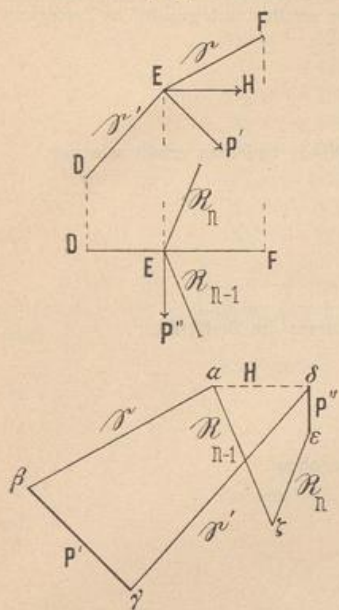
$\omega$  und  $\lambda$  haben in den Feldern der verschiedenen Zonen und allgemein auch in den Feldern derselben Zone verschiedene Werthe; diesem Umfande ist in Gleichung 345 durch die Zeiger Rechnung getragen.



247.  
Ermittelung  
der Stab-  
spannungen.

Im Knotenpunkte  $E$  (Fig. 341) wirke eine äußere Kraft  $P$  in beliebiger Richtung. Man zerlegt  $P$  in eine Seitenkraft, welche in die lothrechte Ebene des betrachteten Sparrenzuges  $DEF \dots$  fällt, die Kraft  $P'$  und in eine zu dieser Ebene senkrechte Seitenkraft  $P''$  (in Fig. 341 im Grundrifs angegeben). Fig. 341 zeigt den Sparrenzug  $DEF$  im Grundrifs und Aufrifs. Die Aufrifsebene ist durch  $DEF$  gelegt. Auch weiterhin, insbesondere bei der Berechnung des Beispiels in Art. 248, soll jeder Sparrenzug vor der graphischen Zerlegung der Kräfte in die Zeichenebene gedreht werden, wodurch sich die Arbeit wesentlich vereinfacht. Im Punkte  $E$  halten einander nunmehr die Kräfte  $\mathfrak{S}$ ,  $\mathfrak{S}'$ ,  $P'$  und  $H$  im Gleichgewicht;  $H$  ist die Mittelkraft der im Punkte  $E$  wirkenden Ringstabspannungen  $\mathfrak{R}_n$  und  $\mathfrak{R}_{n-1}$  und der Seitenkraft  $P''$ ; diese drei Kräfte wirken in einer wagrechten, durch  $E$  gehenden Ebene, also auch ihre Mittelkraft  $H$ . Diese Mittelkraft  $H$  muß aber auch in die Ebene des Sparrenzuges  $DEF$  fallen; denn die sämtlichen außerdem noch vorhandenen Kräfte  $\mathfrak{S}$ ,  $\mathfrak{S}'$  und  $P'$  fallen in diese Ebene; das Gleichgewicht verlangt also, daß auch die letzte Kraft  $H$  in diese Ebene falle. Geht man nun vom Laternenringe aus, so ist für den obersten Punkt  $\mathfrak{S}$  gleich Null; mithin sind aus der bekannten Kraft  $P'$

Fig. 341.



leicht durch Zerlegung  $H$  und  $\mathfrak{S}'$  zu finden. Im Grundriss kennt man jetzt  $H$  und  $P''$ ; daher können auch hier die beiden fehlenden Kräfte ( $\mathfrak{R}_n$  und  $\mathfrak{R}_{n-1}$ ) durch Construction eines Kraftpolygons gefunden werden. Bei den weiter unten folgenden Knotenpunkten ist aber  $\mathfrak{S}$  nach Vorstehendem bereits ermittelt, und man hat wiederum für jedes Kraftpolygon nur zwei Unbekannte.

In Fig. 341 ist  $\overline{\alpha\beta} = \mathfrak{S}$  und  $\overline{\beta\gamma} = P'$  durch vorherige Construction gefunden, bzw. gegeben; die zu  $\mathfrak{S}'$  und  $H$  gezogenen Parallelen vervollständigen das Kraftpolygon. Es ist  $\gamma\delta = \mathfrak{S}'$  und  $\delta\alpha = H$ . An  $H$  ist nunmehr in  $\delta$  die Kraft  $P'' = \delta\varepsilon$  gelegt und da die Mittelkraft von  $H$  und  $P''$  gleich derjenigen von  $\mathfrak{R}_{n-1}$  und  $\mathfrak{R}_n$  ist, so geben die durch  $\alpha$  und  $\varepsilon$  gezogenen Parallelen zu  $\mathfrak{R}_{n-1}$  und  $\mathfrak{R}_n$  die Kräfte  $\mathfrak{R}_n = \varepsilon\zeta$  und  $\mathfrak{R}_{n-1} = \zeta\alpha$ . Das Kraftpolygon  $\alpha\zeta\varepsilon\delta\alpha$  gehört zum Grundriss; man kann aber beide Kraftpolygone, wie in Fig. 341 geschehen ist, vereinen, wobei man das

eine um die Linie  $\alpha\delta$  in die Ebene des anderen gedreht denkt.

Aus den Werthen  $\mathfrak{S}$ ,  $\mathfrak{R}$ ,  $\lambda$  und  $\omega$  können nun die Werthe  $S$ ,  $R$  und  $Y$  ermittelt werden, indem man zunächst für die Knotenpunkte ohne Diagonalen die Werthe

für  $S$  und  $R$  auffucht und so eine Reihe von bekannten Gröfsen erhält, durch deren Einführung in die Gleichungen 345 alle Unbekannten bestimmbar werden.

Das vorgeführte Verfahren soll an einem Beispiele gezeigt werden.

Beispiel. Die in Fig. 342 im Grundriss und Aufriss dargestellte Kuppel über achteckiger Grundfläche, bei welcher der Durchmesser des umschriebenen Kreises 20m beträgt, sei links der lothrechten Schnittebene  $AA$  nur mit dem Eigengewicht, rechts von der Ebene  $AA$  voll belastet. Die Knotenpunktlasten betragen

248.  
Beispiel.

durch Eigengewicht allein            insgesamt  
im Laternenring:  $G_1 = 500 \text{ kg}$ ,     $G_1 + P_1 = 1500 \text{ kg}$ ;  
im mittleren Ring:  $G_2 = 800 \text{ kg}$ ,     $G_2 + P_2 = 2500 \text{ kg}$ .

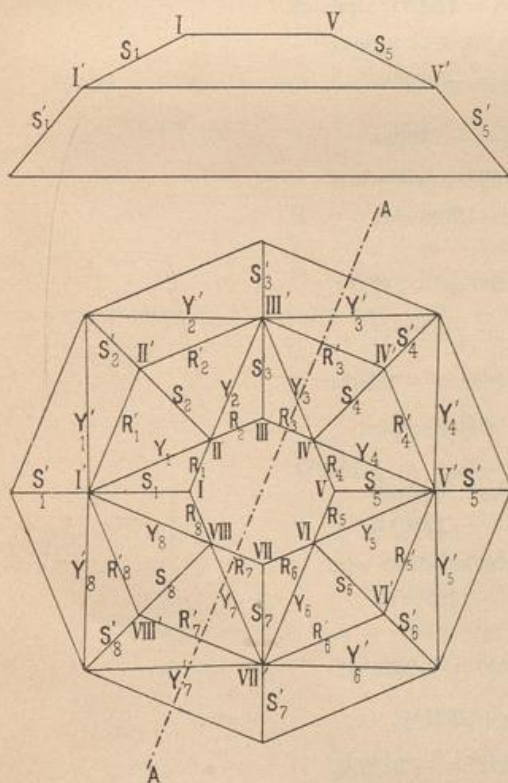
Die Lasten werden als lothrecht angenommen; die dieser Belastung entsprechenden Stabspannungen sind zu ermitteln.

Zunächst sind nach Fig. 340 die Zahlenwerthe für  $\omega_0, \lambda_n, \omega_n, \lambda_n$  der oberen Felder und  $\omega'_0, \lambda'_0, \omega'_n, \lambda'_n$  der unteren Felder ermittelt. Man erhält

$\omega_0 = 0,94,$	$\lambda_0 = 0,8,$
$\omega_n = 0,39,$	$\lambda_n = 0,8,$
$\omega'_0 = 0,96,$	$\lambda'_0 = 6,6,$
$\omega'_n = 0,67,$	$\lambda'_n = 0,6,$

Stäbe der oberen Felder. In den Knotenpunkten  $I, III, V, VII$  des Laternenringes

Fig. 342.



treffen nur je drei Stäbe zusammen; die Zerlegung wird ganz, wie in Art. 247 gezeigt ist, vorgenommen. In jedem der Knotenpunkte *I* und *III* wirkt die Last  $G = 500 \text{ kg}$ , und man erhält durch graphische Zerlegung

$$S_1 = S_3 = -1050 \text{ kg}$$

und

$$R_1 = R_8 = R_2 = R_3 = -1230 \text{ kg}.$$

In den Knotenpunkten *V* und *VII* wirkt die Belastung  $G_1 + P_1 = 1500 \text{ kg}$ , und man erhält wie vor

$$S_5 = S_7 = -3150 \text{ kg}$$

und

$$R_4 = R_5 = R_6 = R_7 = -3700 \text{ kg}.$$

Nunmehr sind die Knotenpunkte mit Diagonalen zu betrachten.

Knotenpunkt II. Es wirken: Knotenpunktlast  $G_1 = 500 \text{ kg}$ ; ferner die Stabkräfte

$$\mathfrak{S}_2 = S_2 + \lambda_0 Y_1 + \lambda_0 Y_2,$$

$$\mathfrak{R}_1 = R_1 + \omega_0 Y_1,$$

$$\mathfrak{R}_2 = R_2 + \omega_0 Y_2.$$

Die graphische Zerlegung von  $G_1$  in  $\mathfrak{S}_2$ ,  $\mathfrak{R}_1$  und  $\mathfrak{R}_2$  ergibt wie oben

$$\mathfrak{S}_2 = -1050 \text{ kg}$$

und

$$\mathfrak{R}_1 = \mathfrak{R}_2 = -1230 \text{ kg}.$$

Hieraus folgt

$$\omega_0 Y_1 = \mathfrak{R}_1 - R_1 = 0, \quad Y_1 = 0,$$

$$\omega_0 Y_2 = \mathfrak{R}_2 - R_2 = 0, \quad Y_2 = 0.$$

$$S_2 = \mathfrak{S}_2 = -1050 \text{ kg}.$$

Eben so ergibt sich durch Betrachtung des Knotenpunktes VI:

$$Y_6 = Y_5 = 0 \quad \text{und} \quad S_6 = -3150 \text{ kg}.$$

Knotenpunkt IV. Knotenpunktlast  $G_1 + P_1 = 1500 \text{ kg}$ ; demnach

$$\mathfrak{S}_4 = S_4 + \lambda_0 Y_4 + \lambda_0 Y_3 = -3150 \text{ kg},$$

$$\mathfrak{R}_3 = R_3 + \omega_0 Y_3 = -3700 \text{ kg}$$

und

$$\mathfrak{R}_4 = R_4 + \omega_0 Y_4 = -3700 \text{ kg}.$$

Oben war gefunden:  $R_3 = -1230 \text{ kg}$  und  $R_4 = -3700 \text{ kg}$ ; demnach ist

$$\omega_0 Y_4 = -3700 + 3700 = 0,$$

$$Y_4 = 0;$$

$$\omega_0 Y_3 = -3700 + 1230 = -2470 \text{ kg},$$

$$Y_3 = -\frac{2470}{0,94} = -2627 \text{ kg};$$

$$S_4 = -3150 + 0,8 \cdot 2627 = -1050 \text{ kg}.$$

Knotenpunkt VIII. Knotenpunktlast  $G_1 = 500 \text{ kg}$ ; mithin

$$\mathfrak{S}_8 = S_8 + \lambda_0 Y_8 + \lambda_0 Y_7 = -1050 \text{ kg},$$

$$\mathfrak{R}_8 = R_8 + \omega_0 Y_8 = -1230 \text{ kg},$$

$$\mathfrak{R}_7 = R_7 + \omega_0 Y_7 = -1230 \text{ kg}.$$

Oben ist gefunden:  $R_8 = -1230 \text{ kg}$  und  $R_7 = -3700 \text{ kg}$ ; daher wird

$$\omega_0 Y_8 = -1230 + 1230 = 0,$$

$$Y_8 = 0;$$

$$\omega_0 Y_7 = -1230 + 3700 = +2470 \text{ kg},$$

$$Y_7 = \frac{2470}{0,94} = +2627 \text{ kg};$$

$$S_8 = -1050 - 0,8 \cdot 2627 = -3150 \text{ kg}.$$

Demnach ist in den oberen Feldern

$$\begin{array}{lll}
 R_1 = -1230 \text{ kg}, & S_1 = -1050 \text{ kg}, & Y_1 = 0; \\
 R_2 = -1230 \text{ kg}, & S_2 = -1050 \text{ kg}, & Y_2 = 0; \\
 R_3 = -1230 \text{ kg}, & S_3 = -1050 \text{ kg}, & Y_3 = -2627 \text{ kg}; \\
 R_4 = -3700 \text{ kg}, & S_4 = -1050 \text{ kg}, & Y_4 = 0; \\
 R_5 = -3700 \text{ kg}, & S_5 = -3150 \text{ kg}, & Y_5 = 0; \\
 R_6 = -3700 \text{ kg}, & S_6 = -3150 \text{ kg}, & Y_6 = 0; \\
 R_7 = -3700 \text{ kg}, & S_7 = -3150 \text{ kg}, & Y_7 = +2627 \text{ kg}; \\
 R_8 = -1230 \text{ kg}, & S_8 = -3150 \text{ kg}, & Y_8 = 0.
 \end{array}$$

Stäbe der unteren Felder. In den Knotenpunkten  $II'$ ,  $IV'$ ,  $VI'$ ,  $VIII'$  setzen keine Diagonalen an. Die graphische Zerlegung erfolgt hier, genau wie in Art. 247 (S. 256) gezeigt ist. Man erhält

$$\text{Knotenpunkt } II': S_2 = -1050 \text{ kg}, \quad G_2 = 800 \text{ kg}$$

und

$$S_2' = -1700 \text{ kg};$$

$$R_1' = -150 \text{ kg} \quad \text{und} \quad R_2' = -150 \text{ kg}.$$

$$\text{Knotenpunkt } VIII': S_8 = -3150 \text{ kg}, \quad G_2 = 800 \text{ kg}$$

und

$$S_8' = -2800 \text{ kg};$$

$$R_7' = +1350 \text{ kg} \quad \text{und} \quad R_8' = +1350 \text{ kg}.$$

$$\text{Knotenpunkt } IV': S_4 = -1050 \text{ kg}, \quad G_2 + P_2 = 2500 \text{ kg}$$

und

$$S_4' = -3880 \text{ kg};$$

$$R_3' = -1950 \text{ kg} \quad \text{und} \quad R_4' = -1950 \text{ kg}.$$

$$\text{Knotenpunkt } VI': S_6 = -3150 \text{ kg}, \quad G_2 + P_2 = 2500 \text{ kg}$$

und

$$S_6' = -5050 \text{ kg};$$

$$R_5' = -550 \text{ kg} \quad \text{und} \quad R_6' = -550 \text{ kg}.$$

In den Knotenpunkten mit Diagonalen ergibt sich das Folgende.

$$\text{Knotenpunkt } I': S_1 = -1050 \text{ kg}, \quad Y_1 = 0, \quad Y_8 = 0$$

und

$$G_2 = 800 \text{ kg};$$

$$\mathfrak{S}_1' = S_1' + \lambda_0' Y_1' + \lambda_0' Y_8' = -1700 \text{ kg},$$

$$\mathfrak{R}_1' = R_1' + \omega_0' Y_1' = -150 \text{ kg},$$

$$\mathfrak{R}_8' = R_8' + \omega_0' Y_8' = -150 \text{ kg}.$$

Oben war gefunden:  $R_1' = -150 \text{ kg}$  und  $R_8' = +1350 \text{ kg}$ ; demnach ist

$$\omega_0' Y_1' = -150 + 150 = 0$$

und

$$Y_1' = 0;$$

$$\omega_0' Y_8' = -150 - 1350 = -1500 \text{ kg},$$

$$Y_8' = -\frac{1500}{0,96} = -1560 \text{ kg};$$

$$S_1' = -1700 + 0,96 \cdot 1560 = -760 \text{ kg};$$

daher

$$Y_1' = 0 \quad \text{und} \quad Y_8' = -1560 \text{ kg}.$$

$$\text{Knotenpunkt } V': S_5 = -3150 \text{ kg}, \quad G_2 + P_2 = 2500 \text{ kg}$$

und

$$Y_5 = Y_4 = 0;$$

$$\mathfrak{S}_5' = S_5' + \lambda_0' Y_4' + \lambda_0' Y_5' = -5050 \text{ kg},$$

$$\mathfrak{R}_4' = R_4' + \omega_0' Y_4' = -550 \text{ kg},$$

$$\mathfrak{R}_5' = R_5' + \omega_0' Y_5' = -550 \text{ kg}.$$



Oben war gefunden:  $R_5' = -550 \text{ kg}$ ; demnach  $Y_5' = 0$ ;  
 $R_4' = -1950 \text{ kg}$ ;

also

$$\begin{aligned}\omega_0' Y_4' &= -550 + 1950 = +1400 \text{ kg}, \\ Y_4' &= \frac{1400}{0,96} = +1460 \text{ kg}; \\ S_5' &= -5050 - 0,6 \cdot 1460 = -5930 \text{ kg}.\end{aligned}$$

Knotenpunkt III':  $\mathcal{E}_3 = -1050 \text{ kg} + \lambda_u Y_3 = -1050 - 0,8 \cdot 2627 = -3150 \text{ kg}$ ,  
 $G_2 = 800 \text{ kg}$ ,

fomit

$$\begin{aligned}Y_2 &= 0 \text{ und } Y_3 = -2627 \text{ kg}; \\ \mathcal{E}_3' &= S_3' + \lambda_0' Y_2' + \lambda_0' Y_3' = -2800 \text{ kg}, \\ \mathfrak{R}_2' &= R_2' + \omega_u Y_2 + \omega_0' Y_2' = +1350 \text{ kg}, \\ \mathfrak{R}_3' &= R_3' + \omega_u Y_3 + \omega_0' Y_3' = +1350 \text{ kg}.\end{aligned}$$

Es ist

$$\omega_u Y_2 = 0$$

und

$$\omega_u Y_3 = -0,39 \cdot 2627 = -1025 \text{ kg}.$$

Oben war gefunden:  $R_2' = -150 \text{ kg}$  und  $R_3' = -1950 \text{ kg}$ ; daher ist

$$\omega_0' Y_2' = 1350 + 150 = +1500 \text{ kg}$$

und

$$\begin{aligned}Y_2' &= \frac{1500}{0,96} = +1560 \text{ kg}; \\ \omega_0' Y_3' &= +1350 + 1950 + 1025 = +4325 \text{ kg}, \\ Y_3' &= \frac{4325}{0,96} = +4510 \text{ kg}; \\ S_3' + 0,6 \cdot 1560 + 0,6 \cdot 4510 &= -2800 \text{ kg}, \\ S_3' &= -6410 \text{ kg}.\end{aligned}$$

Knotenpunkt VII':  $Y_6 = 0$ ,  $Y_7 = 2627 \text{ kg}$

und

$$G_2 + P_2 = 2500 \text{ kg};$$

demnach

$$\begin{aligned}\mathcal{E}_7 &= S_7 + \lambda_u Y_6 + \lambda_u Y_7 = -3150 + 0,8 \cdot 2627 = -1050 \text{ kg}, \\ \mathcal{E}_7' &= S_7' + \lambda_0' Y_7' + \lambda_0' Y_6' = -3880 \text{ kg}, \\ \mathfrak{R}_6' &= R_6' + \omega_u Y_6 + \omega_0' Y_6' = -1950 \text{ kg}, \\ \mathfrak{R}_7' &= R_7' + \omega_u Y_7 + \omega_0' Y_7' = -1950 \text{ kg}.\end{aligned}$$

Oben ist gefunden:  $R_6' = -550 \text{ kg}$ ,  $R_7' = +1350 \text{ kg}$  und  $Y_7 = 2627 \text{ kg}$ ; also

$$Y_7 = 0,39 \cdot 2627 = 1025 \text{ kg};$$

fomit wird

$$\omega_0' Y_6' = -1950 + 550 = -1400 \text{ kg}$$

und

$$\begin{aligned}Y_6' &= -\frac{1400}{0,96} = -1460 \text{ kg}; \\ 1350 + 1025 + \omega_0' Y_7' &= -1950 \text{ kg}, \\ \omega_0 Y_7' &= -1950 - 2375 = -4325 \text{ kg}, \\ Y_7' &= -\frac{4325}{0,96} = -4510 \text{ kg}; \\ S_7' &= -3880 + 0,6 (4510 + 1460) = -300 \text{ kg}.\end{aligned}$$

Die Spannungen in den unteren Feldern sind daher:

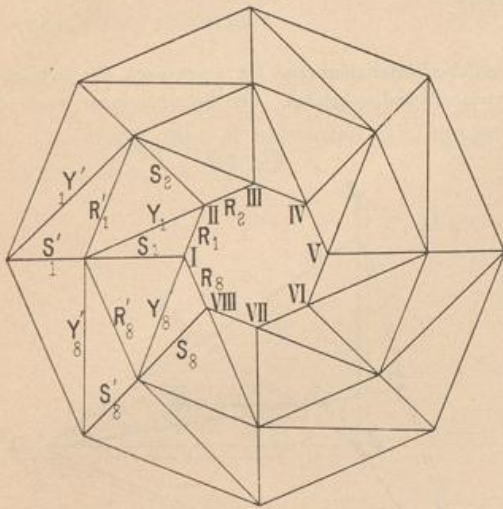
$R_1' = -150 \text{ kg}$ ,	$S_1' = -760 \text{ kg}$ ,	$Y_1' = 0$ ,
$R_2' = -150 \text{ kg}$ ,	$S_2' = -1700 \text{ kg}$ ,	$Y_2' = +1560 \text{ kg}$ ,
$R_3' = -1950 \text{ kg}$ ,	$S_3' = -6410 \text{ kg}$ ,	$Y_3' = +4510 \text{ kg}$ ,
$R_4' = -1950 \text{ kg}$ ,	$S_4' = -3880 \text{ kg}$ ,	$Y_4' = +1460 \text{ kg}$ ,
$R_5' = -550 \text{ kg}$ ,	$S_5' = -5930 \text{ kg}$ ,	$Y_5' = 0$ ,
$R_6' = -550 \text{ kg}$ ,	$S_6' = -5050 \text{ kg}$ ,	$Y_6' = -1460 \text{ kg}$ ,
$R_7' = +1350 \text{ kg}$ ,	$S_7' = -300 \text{ kg}$ ,	$Y_7' = -4510 \text{ kg}$ ,
$R_8' = +1350 \text{ kg}$ ,	$S_8' = -2800 \text{ kg}$ ,	$Y_8' = -1560 \text{ kg}$ .

Die Spannungen im Fufsring können auf den gefundenen Werthen leicht ermittelt werden. Es wird empfohlen, von den 8 Auflagern eines um das andere als festes Auflager zu construiren.

Wenn kein Knotenpunkt ohne Diagonalen vorhanden ist, wenn z. B. die Anordnung nach Fig. 343 vorliegt, so ist die Ermittlung der Diagonalen-Spannungen auf gleichem Wege leicht durchführbar.

249.  
Andere  
Anordnung  
der  
Diagonalen.

Fig. 343.



Man zerlege die Knotenlast im Knotenpunkte *I* in die Stabkräfte

$$\begin{aligned} \mathfrak{R}_8 &= R_8 + \omega_0 Y_8, \\ \mathfrak{S}_1 &= S_1 + \lambda_0 Y_8 \quad \text{und} \quad R_1; \end{aligned}$$

ferner die im Knotenpunkte *II* wirkende Belastung in die Stabkräfte

$$\begin{aligned} \mathfrak{R}_1 &= R_1 + \omega_0 Y_1, \\ \mathfrak{S}_2 &= S_2 + \lambda_0 Y_1 \quad \text{und} \quad R_2. \end{aligned}$$

Man kennt also  $\mathfrak{R}_1$  aus der Zerlegung am Knotenpunkt *II*,  $R_1$  aus der Zerlegung am Knotenpunkte *I*; mithin kann man  $Y_1$  aus der Gleichung

$$\omega_0 Y_1 = \mathfrak{R}_1 - R_1$$

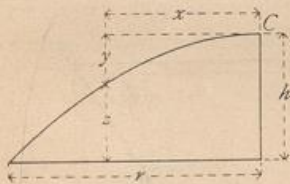
finden. In gleicher Weise ergeben sich alle Diagonalspannungen.

### 3) Erzeugende Kuppelcurve.

Die erzeugende Curve ist in den meisten Fällen eine Parabel (Fig. 344) der Gleichung  $y = \frac{hx^2}{r^2}$ , bei welcher der Anfangspunkt der Coordinaten im Scheitel *C* liegt, die halbe Spannweite gleich *r*, die Pfeilhöhe gleich *h* gesetzt ist, oder eine cubische Parabel der Gleichung  $y = \frac{hx^3}{r^3}$ .

250.  
Parabel-  
Kuppel.

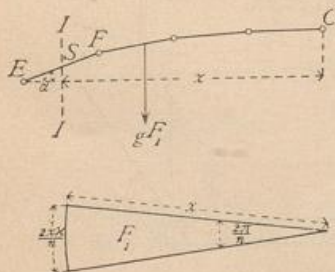
Fig. 344.



Letztere Curvenform hat den Vortheil, dass in den Zwischenringen bei gleichmäßig verteilter Belastung die Spannung Null herrscht und dass die Spannungen in den Sparren nahezu constant sind, was sich folgendermaßen ergibt.

Die Spannung im Sparrenstab *EF* (Fig. 345) ist durch Betrachtung des Theiles zwischen dem Scheitel *C* und dem durch die Sparrenmitte gelegten Schnitte *II* zu ermitteln. Die algebraische Summe der auf dieses Stück wirkenden lothrechten Kräfte ist gleich Null, daher, wenn die belastende Grundfläche mit  $F_1$  und die Belastung für 1 qm der Grundfläche mit *g* bezeichnet wird,  $S \sin \alpha = g F_1$ . Nun ist

Fig. 345.



$$F_1 = \frac{x^2 \pi}{n}, \quad \text{mithin} \quad S \sin \alpha = \frac{g x^2 \pi}{n} = S \cos \alpha \operatorname{tg} \alpha.$$

Wird statt des Vieleckes die stetig gekrümmte Curve der Berechnung zu Grunde gelegt, so ist

$$y = \frac{hx^3}{r^3} \quad \text{und} \quad \operatorname{tg} \alpha = \frac{dy}{dx} = \frac{3hx^2}{r^3};$$

mithin

$$S \cos \alpha \frac{3hx^2}{r^3} = \frac{gx^2 \pi}{n}, \quad \text{woraus} \quad S \cos \alpha = \frac{g \pi r^3}{3n h}, \quad 346.$$

d. h.  $S \cos \alpha$  ist constant. Da aber wegen der flachen Neigung der Kuppel der Winkel  $\alpha$  sehr klein ist, so ändert sich auch  $\cos \alpha$  sehr wenig; die Spannung ist daher im ganzen Sparren nahezu constant.

Betrachtet man nun einen Knotenpunkt  $E$  (Fig. 331) und setzt die algebraische Summe der in ihm wirkenden wagrechten Kräfte gleich Null, so wird

$0 = S_m \cos \alpha_m - S_{m-1} \cos \alpha_{m-1} - H_m$ , woraus  $H_m = S_m \cos \alpha_m - S_{m-1} \cos \alpha_{m-1} = 0$ , da nach Gleichung 346  $S \cos \alpha$  constant ist. Die Ringspannung ist dann

$$R = \frac{H}{2 \sin \frac{\pi}{n}} = 0 \dots \dots \dots 347.$$

Die obigen Angaben sind damit bewiesen.

Noch möge bemerkt werden, daß der theoretische Materialaufwand bei einer nach der cubischen Parabel gekrümmten Kuppel nur  $\frac{2}{3}$  desjenigen Materialaufwandes beträgt, der sich bei einer nach der gemeinen Parabel gekrümmten Kuppel ergibt.

4) Winddruck auf die Kuppel.

251.  
Winddruck  
auf die  
Kuppel.

Bei steilen Kuppeln ist es nicht angängig, nur die lothrechte Komponente  $v$  des Winddruckes (vergl. Art. 30, S. 23) zu berücksichtigen; man muß in solchen Fällen die wirklich auf die Kuppel übertragenen Windkräfte kennen.

Der Winddruck gegen eine beliebige Ebene (Tangentenebene an die Kuppel) ergibt sich folgendermaßen (Fig. 346). Durch einen Punkt  $A$  im Raume werden drei Coordinatenachsen gelegt, welche senkrecht zu einander stehen; die  $X$ -Axe sei wagrecht und parallel zu der gleichfalls wagrecht angenommenen Windrichtung gelegt. Im Punkte  $P$  der Ebene wird die Normale  $\overline{PN}$  errichtet, außerdem die Linie  $PW$  parallel zur Windrichtung gezogen. Die durch  $\overline{PN}$  und  $PW$  gelegte Ebene schneide die gegebene Ebene in der Linie  $\overline{TT}$ ; der Winkel  $WPT$  werde  $\varphi$  genannt. Alsdann ist nach Art. 29 (S. 22) der Winddruck auf die Flächeneinheit der Ebene

$$n = p \sin \varphi = p \cos \psi;$$

$n$  ist normal zur Ebene gerichtet.

Die Coordinaten eines beliebigen Punktes  $P$  der Kuppelfläche seien  $x, y, z$  (Fig. 347); die  $X$ -Axe liege parallel zur Windrichtung. Der Normalschnitt mit der Fläche, welcher im Punkte  $P$  durch die Normale  $PN$  und  $PW$  geht, habe den Krümmungshalbmesser  $\rho$  und den Krümmungsmittelpunkt  $O$  mit den Coordinaten  $a, b, c$ . Die Coordinaten des

Fig. 346.

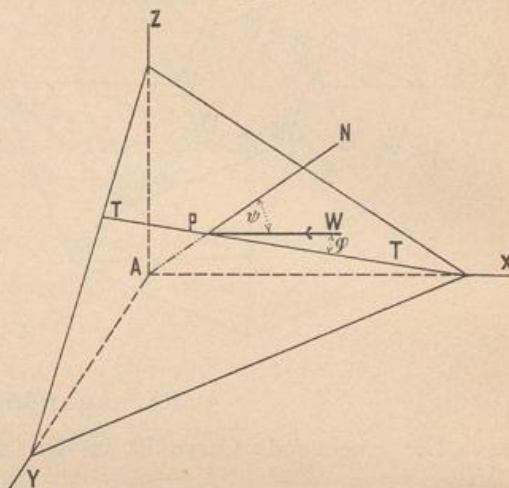
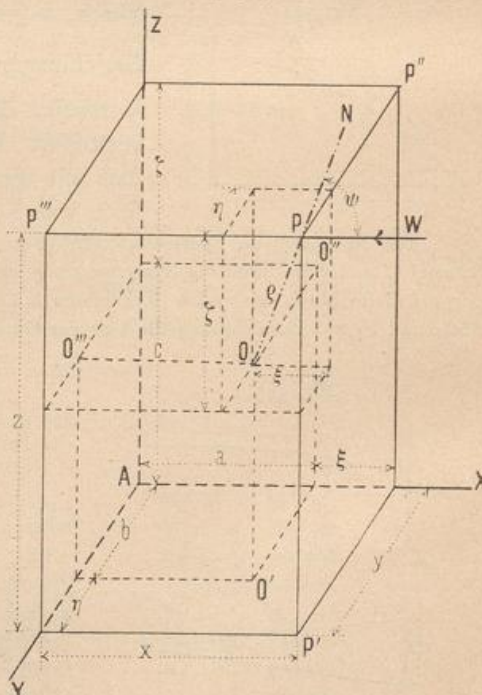


Fig. 347.



Punktes  $P$ , bezogen auf den Punkt  $O$ , seien  $\xi, \eta, \zeta$ ; endlich bilde die Normale und der Krümmungshalbmesser  $\overline{OP}$  mit den Coordinaten-Axen die Winkel bzw.  $\alpha, \beta, \gamma$ . Alsdann ist nach Fig. 347

$$\cos \alpha = \frac{\xi}{\rho}, \quad \cos \beta = \frac{\eta}{\rho}, \quad \cos \gamma = \frac{\zeta}{\rho};$$

ferner  $\psi = \alpha$ , also hier

$$n = p \cdot \cos \alpha = p \frac{\xi}{\rho}.$$

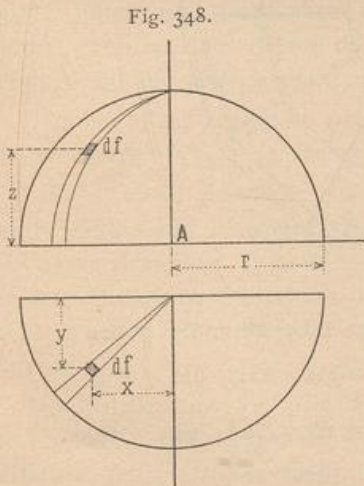
Zerlegt man  $n$  nach den Richtungen der Coordinaten-Axen, so erhält man als Seitenkräfte von  $n$

$$\left. \begin{aligned} n_x &= n \cos \alpha = p \frac{\xi^2}{\rho^2} \\ n_y &= n \cos \beta = p \frac{\xi \eta}{\rho^2} \\ n_z &= n \cos \gamma = p \frac{\xi \zeta}{\rho^2} \end{aligned} \right\} \dots \dots \dots 348.$$

und, da  $\xi = x - a, \quad \eta = y - b \quad \text{und} \quad \zeta = z - c$  ist,

$$\left. \begin{aligned} n_x &= \frac{p}{\rho^2} (x - a)^2 \\ n_y &= \frac{p}{\rho^2} (x - a)(y - b) \\ n_z &= \frac{p}{\rho^2} (x - a)(z - c) \end{aligned} \right\} \dots \dots \dots 349.$$

Die Gleichungen 348 u. 349 geben die Seitenkräfte des Winddruckes an einem beliebigen Punkte  $P$  der Kuppelfläche, bezogen auf die Flächeneinheit, ausgedrückt in den Coordinaten des Punktes  $P$  und des Krümmungsmittelpunktes des in Betracht kommenden Normalschnittes, so wie dem betreffenden Krümmungshalbmesser  $\rho$ . Durch Integration können die auftretenden Winddrücke ermittelt werden.



Um den auf einen Knotenpunkt des Kuppelfachwerkes entfallenden Winddruck zu ermitteln, genügt es, die GröÙe  $n$  desselben für die Flächeneinheit im Knotenpunkte selbst zu ermitteln und dieses  $n$  mit dem Inhalt der Kuppelfläche zu multipliciren, welche diesem Knotenpunkte zugewiesen ist. Ist die Abcisse des betreffenden Knotenpunktes  $x$ , so ist

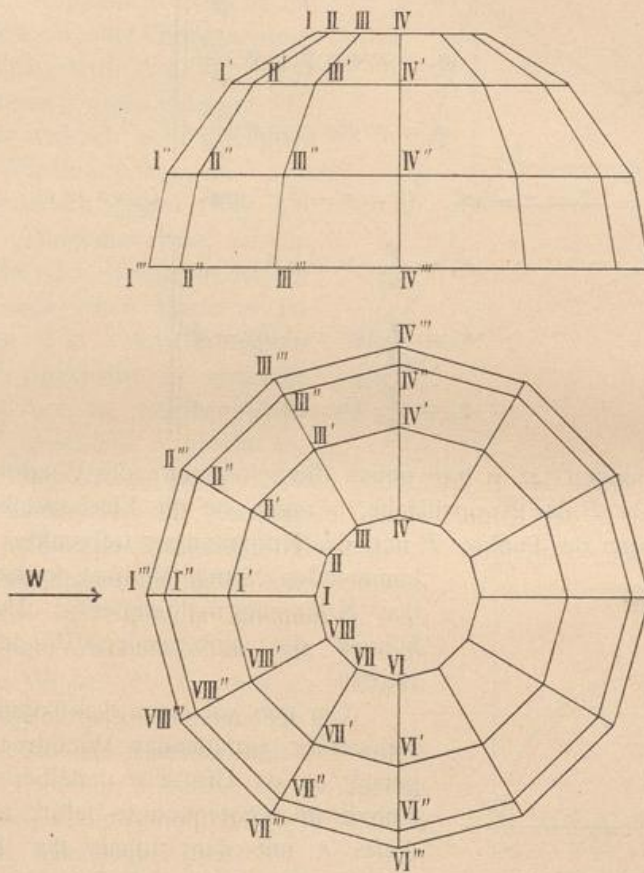
$$n = p \frac{(x - a)}{\rho}$$

Für die Kugelkuppel (Fig. 348) sind alle Normalschnitte gröÙte Kreise der Kugel; alle  $\rho$  sind gleich dem Kugelhalbmesser  $r$ . Wählt man den Mittelpunkt der Kuppel als Anfangspunkt der Coordinatenaxen, so werden  $a = b = c = 0$ , und es werden

$$\left. \begin{aligned} n &= \rho \frac{x}{r} \\ n_x &= \frac{\rho}{r^2} x^2 \\ n_y &= \frac{\rho}{r^2} (xy) \\ n_z &= \frac{\rho}{r^2} (xz) \end{aligned} \right\} \dots \dots \dots 350.$$

Beispiel. Für das in Fig. 349 dargestellte, einer Halbkugelkuppel eingeschriebene Polyeder über einem Zwölfeck sei  $r = 10$  m, der Wind komme von links. Dann sind die Werthe von  $n$  für die bezeichneten Punkte wie in nachstehender Tabelle angegeben (für  $\rho = 120$  kg für 1 qcm):

Fig. 349.



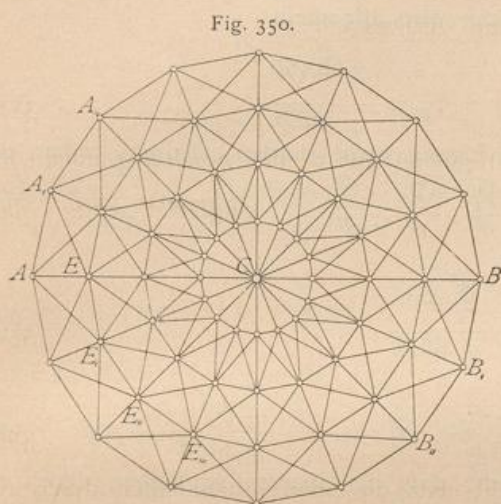
Punkt I	I'	I''	I'''	Punkt II	II'	II''	II'''
$\frac{x}{r} = 0,32$	0,71	0,94	1	$\frac{x}{r} = 0,29$	0,62	0,82	0,88
$n = \frac{\rho x}{r} = 38$	85	113	120 kg	$n = \frac{\rho x}{r} = 35$	74	98	106 kg.
	Punkt III	III'	III''	III'''			
	$\frac{x}{r} = 0,17$	0,36	0,47	0,5			
	$n = \frac{\rho x}{r} = 20$	43	56	60 kg.			

Danach kann man leicht die auf die einzelnen Knotenpunkte entfallenden, senkrecht zur Kuppeloberfläche gerichteten Winddrücke berechnen. Näher ist auf diesen Gegenstand in der unten genannten Abhandlung des Verf.<sup>37)</sup> eingegangen.

### b) Flache Zeldächer.

Die Zeldächer bilden Pyramiden, in den meisten Fällen regelmässige Pyramiden. Man kann sie aus einer Anzahl radial gestellter Binder, welche unter die sog. Grate kommen, construiren; alsdann wird die Berechnung eines jeden Binders unter Zugrundelegung der auf ihn entfallenden Belastungen so vorgenommen, wie bei den Balkendächern gezeigt ist. Neuerdings legt man auch bei den Zeldächern — zumal den flachen — alle Constructionstheile in die Dachflächen, wie bei den Schwedler'schen Kuppeln, so dass sich eine entsprechende Construction ergibt. In diesem Falle

252.  
Zeldächer.



(Fig. 350) werden eine Anzahl Binder-sparren  $AC, A_1C, A_2C, B_1C, B_2C, B_3C, \dots$  angeordnet; zwischen denselben befinden sich wagrechte Ringe  $E, E_1, E_2, E_3, \dots$  und in den viereckigen Feldern der Dachflächen, wegen der ungleichmässigen Belastungen, Diagonalen. Auch hier wird oft in der Dachmitte eine Laterne angeordnet, welche sich auf einen Laternenring stützt, gegen den sich die oberen Sparrenenden lehnen. Wir werden hier nur die der Kuppelconstruction entsprechende Anordnung betrachten. Obgleich die grössere oder geringere Neigung der Dachflächen keinen grundlegenden Unterschied bedingt, sollen die Zeldächer dennoch in flache und steile Zeldächer eingetheilt werden, weil bei den ersteren die Belastung durch Schnee, bei den letzteren diejenige durch Wind die maassgebende zufällige Belastung ist.

Zu den flachen Zeldächern gehören die Circus- und Theaterdächer, die Dächer über Panoramen, Locomotivschuppen etc., zu den steilen hauptsächlich die Thurmdächer.

Die flachen Zeldächer der vorgeschriebenen Anordnung sind weiter nichts, als Kuppeldächer mit gleichem Neigungswinkel  $\alpha$  in der ganzen Dachfläche. Man erhält also unter denselben Voraussetzungen für die Belastungen, wie in Art. 243 (S. 248) die hier geltenden Stabkräfte, indem man in die dort gefundenen Werthe statt der veränderlichen Winkelwerthe  $\alpha_{m-1}, \alpha_m, \alpha_{m+1} \dots$  den constanten Winkelwerth  $\alpha$  einsetzt.

Spannungen in den Sparren. Wiederum mögen  $G_1, G_2 \dots G_m \dots$  die Eigengewichte der ganzen Ringzonen,  $P_1, P_2 \dots P_m \dots$  die zufälligen Belastungen derselben sein; alsdann sind, falls  $n$  Sparren vorhanden sind, die Belastungen der einzelnen Knotenpunkte bezw.  $\frac{G_1}{n}, \frac{G_2}{n} \dots \frac{G_m}{n} \dots$  und  $\frac{P_1}{n}, \frac{P_2}{n} \dots \frac{P_m}{n} \dots$

253.  
Berechnung  
der Stab-  
spannungen.

<sup>37)</sup> Winddruck auf Kuppeln. Centralbl. d. Bauverw. 1898, S. 217.

Fig. 351.

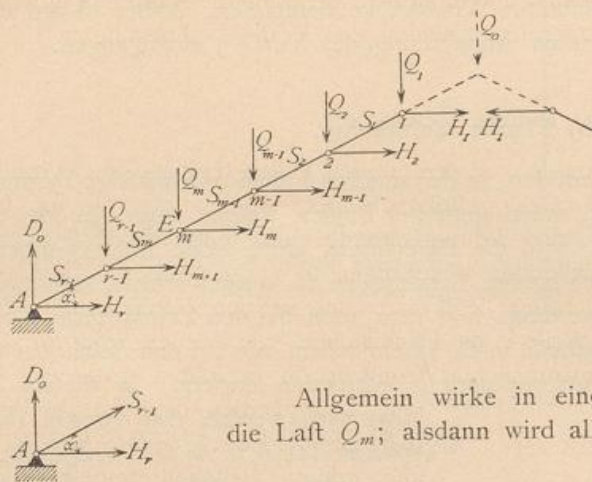
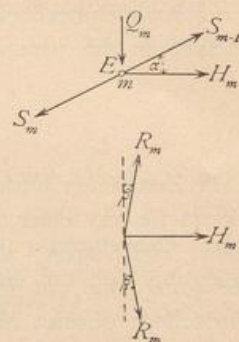


Fig. 352.



Allgemein wirke in einem Knotenpunkte  $m$  (Fig. 351) die Last  $Q_m$ ; alsdann wird allgemein

$$S_m = -\frac{\sum_1^m (Q)}{\sin \alpha} \dots \dots \dots 351.$$

Die Sparrenspannungen durch das Eigengewicht werden erhalten, indem der Reihe nach für  $Q_1, Q_2, Q_3 \dots$  bzw.  $\frac{G_1}{n}, \frac{G_2}{n}, \frac{G_3}{n} \dots$  eingesetzt wird. Man erhält

$$S_m^g = -\frac{\sum_1^m (G)}{n \sin \alpha} \dots \dots \dots 352.$$

Für  $m = 1, 2, 3 \dots$  wird

$$S_1^g = -\frac{G_1}{n \sin \alpha}; S_2^g = -\frac{G_1 + G_2}{n \sin \alpha}; S_3^g = -\frac{G_1 + G_2 + G_3}{n \sin \alpha} \text{ etc. } 353.$$

Aus der Gleichung 340 ergibt sich, daß die Sparrenspannungen durch zufällige Last am größten bei voller Belaftung sind, und zwar wird

$$S_m^p \text{ max} = -\frac{\sum_1^m (P)}{n \sin \alpha} \dots \dots \dots 354.$$

und für  $m = 1, 2, 3 \dots$

$$S_1^p \text{ max} = -\frac{P_1}{n \sin \alpha}; S_2^p \text{ max} = -\frac{P_1 + P_2}{n \sin \alpha}; S_3^p \text{ max} = -\frac{P_1 + P_2 + P_3}{n \sin \alpha} \text{ etc. } 355.$$

Falls keine Laterne vorhanden ist, gelten die Gleichungen 351 bis 354 ebenfalls; nur ist überall in die Summen auch  $Q_0$  aufzunehmen, d. h. der Theil der Firstbelaftung, welcher auf den Sparren entfällt. (Allerdings gilt dies nur für angenäherte Berechnung.)

Spannungen in den Ringen. Die algebraische Summe der in  $E$  (Fig. 352) wirkenden wagrechten Kräfte ist gleich Null; bezeichnet  $H_m$  die Mittelkraft der beiden Ringspannungen  $R_m$ , so ist daher

$$0 = H_m + S_{m-1} \cos \alpha - S_m \cos \alpha,$$

woraus folgt:

$$H_m = (S_m - S_{m-1}) \cos \alpha = -\frac{\sum_1^m (Q) - \sum_1^{m-1} (Q)}{\sin \alpha} \cos \alpha = -Q_m \cotg \alpha.$$

Nun ist  $H_m = 2 R_m \sin \beta$  und, da nach Art. 243 (S. 249)  $\beta = \frac{\pi}{n}$  ist,

$$R_m = \frac{H_m}{2 \sin \frac{\pi}{n}} = - \frac{Q_m \cotg \alpha}{2 \sin \frac{\pi}{n}} \dots \dots \dots 356.$$

Die Belastung durch das Eigengewicht erzeugt demnach eine Spannung

$$R_m^g = - \frac{G_m \cotg \alpha}{2 n \sin \frac{\pi}{n}} \dots \dots \dots 357.$$

Falls ein Laternenring vorhanden ist, so gilt die Gleichung 357 auch für diesen. Für denselben ist  $m = 1$  und  $\sum_1^{m-1} (Q) = 0$ , so wie  $\sum_1^m (Q) = Q_1$ . Wir erhalten demnach für  $m = 1, 2, 3 \dots$

$$R_1^g = - \frac{G_1 \cotg \alpha}{2 n \sin \frac{\pi}{n}}; \quad R_2^g = - \frac{G_2 \cotg \alpha}{2 n \sin \frac{\pi}{n}} \text{ etc.} \dots \dots \dots 358.$$

Die Gleichungen 357 u. 358 ergeben, dass in sämtlichen Ringen durch das Eigengewicht Druck erzeugt wird; die Gleichung 356 gilt aber nicht für den Mauerring. Am Knotenpunkt *A* (Fig. 351) wirken die Kräfte  $D_0 = \sum (Q)$ ,  $H_r$  und  $S_{r-1}$ ; mithin ist  $S_{r-1} \cos \alpha + H_r = 0$ , woraus  $H_r = - S_{r-1} \cos \alpha$ . Ferner ist

$$D_0 + S_{r-1} \sin \alpha = 0, \text{ woraus } S_{r-1} = - \frac{\sum_1^{r-1} (Q)}{\sin \alpha}. \text{ Daher wird } H_r = \sum_1^{r-1} (Q) \cotg \alpha$$

und da  $R_r = \frac{H_r}{2 \sin \frac{\pi}{n}}$  ist, wird

$$R_r = \frac{\sum_1^{r-1} (Q) \cotg \alpha}{2 \sin \frac{\pi}{n}} \dots \dots \dots 359.$$

Der Mauerring erhält also Zug.

Das Eigengewicht erzeugt in demselben die Spannung

$$R_r^g = \frac{(G_1 + G_2 + \dots + G_{r-1}) \cotg \alpha}{2 n \sin \frac{\pi}{n}} \dots \dots \dots 360.$$

Die größte durch zufällige Belastung erzeugte Spannung findet in einem Ringe nach Gleichung 356 statt, wenn  $Q_m$  seinen größten Werth hat. Da  $Q$ , aufser beim Mauerring, nie negativ wird, so ist die Ringspannung durch zufällige Belastung, abgesehen vom Mauerring, stets Druck. Demnach wird

$$R_1^{l \min} = - \frac{P_1 \cotg \alpha}{2 n \sin \frac{\pi}{n}}; \quad R_2^{l \min} = - \frac{P_2 \cotg \alpha}{2 n \sin \frac{\pi}{n}} \text{ etc.};$$

allgemein

$$R_m^{l \min} = - \frac{P_m \cotg \alpha}{2 n \sin \frac{\pi}{n}} \dots \dots \dots 361.$$



Weiters ist  $R_1^{lmax} = R_2^{lmax} = R_m^{lmax} = 0$ . Die größte Druckspannung in einem Ringe findet also schon statt, wenn nur die betreffende Zone belastet ist; die Belastung der übrigen Zonen ist auf die Ringspannung ohne Einfluss. Man kann demnach auch sagen, dass die größte Ringspannung in allen Ringen bei zufälliger Belastung des ganzen Daches stattfindet.

Im Mauerring findet der größte Zug durch zufällige Belastung bei voller Belastung statt; derselbe ist

$$R_r^{lmax} = \frac{(P_1 + P_2 \dots + P_{r-1}) \cotg \alpha}{2 n \sin \frac{\pi}{n}} \dots \dots \dots 362.$$

Druck findet in demselben nicht statt.

Spannungen in den Diagonalen. Für dieselbe Belastungsart, welche bei den Kuppeln zu Grunde gelegt ist, ergibt sich der Spannungsunterschied in zwei benachbarten Sparren, zwischen denen die Belastungsgrenze liegt, zu

$$\Delta = - \frac{\sum_1^m (P)}{n \sin \alpha}$$

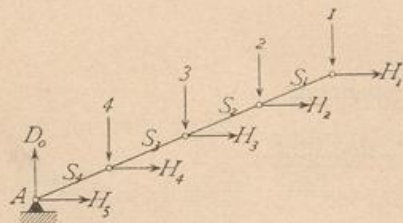
und die Spannung in der Diagonalen, welche dieselbe übertragen soll, zu

$$Y = \frac{\sum_1^m (P)}{n \sin \alpha} \cdot \frac{d}{s},$$

in welchem Ausdruck  $d$ , bzw.  $s$  die Längen der Diagonale und des Sparrens bezeichnen. Demnach wird

$$Y_1 = \frac{P_1}{n \cdot \sin \alpha} \cdot \frac{d_1}{s_1}, \quad Y_2 = \frac{P_1 + P_2}{n \cdot \sin \alpha} \cdot \frac{d_2}{s_2} \text{ etc.} \dots \dots \dots 363.$$

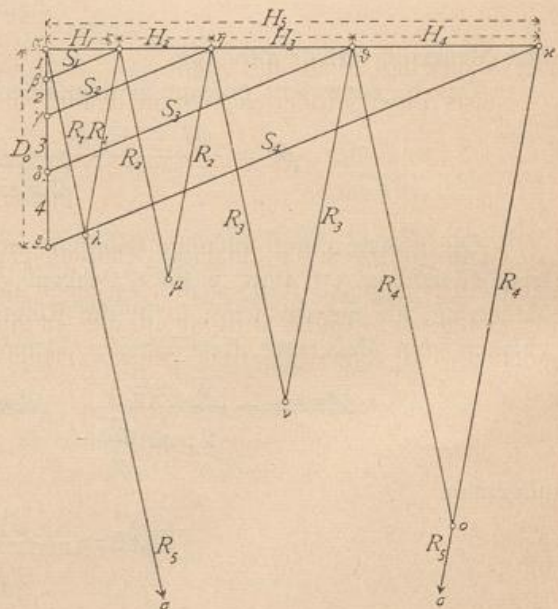
Fig. 353.



Die Berechnung kann auch nach dem Verfahren von Müller-Breslau vorgenommen werden, welches in Art. 246 bis 249 (S. 255) für die Kuppelflechtwerke vorgeführt ist.

Um die Stabspannungen mittels Zeichnung (Fig. 353 u. 354) zu ermitteln, seien die Belastungen der einzelnen Knotenpunkte 1, 2, 3, 4; alsdann ergibt sich leicht, wenn  $\alpha\beta = 1$ ,  $\beta\gamma = 2$ ,  $\gamma\delta = 3$ ,  $\delta\varepsilon = 4$  gemacht wird,  $\beta\zeta = S_1$ ,  $\zeta\alpha = H_1$ ,

Fig. 354.



254.  
Graphische  
Ermittlung  
der Stab-  
spannungen.

$\gamma \eta = S_2, \eta \zeta = H_2, \delta \theta = S_3, \theta \eta = H_3, \varepsilon \alpha = S_4, \alpha \beta = H_4$ ; ferner  $\varepsilon a = D_0, \alpha z = H_5, \zeta \lambda = \lambda a = R_1, \eta \mu = \mu \zeta = R_2, \theta \nu = \nu \eta = R_3, \alpha o = o \theta = R_4$  und  $a \sigma = \sigma z = R_5$  (= Mauerringspannung).

Je nachdem nun die Kräfte  $\lambda, \mu, \nu, \sigma$  die Eigengewichte oder die zufälligen Lasten bedeuten, erhält man die durch die eine oder andere Belastung erzeugten Spannungen. Die Spannungen in den Diagonalen sind leicht zu construiren.

c) Steile Zeldächer oder Thurmdächer.

Als lothrechte Belastung ist hier nur das Eigengewicht einzuführen. Eine Belastung durch Schnee findet nicht statt, weil wegen der großen Steilheit des Daches der Schnee nicht liegen bleibt. Diese lothrechte Belastung erzeugt, da die Construction eben so, wie bei den flachen Zeldächern, aus Sparren und Ringen zusammengesetzt wird, Spannungen, welche genau, wie dort gezeigt wurde, zu berechnen sind. Auf diese Berechnung soll deshalb hier nicht weiter eingegangen werden. Dagegen spielt der Winddruck hier eine große Rolle, und die durch diesen erzeugten Spannungen sollen berechnet werden. Zunächst soll die Berechnung für ein vierseitiges Pyramidendach, alsdann für ein achtseitiges Pyramidendach gezeigt werden.

1) Vierseitiges Pyramidendach.

Der Winddruck auf eine Pyramidenseite ist am größten, wenn die Windrichtung im Grundriss senkrecht zur betreffenden Rechteckseite steht. Alsdann ist der Winddruck für 1 qm schräger Dachfläche (Fig. 355 u. 356) nach Gleichung 7:

255.  
Belastung.

$v = 120 \sin(\alpha + 10^\circ)$ ; die vom Winde getroffene schräge Dachfläche ist

$$F = \frac{a \lambda}{2} = \frac{a h}{2 \sin \alpha},$$

mithin der Gesamtdruck gegen eine Pyramidenseite

$$N = \frac{a h v}{2 \sin \alpha} \quad 364.$$

Wir denken uns nun in der Symmetrie-Ebene *II* einen ideellen Binder *ABC* (Fig. 355) und bestimmen die darin durch den Winddruck entstehenden Spannungen; wir nehmen vorläufig die Wagrechten und Diagonalen, wie in Fig. 356 gezeichnet,

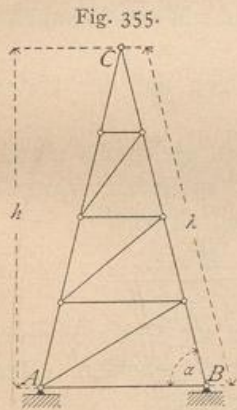
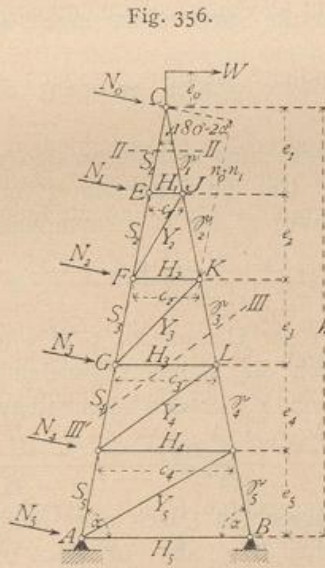
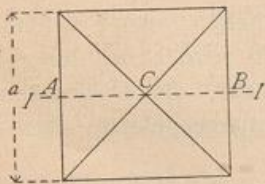


Fig. 357.



an. Auf ein oben befindliches Kreuz wirke ein Winddruck *W* in der Höhe  $e_0$  über dem Firstpunkt *C*; außerdem wirken in den Knotenpunkten *C, E, F, G*... die Kräfte  $N_0, N_1, N_2, N_3$ ... senkrecht zur Dachfläche; die Größe dieser Kräfte ist leicht aus den auf die bezüglichen Knotenpunkte entfallenden Dachflächen zu ermitteln.

256.  
Berechnung  
der  
Spannungen  
im ideellen  
Binder.

α) Berechnung der Spannungen im ideellen Binder.  
Um die Sparrenspannung  $S_1$  (Fig. 356) an der Windseite zu erhalten, lege man einen beliebigen Schnitt durch  $CE$ , etwa nach  $II II$ , und betrachte das Bruchstück oberhalb des Schnittes. Wählt man  $\mathcal{F}$  als Momentenpunkt, so heisst die Gleichung der statischen Momente (Fig. 358):

$$0 = S_1 c_1 \sin \alpha - W(e_0 + e_1) - N_0 n_0.$$

Nun ist

$$\overline{C\mathcal{F}} = \frac{e_1}{\sin \alpha} \quad \text{und} \quad \cos(180 - 2\alpha) = \frac{n_0}{C\mathcal{F}} = -\cos 2\alpha, \quad \text{daher}$$

$$n_0 = -\overline{C\mathcal{F}} \cos 2\alpha = -\frac{e_1}{\sin \alpha} (\cos^2 \alpha - \sin^2 \alpha) = \frac{e_1 (\sin^2 \alpha - \cos^2 \alpha)}{\sin \alpha}.$$

Man erhält hiernach

$$S_1 = \frac{W(e_0 + e_1)}{c_1 \sin \alpha} + \frac{N_0 e_1 (\sin^2 \alpha - \cos^2 \alpha)}{c_1 \sin^2 \alpha}.$$

Für irgend einen Sparren  $FG$  ist  $K$  der Momentenpunkt, und für  $S_3$  ergibt sich der Werth

$$S_3 = \frac{1}{c_2 \sin \alpha} \left[ W(e_0 + e_1 + e_2) + N_0(n_0 + n_1) + N_1 n_1 \right] - N_2 \cotg \alpha.$$

Für irgend einen Sparren  $KL$  auf der Unterwindseite ist  $G$  der Momentenpunkt und

$$\mathfrak{S}_3 = -\frac{1}{c_3 \sin \alpha} \left[ W(e_0 + e_1 + e_2 + e_3) + \frac{N_0(e_1 + e_2 + e_3) + N_1(e_2 + e_3) + N_2 e_3}{\sin \alpha} \right].$$

Eben so ergeben sich leicht alle Sparrenspannungen, sowohl auf der Windseite, wie auf der Unterwindseite.

Die Sparren auf der Windseite werden gezogen; diejenigen auf der Unterwindseite werden gedrückt.

Die Spannungen in den Wagrechten und Diagonalen werden gleichfalls mittels der Momentenmethode ermittelt. Um die Spannung  $H_3$  in  $GL$  zu finden, schneide man schräg nach  $III III$ ; alsdann ist  $C$  der Momentenpunkt, und es wird

$$H_3 = -\frac{N_1 e_1 + N_2(e_1 + e_2) + N_3(e_1 + e_2 + e_3)}{(e_1 + e_2 + e_3) \sin \alpha} + \frac{W e_0}{e_1 + e_2 + e_3}.$$

Die Spannung  $Y_3$  endlich in der Diagonalen  $GK$  wird, da für  $GK$  wiederum  $C$  der conjugirte Punkt ist, durch die Momentengleichung für  $C$  gefunden. Man erhält, wenn  $y_3$  der Hebelsarm von  $Y_3$  für den Momentenpunkt  $C$  ist,

$$Y_3 = \frac{1}{y_3} \frac{N_1 e_1 + N_2(e_1 + e_2)}{\sin \alpha} - \frac{W e_0}{y_3}.$$

Ob die Diagonalen und Wagrechten Druck oder Zug erhalten, hängt wesentlich von der Grösse des Moments  $W e_0$  ab. Ist  $W = 0$ , so werden bei der gezeichneten Richtung der Diagonalen die Wagrechten gedrückt, die Diagonalen gezogen. Bei der entgegengesetzten Windrichtung findet entgegengesetzte Beanspruchung statt.

257.  
Graphische  
Ermittlung  
der  
Spannungen  
im ideellen  
Binder.

β) Graphische Ermittlung der Spannungen im ideellen Binder.  
Wird zunächst von der Kraft  $W$  abgesehen, so ergibt sich ohne Schwierigkeit der in Fig. 359 gezeichnete Kräfteplan, worin alle Stabspannungen, welche durch Winddruck erzeugt werden, enthalten sind.

Fig. 358.

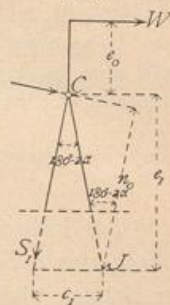


Fig. 359.

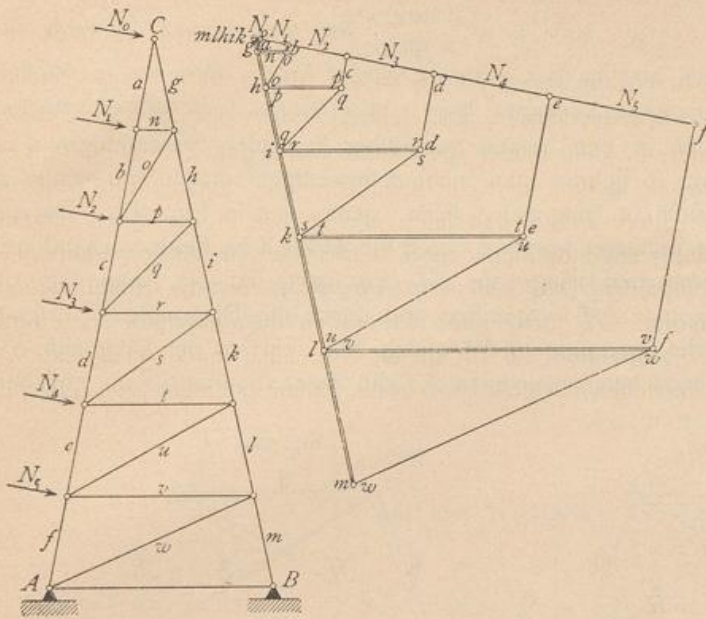
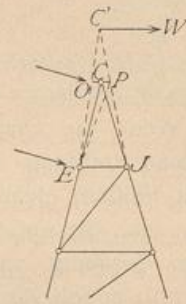


Fig. 360.



Falls noch ein Winddruck  $W$  vorhanden ist, so empfiehlt es sich, für die graphische Bestimmung der Spannungen statt der wirklich vorhandenen Stäbe  $EC$  und  $EC'$  zwei Stäbe  $EC'$  und  $EC''$  einzuführen, wobei  $C'$  der Schnittpunkt der Kraft  $W$  mit der Mittel-

Lothrechten (Fig. 360) ist; die Ermittlung kann dann für den Thurm mit der Spitze  $EOC'P$  nach der Cremona'schen Methode erfolgen. Die Spannungen in  $EC$  und  $EC'$  können mit geringem Fehler denjenigen, welche sich für  $EO$  und  $EP$  ergeben haben, gleich gesetzt werden.

γ) Zurückführung der Spannungen im ideellen Binder auf die wirklichen Stabspannungen. Die bisher berechneten Spannungen finden im ideellen Binder  $ACB$  (Fig. 361) statt. Jede Spannung in einem Stabe des ideellen

258.  
Wirkliche  
Stab-  
spannungen.

Fig. 361.

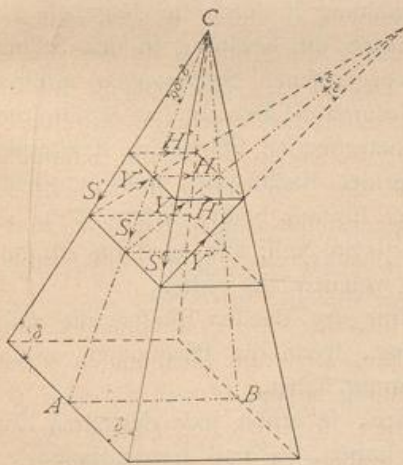
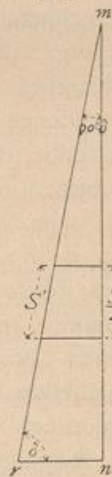


Fig. 362.



Binders wird nun durch zwei Stabspannungen der beiden wirklichen Binder geleistet, deren Ebenen mit derjenigen des ideellen Binders den Winkel  $(90 - \alpha)$  einschließen.

Die Spannung  $S$  in irgend einem Sparren des ideellen Binders wird durch zwei Spannungen  $S'$  ersetzt; demnach ist

$$S = 2 S' \cos (90 - \delta) = 2 S' \sin \delta,$$

woraus

$$S' = \frac{S}{2 \sin \delta}; \quad \dots \quad 365.$$

eben so

$$S' = \frac{S}{2 \sin \delta} \quad \dots \quad 366.$$

Ferner wird  $H = 2 H'$ , woraus

$$H' = \frac{H}{2}; \quad \dots \quad 367.$$

$$Y = 2 Y' \cos \epsilon,$$

woraus

$$Y' = \frac{Y}{2 \cos \epsilon} \quad \dots \quad 368.$$

Auch auf graphischem Wege ist die Zurückführung leicht. Man construire (Fig. 362) den Winkel  $(90 - \delta)$ , bzw.  $\varepsilon$ . Ist  $\angle r m n = 90 - \delta$ , so ist  $m r = \frac{m n}{\sin \delta}$ . Man trage demnach die Werthe für  $\frac{S}{2}$  und  $\frac{S}{2}$  auf der Linie  $m n$  ab, projicire diese Abschnitte auf  $m r$ ; alsdann erhält man in den Projectionen die gefachten wirklichen Sparrenspannungen. Eben so ist die Division durch  $\cos \varepsilon$  vorzunehmen.

Wenn die Diagonalen in den beiden gegenüber liegenden Seitenfeldern verschiedene Richtung haben, so nehme man nichtsdestoweniger zunächst an, daß in beiden Feldern gleich gerichtete Diagonalen seien, genau wie in Fig. 361. Darauf ersetze man die nur vorläufig angenommene durch die wirklich im Felde vorhandene. In der vorläufig angenommenen Diagonale  $\overline{b d}$  (Fig. 363) sei die Spannung zu  $Y'$  ermittelt; soll die Diagonale  $\overline{b d}$  fortgelassen und durch die Diagonale  $\overline{a c}$  ersetzt werden können, so muß die Spannung in  $\overline{b d}$  gleich Null sein; in der Diagonale  $\overline{a c}$  muß also eine Kraft  $Z$  herrschen, welche in  $\overline{b d}$  die Zusatzspannung von gleicher

Fig. 363.

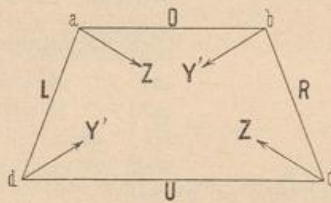
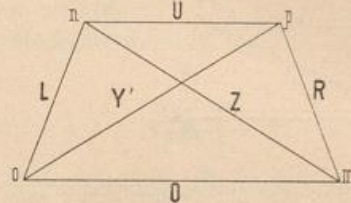


Fig. 364.



Größe  $Y'$ , aber entgegengesetztem Sinne mit der bereits in  $\overline{b d}$  herrschenden Spannung erzeugt. Bringt man in  $a$  und  $c$  je die Kraft  $Z = \overline{m n}$  an (Fig. 364), so erhält man die Größe der in den Stäben des Trapezes wirkenden Spannungen aus dem Kräfteplan. Es ist  $L = \overline{o n}$ ,  $O = \overline{m o}$ ,  $U = \overline{n p}$  und  $R = \overline{p m}$ , und wegen der Gleichheit der Diagonalen des Trapezes ist  $Z = Y'$  (absolut genommen). Ersetzt man also die Diagonale  $\overline{b d}$  mit der berechneten Spannung  $Y'$  durch die Diagonale  $\overline{a c}$ , so herrscht in letzterer der gleiche Zug. Die durch die Kräfte  $Z$  in den Stäben des Trapezes und des übrigen Fachwerkes hervorgerufenen Spannungen addiren sich zu den bereits in denselben vorhandenen und durch die Berechnung ermittelten. Diese Zusatzspannungen sind für die Stäbe des betreffenden Feldes im Kräfteplan der Fig. 364 verzeichnet, für alle übrigen Stäbe des Fachwerkes sind sie gleich Null. Denn für jeden dieser übrigen Stäbe ist der Einfluß beider Kräfte  $Z$  zu berücksichtigen. Die Resultierende beider  $Z$  ist aber gleich Null, also auch ihr Einfluß auf die Stabspannungen außerhalb des Feldes, in welchem sie wirken.

Das vorstehend angegebene Verfahren, mit Hilfe des ideellen Binders die Stabspannungen zu ermitteln, ist also auch anwendbar, wenn die Diagonalen zweier gegenüber liegender Felder entgegengesetzte Richtung haben.

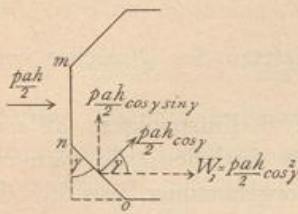
Wenn einfache Diagonalen angeordnet werden, so erhält jede derselben Zug und Druck; will man nur gezogene Diagonalen haben, so sind Gegendiagonalen anzuordnen, worüber das Erforderliche bereits mehrfach gesagt ist.

## 2) Achtseitiges Pyramidendach.

259.  
Belastung.

Wir nehmen hier die Windrichtung, der einfachen Rechnung halber, wagrecht an und berechnen aus demselben Grunde den Winddruck so, als wenn die Seitenflächen lothrecht ständen. Der dabei gemachte Fehler ist gering. Wenn die Wind-

Fig. 365.



richtung im Grundriss senkrecht zur Seite  $mn$  (Fig. 365) angenommen wird, die Seitenlänge des regelmäßigen Achteckes an der Unterkante der Pyramide mit  $a$ , die Höhe der Pyramide mit  $h$  und der Druck für die Flächeneinheit mit  $p$  bezeichnet wird, so ist der Druck gegen die Fläche  $F$  demnach

$$W = \frac{p a h}{2} \dots \dots \dots 369.$$

Der Winddruck auf die Fläche  $F_1$  (Fig. 366) ergibt sich unter obigen vereinfachenden Annahmen folgendermaßen. Die (lothrecht gedachte) Fläche schließt mit der angenommenen Windrichtung (Fig. 365) einen Winkel  $(90 - \gamma)$  ein; mithin ist der senkrechte Winddruck auf die Fläche für die Flächeneinheit nach Art. 31 (S. 24)

$$n = p \sin (90 - \gamma)$$

oder

$$n = p \cos \gamma,$$

und der Winddruck auf die ganze Fläche

$$\frac{p a h}{2} \cos \gamma.$$

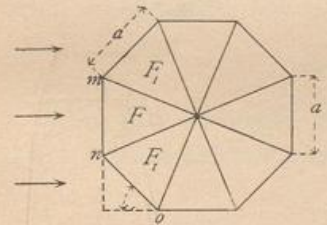
Diese Kraft zerlegt sich nun in eine Seitenkraft, welche dieselbe Richtung hat, wie  $W$ , und in eine senkrecht hierzu stehende. Die erstere ist (Fig. 365)

$$W_1 = \frac{p a h \cos^2 \gamma}{2} \dots \dots \dots 370.$$

Ein genau gleicher Winddruck wirkt (Fig. 366) auf die andere Fläche  $F_1$ ; mithin ist der gesammte auf Umkanten der Pyramide wirkende Winddruck

$$\begin{aligned} W + 2 W_1 &= \frac{p a h}{2} (1 + 2 \cos^2 45^\circ) \\ &= \frac{p a h}{2} \left(1 + \frac{2}{2}\right) = p a h. \dots \dots 371. \end{aligned}$$

Der Angriffspunkt dieser Kraft liegt in der Höhe  $\frac{h}{3}$  über der Grundfläche der Pyramide.



Für irgend einen Pyramidenteil (Fig. 367) von der Höhe  $z$  erhält man, wenn die Seite des Achteckes, welches für diesen Theil die Grundfläche bildet, mit  $x$  und die ganze Breite der Grundfläche mit  $y$  bezeichnet wird,

$$W_z = p x z \dots \dots \dots 372.$$

$W_z$  greift in der Höhe  $\frac{z}{3}$  über dieser Grundfläche an.

Nun ist  $\frac{x}{z} = \frac{a}{h}$ , also  $x = \frac{a}{h} z$  und

$$W_z = p \frac{a}{h} z^2 \dots \dots \dots 373.$$

Der Zuwachs der Kraft  $W_z$ , welcher auf einen Streifen von der Höhe  $dz$  entfällt, ist demnach  $dW_z = 2p \frac{a}{h} z dz$ , und die Windbelastung für die Höheneinheit wird



$$\frac{d W_z}{d z} = 2 p \frac{a}{h} z \dots \dots \dots 374.$$

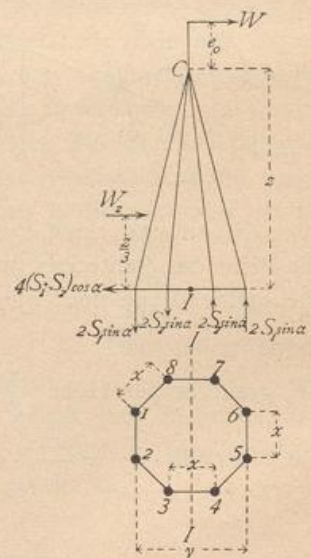
Daraus folgt, daß die Lastvertheilung nach dem Gefetze des Dreieckes von der Spitze bis zur Basis des Thurmes stattfindet.

260.  
Thurm-  
Fachwerk.

Das achteitige Pyramidendach mit 8 Sparren auf 8 Fußpunkten ist ein statisch unbestimmtes Fachwerk. Könnte man die Spitze fortlaffen, so wäre es statisch bestimmt; die Berechnung würde dann genau so vorgenommen, wie dies in Art. 246 bis 248 (S. 255 bis 257) für die Kuppel gezeigt ist. Durch das Aufbringen der Spitze mit 8 Sparren wird das Fachwerk fünffach statisch unbestimmt (es erhält 5 überzählige Unbekannte). Diese vielfache statische Unbestimmtheit kann man dadurch vermindern, daß man die Spitze nur aus 4 Sparren construiert, indem man also im obersten Theile des Thurmes nur immer einen um den anderen Sparren bis zur Spitze reichen läßt. Der oberste Theil des Thurmfachwerkes bildet dann eine vierseitige Pyramide. Die für die äußere Erscheinung erforderliche achteitige Pyramide auch in dem obersten Theile des Thurmes wird dann durch Anbringen entsprechend geformter Holzfutter auf die Ringe der vierseitigen Pyramide erreicht. Eine solche Construction ist bei den Thürmen des Domes zu Halberstadt (construiert von *Cramer*) ausgeführt und in Theil III, Band 2, Heft 4: Dachstuhl-Constructionen (Art. 234, S. 315) dieses »Handbuches« zu finden. Die in der vierseitigen Pyramide wirkenden Spannungen können dann mit genügender Genauigkeit berechnet werden, wie in Art. 255 bis 258 (S. 269 bis 271) für das vierseitige Pyramidendach gezeigt ist; diese Spannungen werden darauf als äußere, das achteitige Pyramidendach belastende Kräfte eingeführt.

Die in nachstehenden Artikeln vorgeführte Berechnungsweise der achteitigen Thurmpyramide nimmt auf die statische Unbestimmtheit keine Rücksicht. Die Sparrenberechnung ist möglich, wenn man annimmt, daß in einem wagrecht genommenen Querschnitt durch den Thurm (Fig. 367) in den einzelnen Querschnittspunkten die Spannungen auf die Flächeneinheit sich verhalten, wie die Abstände der betreffenden Querschnittspunkte von der Null-Linie des Querschnittes. Da die Querschnittsflächen aller 8 Sparren naturgemäß gleich groß gemacht werden, so kann man auch sagen: Es wird die Annahme gemacht, daß die Sparrenspannungen sich verhalten, wie die Abstände der Schwerpunkte der Sparrenquerschnitte von der Null-Linie des ganzen Thurmschnittes.

Fig. 367.



261.  
Spannungen  
in den  
Sparren.

Stabspannungen. Aufser  $W_z$  wirke auf das Thurmkreuz (Fig. 367) noch ein Winddruck  $W$  in der Höhe  $e_0$  über der Spitze; alsdann ist das Moment des Windes, bezogen auf die wagrechte, in der Grundfläche des betreffenden Thurmsstückes gelegene Schwerpunktsaxe  $II$  des Querschnittes (in der Höhe  $z$  unter der Spitze)

$$M_z = W_z \frac{z}{3} + W (e_0 + z) \dots \dots \dots 375.$$

Dieses Moment muß durch die Spannung der Sparren an der betrachteten Stelle aufgehoben werden.

Sind die Spannungen in den vier Sparren 1, 2, 5, 6, welche um  $\frac{y}{2}$  von der Axe  $II$  abstehen,  $S_1$ , diejenigen in den vier um  $\frac{x}{2}$  von der Axe  $II$  abstehenden Sparren 3, 4, 7, 8 gleich  $S_2$ , so ist, wenn mit geringem Fehler der Sparrenwinkel gegen die wagrechte Ebene gleich  $\alpha$  gesetzt wird, das Moment der Sparrenspannungen für die Axe  $II$  (die Null-Linie des Gesamtquerschnittes)  $2 S_1 y \sin \alpha + 2 S_2 x \sin \alpha$ . Demnach muß

$$M_z = 2 S_1 y \sin \alpha + 2 S_2 x \sin \alpha$$

sein. Nach Art. 260 wird angenommen, daß stattfindet:

$$\frac{S_2}{S_1} = \frac{\frac{x}{2}}{\frac{y}{2}} = \frac{x}{y}, \text{ d. h. } S_2 = S_1 \frac{x}{y};$$

daher wird

$$M_z = 2 S_1 \sin \alpha \left[ y + \frac{x^2}{y} \right] = \frac{2 S_1 \sin \alpha}{y} (x^2 + y^2)$$

sein, woraus folgt:

$$S_1 = \frac{M_z y}{2 (x^2 + y^2) \sin \alpha} \dots \dots \dots 376.$$

$$S_2 = \frac{M_z x}{2 (x^2 + y^2) \sin \alpha} \dots \dots \dots 377.$$

Für  $M_z$  sind der Reihe nach die Werthe einzuführen, welche sich bei den verschiedenen Höhen  $z$  ergeben. Diese Spannung kann in jedem Sparren sowohl als Zug, wie als Druck stattfinden, da der Wind von allen Seiten kommen kann.  $S_1$  ist stets größer als  $S_2$ . Die größte Spannung, welche durch Winddruck in allen Sparren erzeugt wird, hat also den Werth

$$S_{p \max} = \pm \frac{M_z y}{2 (x^2 + y^2) \sin \alpha} \dots \dots \dots 378.$$

Wenn die Pyramide über einem regelmäßigen Achteck errichtet ist, so ist  $y = x + 2 x \cos 45^\circ = x \cdot 2,414$ , und es wird dann

$$\left. \begin{aligned} S_{p \max} &= \pm \frac{M_z \cdot 0,177}{x \sin \alpha} \\ \text{bzw.} \\ S_{p \max} &= \pm \frac{M_z \cdot 0,427}{y \sin \alpha} \end{aligned} \right\} \dots \dots \dots 379.$$

Auf einen beliebigen Theil der vom Winde voll getroffenen Pyramidenseite  $OB'C'$  (Fig. 368a) entfalle der Winddruck  $N$ ; auf die entsprechenden Theile der angrenzenden Seitenfläche  $OA'B'$  und  $OC'D'$  entfalle je der Winddruck  $N'$ . Nach Früherem ist  $N' = N \cos 45^\circ = \frac{N}{\sqrt{2}}$ . In  $B$  wirkt dann  $\frac{N}{2}$ , bzw.  $\frac{N'}{2}$ , wie in Fig. 368b gezeichnet ist; desgleichen in  $C$ .

Die Lasten  $\frac{N}{2}$  und  $\frac{N'}{2}$  zerlegen sich in  $B$ , bzw. in  $C$  in Seitenkräfte, welche in die Ebenen  $OB'A'$ ,  $OB'C'$  und  $OC'D'$  fallen. Aus Fig. 368c ergibt sich im Punkte  $B$ , wenn  $\alpha\beta = \frac{N}{2}$  und  $\beta\delta = \frac{N'}{2}$  ist, die Größe der Seitenkräfte  $T$ , bzw.  $T'$  und  $T''$ :

262.  
Spannungen  
in den  
Ringen und  
Diagonalen.



$$T_0' = \overline{\varepsilon\beta} + \overline{\beta\gamma} = \frac{N'}{2} + \frac{N}{2 \cos 45^\circ} = \frac{N}{2\sqrt{2}} + \frac{N\sqrt{2}}{2} = \frac{N}{2\sqrt{2}} [1+2] = 1,06 N$$

$$T = \overline{\gamma\alpha} + \overline{\delta\varepsilon} = \frac{N}{2} + \frac{N'}{2 \cos 45^\circ} = \frac{N}{2} + \frac{N\sqrt{2}}{2} = N.$$

Für Punkt A erhält man:

$$T_u' = \overline{\zeta\beta} = \frac{N'}{2} = \frac{N}{2\sqrt{2}} = 0,354 N,$$

$$T'' = \overline{\delta\zeta} = \frac{N'}{2 \cos 45^\circ} = \frac{N'\sqrt{2}}{2} = \frac{N}{2}.$$

380.

In der Seitenfläche  $OB'C'$ , welche vom Winde voll getroffen wird, sind die Spannungen der Ringfläche von  $B$  und  $C$  aus je gleich  $T$ . Die Größe von  $T$  hängt von der Größe der Kraft  $N$ , d. h. von der Größe der auf den betreffenden Stab entfallenden, vom Winde getroffenen Fläche ab. Die Diagonalen in dieser Seitenfläche werden bei dieser Belastung nicht beansprucht.

In der Seitenfläche  $OA'B'$  wirkt von der Seite des Grates  $OB'$  (des Windgrates) aus die Belastung  $T_0'$ , von der Seite des Grates  $OA'$  (des Unterwindgrates) aus die negative Belastung  $T_u'$  auf das Fachwerk. Diese Belastungen müssen durch das in der Seitenfläche

Wind-  
richtung

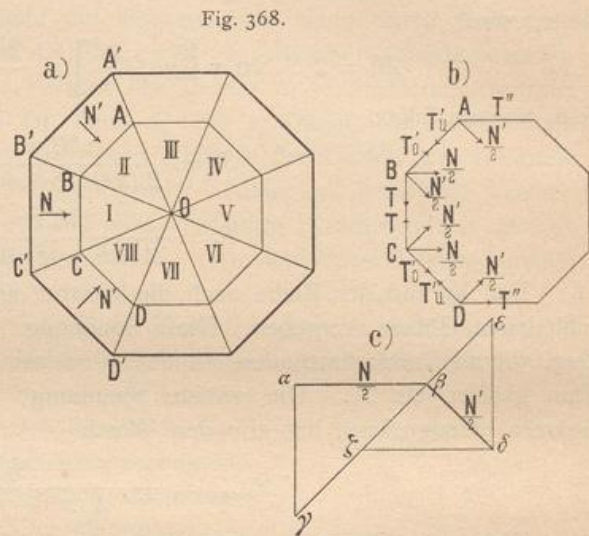


Fig. 368.

$OB'A'$  liegende Fachwerk auf die festen Auflagerpunkte  $A'B'$  gebracht werden. Das Fachwerk dieser Seitenfläche wirkt dabei wie ein Freitragter (siehe Art. 158, S. 151<sup>38)</sup>. Die Belastungen, sowohl von der Seite des Grates  $OB'$  (des Windgrates), wie des Grates  $OA'$  (des Unterwindgrates), nehmen von der Spitze nach dem Auflager entsprechend dem Gesetze des Dreieckes (linear) zu (siehe Art. 259, S. 273). Der Winddruck gegen die Fläche  $I$  von der Spitze bis zu einer Höhe  $z$  unter derselben ist mit den Bezeichnungen in Fig. 367:  $N_z = p \frac{xz}{2}$  und, da  $x = \frac{a}{h} z$  ist,

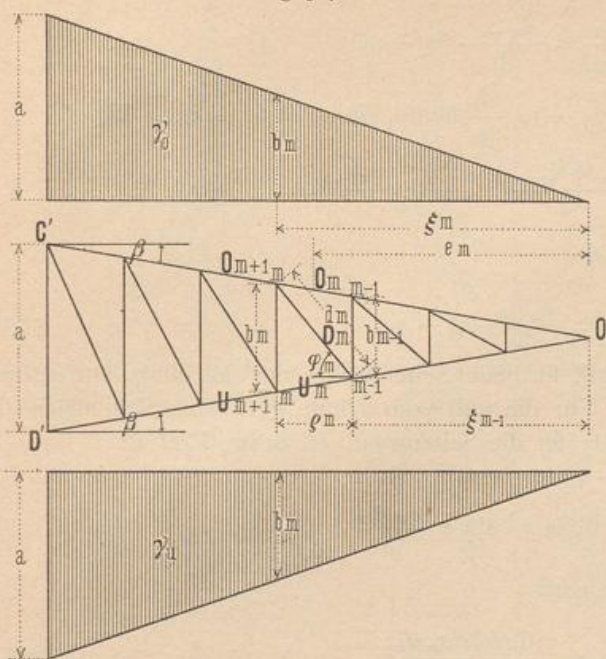
$$N_z = \frac{pa}{2h} z^2.$$

Sonach ist die positive Belastung des Fachwerkes in der Seitenfläche  $II$ , bzw.  $VIII$  auf die Höhe  $z$  unter der Spitze mit Rücksicht auf Gleichung 380

$$T_{0z}' = 1,06 \frac{pa}{2h} z^2, \dots \dots \dots 381.$$

<sup>38)</sup> Siehe bezüglich nachstehender Ableitung: MÜLLER-Breslau, H. Beitrag zur Theorie des räumlichen Fachwerks. Centralbl. d. Bauverw. 1892, S. 257. — Auch als Sonderabdruck erschienen: Berlin 1892.

Fig. 369.



die negative Belastung desselben Fachwerkes

$$T_{u_s}' = 0,354 \frac{p a}{2 h} z^2 \quad 382.$$

In Fig. 369 ist das Fachwerk der Seitenfläche VIII ( $O C' D'$ ) des leichteren Verständnisses halber mit wagrechter Axe als Freitträger gezeichnet. Die Belastungen sind nach Größe und Vertheilung darüber, bzw. darunter angegeben; dabei ist die auf die Einheit der schraffirten Flächen entfallende Belastung ( $\gamma_0$ , bzw.  $\gamma_u$ ) so gewählt, dass die Abmessungen  $b$  und  $\xi$  der Belastungsdreiecke dieselben sind, wie diejenigen des Freitragers. Die gefammte Belastung von der Seite des Windgrates folgt aus

Gleichung 381 für  $z = h$ ; sie ist  $T_{0_h}' = 1,06 \frac{p a h}{2}$ . Die Einheitsbelastung  $\gamma_0$  folgt dann aus der Bedingungsgleichung:

$$\gamma_0 \frac{a h}{2 \sin \alpha} = 1,06 \frac{p a h}{2},$$

$$\gamma_0 = 1,06 p \sin \alpha; \quad \dots \quad 383.$$

eben so ergibt sich die Einheitsbelastung der unteren Fläche zu

$$\gamma_u = 0,354 p \sin \alpha \quad \dots \quad 384.$$

Das Gleichgewicht am  $m$ -ten Knotenpunkte der oberen Gurtung bedingt:

$$D_m \cos \varphi_m = O_{m+1} \cos \beta - O_m \cos \beta.$$

Bedeutet  $M_m$ , bzw.  $M_{m-1}$  die Momente der äußeren Kräfte für die Knotenpunkte  $m$ , bzw.  $m-1$ , so ist nach Fig. 369

$$O_{m+1} \cos \beta = \frac{M_m}{b_m} \quad \text{und} \quad O_m \cos \beta = \frac{M_{m-1}}{b_{m-1}};$$

mithin

$$D_m \cos \varphi_m = \frac{M_m}{b_m} - \frac{M_{m-1}}{b_{m-1}}.$$

Bezeichnet  $d_m$  die Länge der Diagonale,  $\rho_m$  die Höhe des betreffenden Feldes in der Dachschräge gemessen, so ist  $\cos \varphi_m = \frac{\rho_m}{d_m}$ , also

$$D_m = \frac{d_m}{\rho_m} \left( \frac{M_m}{b_m} - \frac{M_{m-1}}{b_{m-1}} \right).$$

Ferner ist

$$M_m = \frac{b_m \xi_m}{2} \cdot \frac{\xi_m}{3} (\gamma_0 - \gamma_u), \quad \text{also} \quad \frac{M_m}{b_m} = \frac{\xi_m^2}{6} (\gamma_0 - \gamma_u),$$

und eben so

$$\frac{M_{m-1}}{b_{m-1}} = \frac{\xi_{m-1}^2}{6} (\gamma_0 - \gamma_u);$$

mithin  $D_m = \frac{(\xi_m^2 - \xi_{m-1}^2)}{6} (\gamma_0 - \gamma_u) \frac{d_m}{\rho_m}$  und, da  $\rho_m = \xi_m - \xi_{m-1}$  ist,

$$D_m = \frac{(\xi_m + \xi_{m-1})}{2} \cdot \frac{(\gamma_0 - \gamma_u)}{3} d_m.$$

Mit  $e_m = \frac{\xi_m + \xi_{m-1}}{2}$  wird

$$D_m = \frac{e_m d_m}{3} (\gamma_0 - \gamma_u) \dots \dots \dots 385.$$

Vorstehende Entwicklung gilt für jede Seitenfläche; nur sind für  $\gamma_0$  und  $\gamma_u$  die bezüglichen Werthe einzusetzen. Für die voll vom Winde getroffene Seitenfläche I ist  $\gamma_0 - \gamma_u = \text{Null}$ , also alle  $D = 0$ ; für die Seitenwand II, bzw. VIII ist

$$(\gamma_0 - \gamma_u) = 0,706 p \cdot \sin \alpha;$$

also

$$D_m = 0,706 p \cdot \sin \alpha \cdot \frac{e_m d_m}{3}.$$

Setzt man  $e_m = \frac{z_m}{\sin \alpha}$ , so wird

$$D_m = \frac{0,706 p z_m d_m}{3} \dots \dots \dots 386.$$

Ringspannungen. Um die Ringspannungen (d. h. die Spannungen der Pfosten im Freitragler der Fig. 369) zu bestimmen, ermittelt man zweckmäÙig getrennt die Beiträge, welche durch die Belastungen  $\gamma_0$  und diejenigen, welche durch die Lasten  $\gamma_u$  erzeugt werden. Für  $\gamma_u = 0$  sei im  $m$ -ten Ringstabe die Spannung  $R_m'$ ; das Gleichgewicht am  $m$ -ten Knotenpunkte der unteren Gurtung führt zum Kraftpolygon in Fig. 370b. Es ergibt sich  $-\frac{R_m}{D_{m+1}} = \frac{b_{m+1}}{d_{m+1}}$ . Nach

Gleichung 385 ist für  $\gamma_u = 0$ :  $D_{m+1} = \frac{e_{m+1} d_{m+1}}{3} \gamma_0$ ;

also

$$R_m' = -\frac{e_{m+1} b_{m+1} \gamma_0}{3}.$$

Für  $\gamma_0 = 0$  ergibt die Betrachtung des  $m$ -ten Knotenpunktes der oberen Gurtung aus dem Kraftpolygon in Fig. 370b  $\frac{R_m''}{-D_m} = \frac{b_{m-1}}{d_m}$ . Nach Gleichung 385 ist

für  $\gamma_0 = 0$ :  $D_m = -\frac{e_m d_m \gamma_u}{3}$ ; somit

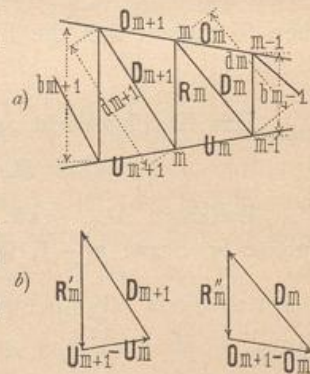
$$R_m'' = \frac{e_m b_{m-1} \gamma_u}{3}.$$

Somit wird die Ringspannung durch die gemeinsame Belastung  $\gamma_0$  und  $\gamma_u$

$$R_m = -\frac{1}{3} \left[ b_{m+1} e_{m+1} \gamma_0 - e_m b_{m-1} \gamma_u \right] \dots \dots \dots 387.$$

Da der Wind von allen Seiten kommen kann, so ist zu untersuchen, in welcher Seitenfläche die Diagonal- und Ringspannungen am größten werden können; die erhaltenen Werthe sind der Construction der Diagonalen und Ringstäbe in allen Seitenflächen zu Grunde zu legen.

Fig. 370.



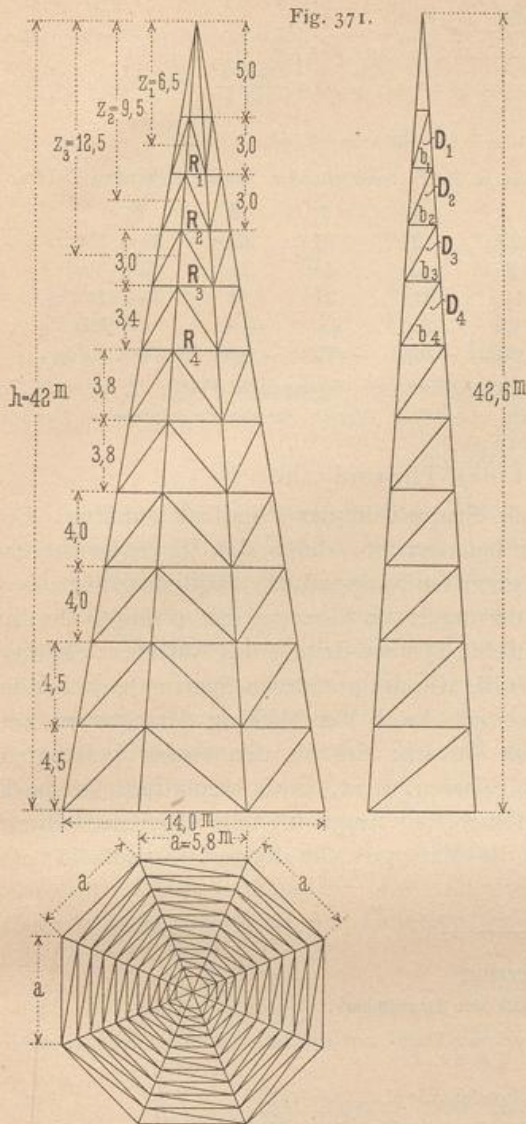


Fig. 371.

Zu den vorstehend ermittelten, durch den Wind hervorgerufenen Stabspannungen kommen noch diejenigen durch das Eigengewicht; diese sind nach Art. 253 u. 254 (S. 265) leicht zu finden.

Beispiel. Der in Fig. 371 im Grundriss und Aufriss dargestellte Thurm über einem regelmäßigen Achteck hat eine Höhe  $h = 42$  m; die Seite der achteckigen Grundfläche ist  $a = 5,8$  m. Die Spannungen der Sparren, der Ring- und Diagonalfäbe sind bei einem Winddruck  $p = 120$  kg auf das Quadr.-Meter normal getroffener Fläche zu ermitteln.

263.  
Beispiel.

a) Sparrenspannungen. Die Felder werden von der Spitze nach der Grundfläche hin mit 1, 2, 3... 9, 10 bezeichnet, die zu den einzelnen Feldern gehörigen Werthe  $z$  bis zur Mitte der Höhe des betreffenden Feldes gerechnet. Man erhält nach Gleichung 375 die GröÙe des Windmoments, welches die Sparrenspannungen erzeugt, zu

$$M_z = W_z \frac{z}{3} + W(e_0 + z).$$

Nach Gleichung 373 ist aber:

$$W_z = \frac{p a z^2}{h};$$

der Winddruck auf das Thurmkreuz wird zu  $W = 250$  kg und die Höhe desselben über der Spitze zu  $e_0 = 4,0$  m angenommen. Alsdann ist

$$M_z = \frac{p a}{h} \frac{z^3}{3} + 1000 + 250 z$$

und mit  $\frac{p a}{3 h} = \frac{120}{3} \cdot \frac{5,8}{42} = 5,52$

$$M_z = (5,52 z^3 + 250 z + 1000) \text{ kgm.}$$

Die Berechnung ergibt folgende Tabelle:

$z =$	6,5	9,5	12,5	15,7	19,3	23,1	27	31	35,25	39,75	Met.;
$M_z =$	4140	8100	14900	26300	45500	74800	116400	173200	251700	357620	Kilogr.-Met.;
$x =$	0,90	1,31	1,73	2,17	2,7	3,19	3,73	4,28	4,86	5,5	Met.;
$S =$	828	1113	1548	2178	3032	4212	5616	7284	9320	11700	Kilogr.

Diese Werthe können sämtlich sowohl Zug wie Druck bedeuten.

β) Diagonalen. Größte Beanspruchung der Diagonalen findet in den Seitenflächen II und VIII (Fig. 368) statt. Nach Gleichung 386 ist

$$D_m = \frac{0,706 p}{3} z_m d_m = \frac{0,706 \cdot 120}{3} z_m d_m,$$

fomit

$$D_m = \infty 28 z_m d_m.$$

Das Verzeichnen der Seitenfläche ergab folgende Werthe für  $d_m$ , woraus dann die ebenfalls in der Tabelle verzeichneten Werthe von  $D$  sich ergaben:

$z_m =$	6,5	9,5	12,5	15,7	19,3	23,1	27	31	35,25	39,75	Met.;
$d_m =$	3,2	3,4	3,5	4,1	4,8	5,0	5,5	5,95	6,2	7,1	Met.;
$D =$	588	912	1230	1815	2610	3240	4190	5200	6170	7960	Kilogr.

Auch diese Werthe können, falls nicht Gegendiagonalen angeordnet sind, Zug und Druck bedeuten.

γ) Ringspannungen. Nach Gleichung 387 ist  $R_m = -\frac{1}{3} (b_{m+1} e_{m+1} \gamma_0 - e_m b_{m-1} \gamma_m)$ .

In der Seitenfläche VIII ist  $\gamma_0 = 1,06 p \sin \alpha$ ,  $\gamma_m = 0,354 p \sin \alpha$ ,  $e_{m+1} = \frac{z_{m+1}}{\sin \alpha}$  und  $e_m = \frac{z_m}{\sin \alpha}$ ; also

$$R_m = -\frac{p}{3} (1,06 b_{m+1} z_{m+1} - 0,354 b_{m-1} z_m).$$

Man erhält für die verschiedenen Werthe von  $m$  die in nachstehender Tabelle stehenden Zahlen:

$m =$	1	2	3	4	5	6	7	8	9
$z_{m+1} =$	9,5	12,5	15,7	19,3	23,1	27	31	35,25	39,75 Met.;
$b_{m+1} =$	1,55	1,95	2,4	3,0	3,5	4,05	4,6	5,2	5,8 Met.;
$z_m =$	6,5	9,5	12,5	15,7	19,3	23,1	27	31	35,25 Met.;
$b_{m-1} =$	0,72	1,1	1,55	1,95	2,4	3,0	3,5	4,05	4,6 Met.;
$R_m =$	-558	-888	-1327	-2026	-2780	-3666	-4723	-6036	-7484 Kilogr.

Die Ringspannungen in Fläche I sind wesentlich kleiner, als diejenigen in Fläche II, bezw. VIII; mithin sind diese, d. h. die in vorstehender Tabelle ermittelten Werthe für die Berechnung zu Grunde zu legen.

### 3) Standfestigkeit der Thurmdächer.

264.  
Verankerung.

Durch die Windbelastung werden die Sparren an der Windseite auf Zug, diejenigen an der Unterwindseite auf Druck beansprucht; durch das Eigengewicht erhalten alle Sparren Druck. Wenn der im untersten Sparrenstück mögliche grösste Zug in Folge des Winddruckes grösser ist, als der durch das Eigengewicht erzeugte Druck, so ist Gleichgewicht nur möglich, wenn auf den Sparren Seitens des Auflagers ein Zug ausgeübt wird, welcher wenigstens so gross ist, wie der grösste im Sparren herrschende Zug. Dieser Zug Seitens des Auflagers wird durch Verankerung der Sparren mit dem Thurmmauerwerk erzeugt, und das Gewicht des an den Anker gehängten Mauerwerkes, welches als Zug auf den Sparren wirkt, muss wenigstens so gross sein, wie der grösstmögliche Zug in demselben. Es empfiehlt sich, die Verankerung weiter hinabzuführen, etwa so weit, dass das Mauergewicht doppelt so gross ist, als der grösste Zug im Sparren.

### Literatur.

Bücher über »Statik der Dachstühle«.

- RITTER, A. Elementare Theorie und Berechnung eiserner Dach- und Brücken-Constructionen. Hannover 1863. — 5. Aufl. 1894.
- UNWIN, W. *Wrought-iron bridges and roofs etc.* London 1870.
- CORDIER, E. *Equilibre stable des charpentes en fer, bois et fonte.* Paris 1872.
- FABRÉ, V. *Théorie des charpentes, donnant des règles pratiques pour la construction des fermes et autres appareils en bois et en fonte.* Paris 1873.
- CARGILL, TH. *The strains upon bridge girders and roof trusses etc.* London 1873.
- SCHREVE, S. *A treatise on the strength of bridges and roofs etc.* New-York 1873.
- TETMAJER, L. Die äusseren und inneren Kräfte an statisch bestimmten Brücken- und Dachstuhl-Constructionen. Zürich 1875.
- NICOUR, CH. *Calcul d'un comble en fer du système Polonceau.* Paris 1875.
- SCHWEDLER, W. Die Construction der Kuppeldächer. 2. Aufl. Berlin 1878.
- TRÉLAT, E. *La rigidité dans les combles.* Paris 1878.
- Deutsche bautechnische Taschenbibliothek. Heft 10: Berechnung der Dachwerke. Von W. JEEP. Leipzig 1876.
- WEYRAUCH, J. J. Beispiele und Aufgaben zur Berechnung der statisch bestimmten Träger für Brücken und Dächer. Leipzig 1888.
- MÜLLER-Breslau, H. Beitrag zur Theorie des räumlichen Fachwerkes. Berlin 1892.
- FOEPL, A. Das Fachwerk im Raume. Leipzig 1892.